

UNIVERZA V LJUBLJANI
VETERINARSKA FAKULTETA

**VPLIV RAZLIČNIH SUBSTRATOV NA RAST,
HRANILNO VREDNOST IN MIKROBIOLOŠKO
SLIKO LIČINK ČRNE VOJAŠKE MUHE (*Hermetia*
illucens)**

**INFLUENCE OF DIFFERENT GROWING
SUBSTRATES ON GROWTH, NUTRIENT AND
MICROBIAL COMPOSITION OF BLACK SOLDIER
FLY LARVAE (*Hermetia illucens*)**

Zoja Verlič

Ljubljana, 2021

UNIVERZA V LJUBLJANI
VETERINARSKA FAKULTETA

UDK: 591.53:591.342:595.772:641.1:57.083:543(043.2)

**VPLIV RAZLIČNIH SUBSTRATOV NA RAST, HRANILNO
VREDNOST IN MIKROBIOLOŠKO SLIKO LIČINK ČRNE
VOJAŠKE MUHE (*Hermetia illucens*)**

**INFLUENCE OF DIFFERENT GROWING SUBSTRATES ON
GROWTH, NUTRIENT AND MICROBIAL COMPOSITION
OF BLACK SOLDIER FLY LARVAE (*Hermetia illucens*)**

Zoja Verlič

Delo je pripravljeno v skladu s Pravilnikom o podeljevanju Prešernovih nagrad študentom, pod mentorstvom izr. prof. dr. Brede Jakovac Strajn in somentorstvom doc. dr. Urške Jaminkar Ciglenečki na Inštitutu za varno hrano, krmo in okolje.

Ljubljana, 2021

IZVLEČEK

Ključne besede: Prehrana živali; krma; hranična vrednost; ličinke – kemija – mikrobiologija; rast in razvoj – fiziologija; analitična kemija; Simuliidae.

V prihodnosti bi črna vojaška (bojevniška) muha ali *Hermetia illucens* lahko pomenila nov vir beljakovin v prehrani ljudi in živali, zato smo v naši raziskavi ličinke *H. illucens* 34 dni gojili v naravnih klimatskih razmerah (temperatura zraka je bila $23,4 \pm 3,8$ °C in relativna vlažnost $82,9 \pm 11,4$ %) na treh različnih substratih: gospodinjskih odpadkih (GO), pivskih tropinah (PT) in pšeničnih otrobih (PO). Vzorce ličink in substrata smo analizirali na surove beljakovine (SB), surove maščobe (SM), vlago, pepel in surovo vlaknino, vsebnost 14 elementov in maščobnih kislin. 20. dan poskusa smo v substrate pričeli dodajati kalcij (Ca). Ličinke na PO so rastle izredno slabo in dosegle maso $0,036 \pm 0,010$ g, ličinke na GO in PT pa $0,271 \pm 0,031$ g in $0,147 \pm 0,041$ g. Vsebnost SB v ličinkah je bila od 41 % (GO) do 52,5 % (PO) v suhi snovi (SS), vsebnost SM pa je bila največja v ličinkah, gojenih na GO (36,68 %). Vsebnost Ca se je po dodatku povečala na skoraj 8 % v ličinkah, gojenih na PO in PT. Največ lavrinske kisline je bilo v ličinkah, gojenih na PT (51,94 % v SM). Vzorci so bili negativni na *Salmonella* spp., vsebovali pa so enterobakterije. *E. coli* smo pri zadnjem vzorčenju potrdili v vseh vzorcih.

ABSTRACT

Key words: Animal nutrition; animal feed; nutritive value; larva – chemistry – microbiology; growth and development – physiology; chemistry analytic; Simuliidae.

Black Soldier Fly (*Hermetia illucens*) is a promising new protein source for food and feed. In our research, we reared *H. illucens* larvae for 34 days in a natural environment (air temperature $23.4^{\circ}\text{C} \pm 3.8^{\circ}\text{C}$ and relative humidity $82.9\% \pm 11.4\%$) on three different organic substrates: kitchen waste (KW), brewers' grains (SG) and wheat bran (WB). We analyzed the substrates and larvae samples for their nutritional value, specifically crude protein, crude fats, crude ash, crude fibre, moisture content, mineral composition (14 different elements) and a fatty acid profile. Furthermore, we added calcium to the substrates on the 20th day of the experiment. Larvae reared on CF grew slowly, gaining $0.036\text{ g} \pm 0.010\text{ g}$, whereas larvae reared on SG and KW gained $0.147\text{ g} \pm 0.041\text{ g}$ and $0.271\text{ g} \pm 0.031\text{ g}$, respectively. Protein content in larvae varied between 41 (KW) and 52,5 (WB) % DM, but crude fats were highest in larvae reared on KW (36,7%). After addition, Ca content increased to 8 % in larvae reared on SG and WB. Lauric acid was highest in larvae reared on CF (51,9 % DM). All samples were negative for *Salmonella* spp. but not for *Enterobacteriaceae* and *E.coli*.

KAZALO VSEBINE

1 UVOD	13
1.1 ŽUŽELKE V PREHRANI LJUDI IN ŽIVALI	14
1.1.1 Izzivi v industrializaciji vzreje žuželk.....	16
1.2 ČRNA BOJEVNIŠKA (VOJAŠKA) MUHA (<i>HERMETIA ILLUCENS</i>) KOT NOV VIR BELJAKOVIN	18
1.2.1 Opis in življenjski cikel.....	18
1.2.2 Zgradba in gastrointestinalni trakt <i>H. illucens</i>	20
1.2.3 Hranilna vrednost <i>H. illucens</i>	23
1.2.4 Uporaba <i>H. illucens</i> pri kompostiraju	27
1.2.5 Način reje <i>H. illucens</i>	29
1.3 VARNOST UPORABE LIČINK <i>H. ILLUCENS</i>	30
1.3.1 Mikrobiološka tveganja.....	30
1.3.2 Kemijska tveganja.....	32
1.4 ZAKONODAJA.....	34
1.5 UPORABA LIČINK <i>H. ILLUCENS</i> V PREHRANI ŽIVALI	37
2 NAMEN DELA IN HIPOTEZE	40
3 MATERIALI IN METODE	41
3.1 MATERIALI.....	41
3.1.1 Substrati za gojenje ličink <i>H. illucens</i>	41
3.1.2 Ličinke <i>H. illucens</i>	41
3.2 METODE	45
3.2.1 Vzorčenje ličink in substrata	45
3.2.2 Merjenje fizikalnih parametrov ličink <i>H. illucens</i>	47
3.2.3 Kemijske analize	47
3.2.4 Mikrobiološke analize	52
3.2.5 Statistična analiza.....	54
4 REZULTATI	55
4.1 METEOROLOŠKI PODATKI MED POSKUSOM	55
4.2 REZULTATI FIZIKALNIH PARAMETROV	55
4.3 REZULTATI KEMIJSKIH ANALIZ SUBSTRATOV IN LIČINK	57
4.3.1 Hranilne snovi v substratih, določenih za gojenje <i>H. illucens</i>	57
4.3.2 Vsebnost vlage v ličinkah in substratih.....	59
4.3.3 Vsebnosti hranilnih snovi v ličinkah, gojenih na gospodinjskih odpadkih.....	59
4.3.4 Vsebnosti hranilnih snovi v ličinkah, gojenih na pivskih tropinah	63
4.3.5 Vsebnosti hranilnih snovi v ličinkah, gojenih na pšeničnih otrobih	67
4.4 RAZLIKE MED PREISKOVANIMI PARAMETRI	71

4.5	KORELACIJE MED PARAMETRI V SUBSTRATU IN LIČINKAH <i>H. ILLUCENS</i>	
		73
4.6	REZULTATI MIKROBIOLOŠKIH PREISKAV	74
4.6.1	Preiskava na <i>Salmonella</i> spp.	74
4.6.2	Ugotavljanje števila enterobakterij	74
4.6.3	Preiskava na število bakterij <i>E. coli</i>	75
5	RAZPRAVA	77
6	SKLEPI	88
7	POVZETEK	89
8	SUMMARY	94
9	ZAHVALE	98
10	LITERATURA	99
11	PRILOGE	105
11.1	REZULTATI MIKROBIOLOŠKIH ANALIZ SUBSTRATA: PŠENIČNI OTROBI	115
11.2	REZULTATI MIKROBIOLOŠKIH ANALIZ LIČINK, GOJENIH NA PŠENIČNIH OTROBIH	115
11.3	REZULTATI MIKROBIOLOŠKIH ANALIZ SUBSTRATA: GOSPODINJSKI ODPADKI	116
11.4	REZULTATI MIKROBIOLOŠKIH ANALIZ LIČINK, GOJENIH NA GOSPODINJSKIH ODPADKIH	116
11.5	REZULTATI MIKROBIOLOŠKIH ANALIZ SUBSTRATA: PIVSKE TROPINE	117
11.6	REZULTATI MIKROBIOLOŠKIH ANALIZ LIČINK, GOJENIH NA PIVSKIH TROPINAH	117

KAZALO TABEL

Tabela 1: Podatki iz literature o vsebnosti hraničnih snovi v ličinkah (v fazi prepuge) <i>H. illucens</i>	25
Tabela 2: Urnik hranjenja z dodanimi količinami substrata (g).....	44
Tabela 3: Hranilna sestava substratov v % na SS	58
Tabela 4: Prikaz statistično značilnih razlik v fizikalnih lastnostih in kemijskih analizah ličink <i>H. illucens</i> , gojenih na treh različnih substratih	72

KAZALO SLIK

Slika 1: Vpliv proizvodnje beljakovin na okolje	15
Slika 2: Poraba krme pri različnih rejnih živalih.....	15
Slika 3: Izkoristljivost žuželk in drugih rejnih živali v prehrani.....	16
Slika 4: Življenjski cikel <i>H. illucens</i>	19
Slika 5: Osnovna anatomija odrasle <i>H. illucens</i>	20
Slika 6: Delitev črevesja <i>H. illucens</i>	22
Slika 7: Metabolizem molekul v črevesju <i>H. illucens</i>	22
Slika 8: Primerjava vsebnosti beljakovin v žuželkah (moka čričkov) in drugih živalskih virih hrane	24
Slika 9: Primerjava vsebnosti beljakovin, železa in kalcija med 100 g žuželk in drugih rejnih živali (perutnina, govedo in prašiči).....	24
Slika 10: Primerjava proizvodnje toplogrednih plinov (A), porabe energije (B) in porabe prostora (C) med mokarji in ostalimi pogostimi viri beljakovin.....	27
Slika 11: Povprečna količina toplogrednih plinov, ki nastanejo pri proizvodnji 1 kg različnih virov beljakovin.....	28
Slika 12: Steklena posoda po zaključenem obdobju inkubacije	42
Slika 13: Začetna kolonija v substratu na začetku reje, v plastični posodi	42
Slika 14: Ličinke <i>H. illucens</i> po osmih dneh reje	44
Slika 15: Ličinke <i>H. illucens</i> na zadnji dan eksperimenta	45
Slika 16: Shema poskusa (PO – pšenični otrobi; GO – gospodinjski odpadki; PT – pivske tropine) s časovnico odvzema vzorcev.....	46
Slika 17: Meteorološki podatki med poskusom	55
Slika 18: Izmerjena masa ličink <i>H. illucens</i> (g) v poskusu (PO – pšenični otrobi, GO – gospodinjski odpadki, PT – pivske tropine).....	56
Slika 19: Izmerjena dolžina ličink <i>H. illucens</i> (mm) v poskusu (PO – pšenični otrobi, GO – gospodinjski odpadki, PT – pivske tropine).....	56
Slika 20: Izmerjena širina ličink <i>H. illucens</i> (mm) v poskusu (PO – pšenični otrobi, GO – gospodinjski odpadki, PT – pivske tropine).....	57
Slika 21: Vsebnost vlage v substratih in ličinkah <i>H. illucens</i> (PO – pšenični otrobi, GO – gospodinjski odpadki, PT – pivske tropine).....	59

Slika 22: Vsebnost surovih beljakovin (SB), surovih maščob (SM), surovih vlaknin (SV) in pepela v ličinkah <i>H. illucens</i> , gojenih na gospodinjskih odpadkih, (% na SS). Dodatna rdeča črta prikazuje delež pepela po dodatku Ca.....	60
Slika 23: Vsebnost makroelementov (Ca, P, Na, K in Mg) v ličinkah <i>H. illucens</i> , gojenih na gospodinjskih odpadkih, (% na SS). Zgornja rdeča črta prikazuje vrednosti po dodajanju Ca v substrat.	61
Slika 24: Vsebnost Co, Fe, Mn in Se v ličinkah, gojenih na gospodinjskih odpadkih, (% na SS)	61
Slika 25: Vsebnost As, Cd, Cu, Pb in Zn v ličinkah <i>H. illucens</i> , gojenih na gospodinjskih odpadkih, (% na SS).....	62
Slika 26: Vsebnost omega 3 in omega 6 maščobnih kislin ter lavrinske kisline v ličinkah <i>H. illucens</i> , gojenih na gospodinjskih odpadkih, (% v SM).....	63
Slika 27: Vsebnost surovih beljakovin (SB), surovih maščob (SM), surovih vlaknin (SV) in pepela v ličinkah <i>H. illucens</i> , gojenih na pivskih tropinah, (% na SS). Dodatna rdeča črta prikazuje delež pepela po dodatku Ca.....	64
Slika 28: Vsebnost makroelementov (Ca, P, Na, K in Mg) v ličinkah <i>H. illucens</i> , gojenih na pivskih tropinah, (% na SS). Zgornja rdeča črta prikazuje vrednosti pri dodajanju Ca v substrat.	65
Slika 29: Vsebnost Co, Fe, Mn in Se v ličinkah <i>H. illucens</i> , gojenih na pivskih tropinah, (% na SS)	65
Slika 30: Vsebnost As, Cd, Cu, Pb in Zn v ličinkah <i>H. illucens</i> , gojenih na pivskih tropinah, (% na SS).	66
Slika 31: Vsebnost omega 3 in omega 6 maščobnih kislin ter lavrinske kisline v ličinkah <i>H. illucens</i> , gojenih na pivskih tropinah, (% v SM).....	67
Slika 32: Vsebnost surovih beljakovin (SB), surovih maščob (SM), surovih vlaknin (SV) in pepela v ličinkah <i>H. illucens</i> , gojenih na pšeničnih otrobih, (% na SS). Dodatna rdeča črta prikazuje vsebnost pepela po dodatku Ca.	68
Slika 33: Vsebnost makroelementov (Ca, P, Na, K in Mg) v ličinkah <i>H. illucens</i> , gojenih na pšeničnih otrobih, (% na SS). Zgornja rdeča črta prikazuje vrednosti po dodajanju Ca v substrat.	69
Slika 34: Vsebnost Co, Fe, Mn in Se v ličinkah <i>H. illucens</i> , gojenih na pšeničnih otrobih, (% na SS).	69

Slika 35: Vsebnost As, Cd, Cu, Pb in Zn v ličinkah <i>H. illucens</i> , gojenih na pšeničnih otrobih, (% na SS).....	70
Slika 36: Vsebnost omega 3 in omega 6 maščobnih kislin ter lavrinske kislino v ličinkah <i>H. illucens</i> , gojenih na pšeničnih otrobih, (% v SM).....	71
Slika 37: Razlika v vsebnosti Ca v ličinkah <i>H. illucens</i> po dodatku Ca (zeleno)	73

SEZNAM PRILOG

Priloga 1: Rezultati hraniščne vrednosti ličink in substrata (Weendska analiza in analiza elementov)

Priloga 2: Izračuni korelacij

Priloga 3: Mikrobiološki rezultati

OKRAJŠAVE

Al	aluminij
As	arzen
AMP	antimikrobni peptidi
B:OH	razmerje beljakovine:ogljikovi hidrati
BPW	purferirana peptonska voda
BSF	Black soldier fly
Ca	kalcij
CaCO₃	kalcijev karbonat
CF	chicken feed
cfu	colony forming units
Cd	kadmij
Cr	krom
Cu	baker
C10:0	dekanojska kislina
C12:0	lavrinska kislina
C16:0	heksadekanojska kislina
C18:2n6c	oktadekanojska kislina
ČBM	Črna bojevniška (vojaška) muha
DM	dry matter
DNA	deoksiribonukleinska kislina
EFSA	Evropska agencija za varnost hrane; European Food Safety Authority
EU	Evropska Unija
<i>E. faecalis</i>	<i>Enterococcus faecalis</i>
<i>E. coli</i>	<i>Escherichia coli</i>
FA	konverzijski faktor
FAO	Food and Agriculture Organization
Fe	železo
FID	plamensko ionizacijski detektor
GC	plinska kromatografija
GO	gospodinjski odpadki

H. illucens	<i>Hermetia illucens</i>
HCl	klorovodikova kislina
HNO₃	dušikova kislina
Hg	živo srebro
H₂SO₄	žveplena kislina
H₂O₂	vodikov peroksid
ICP-MS	metoda indukcijsko sklopljene plazme z masno detekcijo
IPIFF	International Platform of Insects for Food and Feed
K	kalij
KOH	kalijev hidroksid
KW	kitchen waste
MALDI-TOF	Matrix-Assisted Laser Desorption Ionization Time-of-Flight
Mg	magnezij
MK	maščobna kislina
MKT_n	Muller Kaufmann tetratrationatni bujon z novobiocinom
Mn	mangan
N	dušik
Na	natrij
Ni	natrijev hidroksid
NaOH	nikelj
NMK	nasičene maščobne kisline
OH	ogljikovi hidrati
P	fosfor
PAH	policiklični aromatski ogljikovodiki
Pb	svinec
PCB	poliklorirani bifenili
PO	pšenični otrobi
PT	pivske tropine
PVC	polivinilklorid
PŽB	predelane živalske beljakovine
Rf	fakotr odzivnosti detektorja
RVS	bujon Rappaport-Vassiliadis s sojo

S	žveplo
SB	surove beljakovine
Se	selen
SG	brewer's spent grain
SM	surove maščobe
SP	surov pepel
SV	surove vlaknine
UNPD	United Nations Population Division
TBX	Tryptone Bile X-glucuronide
TSE	transmisivne spongiformne encefalopatije
VNMK	večkrat nenasičene maščobne kisline
VRBGA	vijolično rdeči žolčni agar z glukozo
WB	wheat bran
Zn	cink
ŽSP	živalski stranski proizvodi
XLD	ksiloza lizin deoksiholatni agar
°C	stopinj Celzija

1 UVOD

Po napovedih UNPD (United Nations Population Division) naj bi bilo do leta 2050 na Zemlji 9,7 milijarde prebivalcev, leta 2100 pa 11,2 milijarde (Schrögel in Wätjen, 2019). Za takšno število prebivalcev se bo morala današnja proizvodnja hrane podvojiti. Izziv, s katerim se ob tem srečujemo, je pomanjkanje prostora. Slednje sprembla tudi dejstvo, da intenziviranje današnjega načina kmetovanja ni ekološko oziroma trajnostno. Soočamo se s prevelikim ulovom rib, zato se oceani praznijo, globalno segrevanje ima že posledice na vsakdanje življenje (van Huis in sod., 2013). Pomanjkanje koruze, riža, pšenice in soje v prihodnosti je ocenjeno na približno 67 %, 42 %, 38 % in 55 %. Število podhranjenih prebivalcev se je v državah v razvoju povečalo za približno 805 milijonov, kar bi lahko povzročilo večje tveganje za izbruhe lokalnih, nacionalnih in globalnih bolezni (Liu in sod., 2017). Na svetu naj bi bila okoli 1 milijarda ljudi, ki so kronično podhranjeni, kar je dodaten razlog za spremembo načina prehranjevanja in pridelovanja hrane (van Huis in sod., 2013).

Ob podatkih o pomanjkanju hrane v prihodnosti pa ne moremo mimo dejstva, da velikih količin hrane ne uporabimo ali jih odvržemo. Že leta 2011 je Organizacija Združenih narodov za prehrano in kmetijstvo (FAO; Food and Agriculture Organization) objavila podatke, da zavrhemo na svetu približno 1,3 milijarde ton hrane. V nedavni raziskavi so ocenili, da se približno 24,8 % pridelane biomase porabi za človeško prehrano (Alexander in sod., 2017), preostalo pa za rejne živali in intenziviranje njihove prieje. Do leta 2050 naj bi potreba po virih beljakovin narasla za kar 75 %, kar pomeni, da je potrebno najti nove vire, poseči po ne živalskih beljakovinah ali še bolj intenzivirati rejo gospodarsko pomembnih živali. Ta trenutek se srečujemo še s paradoksom, da velika izbira hrane, ljudem na voljo, vodi v njihovo večjo izbirčnost in še dodatno zavračanje hrane. V prihodnosti se bo vsa ta izguba hranilnih snovi na ravni proizvodnje in potrošnikov začela odražati na zmogljivosti našega okolja, da se regenerira (Smet in sod., 2018).

Krma, ki je varna in primerne kakovosti, predstavlja prioriteto živinorejcem, proizvajalcem krme in pristojnim organom. Pri uporabi alternativnih, to je novih sestavin krme, razvoju novih izdelkov in inovativnih trendih hranjenja se vedno pojavijo pomisleki; še posebno, če govorimo o novih virih beljakovin, ki bi jih v prihodnosti pridobivali iz žuželk (Boccazzi in sod., 2017).

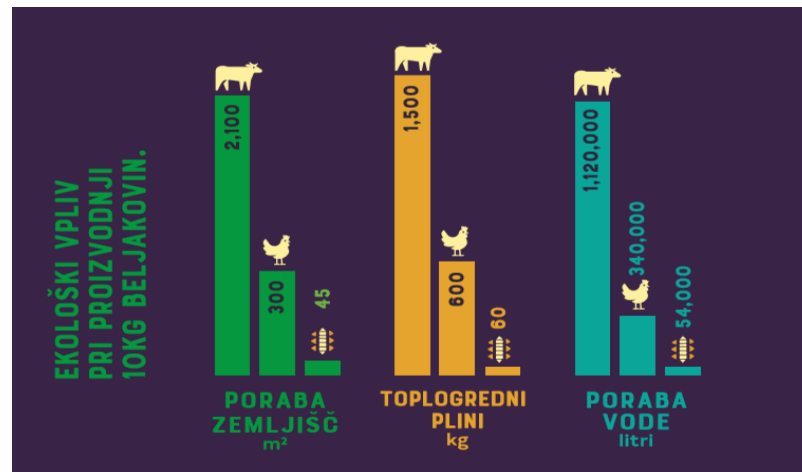
1.1 ŽUŽELKE V PREHRANI LJUDI IN ŽIVALI

Entomofagija je izraz, ki pomeni prehranjevanje z žuželkami (Wang in Shelomi, 2017). Žuželke se v prehrani ljudi uporabljajo že dolga leta, vendar jih nekatere družbe sprejemajo kot tabu. Približno dve milijardi ljudi ima žuželke v vsakodnevni prehrani, uporablja pa se najmanj 1900 različnih vrst (van Huis in sod., 2013).

Žuželke sodijo med artropode (členonožce), za katere je značilen hitinski eksoskelet, tro-delno telo (glava, toraks in abdomen), trije pari nog, sestavljene oči in dve anteni. So ene izmed najbolj raznolikih skupin živali na našem planetu. Opisanih je več kot milijon vrst, kar je tudi več kot polovica vseh opisanih živih organizmov. Najdemo jih v vseh habitatih, tudi v morjih. So hladnokrvne živali, ki se med razvojem preobrazijo (metamorfoza), kar jim poleg edinstvenega organskega sistema omogoča tudi prilaganje na različne okoljske dejavnike. Njihova reprodukcija je hitra in ne zahteva starševske oskrbe (van Huis in sod., 2013).

Ličinke žuželk so ponekod vir hrane za udomačene živali, kot so ribe in perutnina. V zahodni Keniji je pobiranje termiton iz narave za prehrano kokoši znano že dolgo časa, medtem ko v Gani marsikateri dom vzdržuje lasten termitnjak, iz katerega vsako jutro nahranijo pegatke še pred sončnim vzhodom. Tako spodbujajo njihovo naravno obnašanje pri iskanju hrane (Nyakeri in sod., 2017).

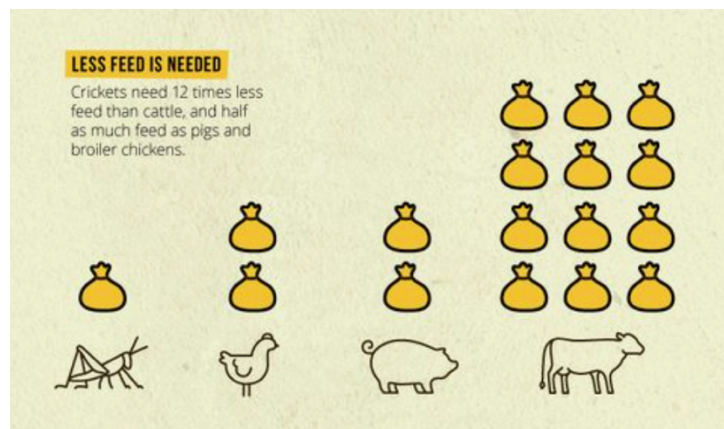
Pogosto se na žuželke gleda kot na škodljivce in uničevalce naših pridelkov, vendar je v resnici ravno obratno. Imajo pomembno ekološko vlogo; so polinatorji, sodelujejo pri reprodukciji rastlin in izboljšujejo zemljino pestrost zaradi izboljšane biološke razgradljivosti. Organsko snov odmrlih rastlin predelajo do te mere, da je izkoristljiva za glive in bakterije, ki zagotovijo zemlji nov vir hraničnih snovi. Žuželke, primerne za agro-ekosisteme, predstavljajo tudi naravne sovražnike različnim škodljivcem (van Huis in sod., 2013). Poleg tega rastejo in uspevajo brez natančnih vzrejališč in niso rezervoar patogenov (Wang in Shelomi, 2017). Večja reja ličink ni grožnja za okolje, saj potrebujemo za gojenje zelo malo prostora, zato ne uničujemo naravnega habitata drugim vrstam (Sogari in sod., 2019) (Slika 1).



Slika 1: Vpliv proizvodnje beljakovin na okolje

Vir slike: <https://www.eko-brlog.com/zuzelke-v-prehrani-psov-tabu-ali-prihodnost/>

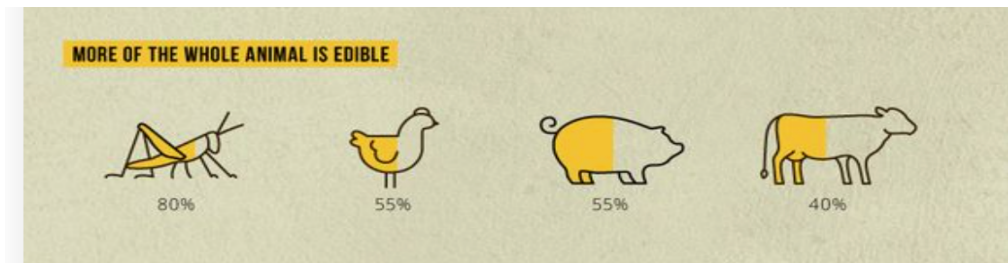
Za pridobitev enega kilograma visoko kakovostnih živalskih beljakovin (iz reje prašičev, goveda ali perutnine) je potrebnih 6 kg rastlinskih beljakovin (npr. sojine moke), medtem ko je ta konverzija za insekte precej manjsa (van Huis in sod., 2013) (Slika 2).



Slika 2: Poraba krme pri različnih rejnih živalih

Vir slike: <https://eatsens.com>

Poleg tega so žuželke izkoristljive do 80 %, medtem ko pri perutnini in prašičih uporabimo samo 55 %, pri govedu pa le 40 % živali (van Huis in sod., 2013) (Slika 3).



Slika 3: Izkoristljivost žuželk in drugih rejnih živali v prehrani

Vir slike: <https://eatsens.com>

Žuželke dajejo ljudem tudi med, svilo in druge medicinske snovi, potrebne za zdravljenje določenih bolezni. Njihova vloga je prezeta v tradicijah, kulturah, okraskih, filmih, umetnosti ter literaturi (van Huis in sod., 2013).

Večino žuželk se lahko zaužije v prvotni obliki, vendar se jih lahko tudi predela v drugačne oblike. Izvedemo lahko ekstrakcijo beljakovin, maščob, mineralov in vitaminov. Vendar so ti postopki trenutno še predragi za vsakodnevno uporabo (van Huis in sod., 2013).

1.1.1 Izzivi v industrializaciji vzreje žuželk

Z naraščanjem ozaveščanja o prihodnosti našega planeta narašča tudi pripravljenost sprejemanja novih kulinaričnih rešitev (Wang in Shelomi, 2017). Po eni strani se soočamo s predsodki o reji in okusnosti žuželk, po drugi strani pa potrošnike vseeno privablja dejstvo, da žuželke, ki dobro uspevajo na organskih odpadkih, zmanjšujejo okoljsko ogljikovo onesnaževanje in obenem povečujejo svojo hranilno vrednost (van Huis in sod., 2013). Zato je povpraševanje po žuželkah naraslo do takšne mere, da je preraslo sposobnost njihove vzreje (Wang in Shelomi, 2017). V prihodnosti bo potrebno vložiti več kapitala, saj je ugotavljanje najučinkovitejšega načina proizvodnje še vedno v razvoju, spremišča pa ga neprestan pritisk za doseganje ekonomske enakovrednosti pridelavi rastlin in mesa (van Huis in sod., 2013).

Trenutno je večina žuželk še vedno nabranih v divjini, narašča pa število manjših, družinskih podjetijih, kjer gojijo žuželke predvsem za prehrano domačih ljubljenčkov, mesojedih plazilcev in drugih insektovednih živali. Gojitev insektov bi lahko v državah v razvoju, kjer revščina še

vedno predstavlja vsakodnevni življenjski problem, pomagala pri odpiranju delovnih mest in izboljšanju življenjskega standarda (van Huis in sod., 2013).

Po mnenju Mednarodne platforme za žuželke za hrano in krmo (International Platform of Insects for Food and Feed; IPIFF) se bo industrija proizvodnje žuželk, in sicer v smislu proizvodnje novega vira beljakovin, morala soočiti s tremi glavnimi izzivi, da bo lahko v celoti izkoristila svoj potencial (Sogari in sod., 2019).

Najprej se bo morala proizvodnja žuželk znatno povečati, kajti trenutna tržna cena obrokov iz žuželk še ni dovolj konkurenčna. Poleg tega je obseg proizvodnje ribje moke in visokokakovostnega izvlečka sojine moke tisočkrat večji od beljakovinskih izdelkov, pridobljenih iz ličink. Rejci žuželk bodo morali s povečanjem obsega proizvodnje povečati tudi cenovno konkurenčnost in stabilnost svojih izdelkov v primerjavi z izdelki iz drugih virov beljakovin. Pri tem pričakujejo, da bodo pri doseganju tega cilja bistveno pripomogli avtomatizacija in nadzorovani sistemi pridelave (Sogari in sod., 2019).

Drugič, živinorejci v EU morajo redno izpolnjevati pričakovanja potrošnikov glede varnih, hranljivih in visokokakovostnih proizvodov živalskega izvora, poleg tega pa se še spoprijemati z družbenimi izzivi, kot je zmanjšanje uporabe antibiotikov zaradi vedno večje odpornosti bakterij. Rejci ličink bodo morali dokazati, da sledijo enakim standardom in iz žuželk proizvajati dovolj hranljive in visokokakovostne izdelke, ki bodo zadovoljivi za potrošnika (Sogari in sod., 2019).

Končni izziv predstavlja še splošna živilska in krmna zakonodaja, ki jo morajo upoštevati tudi proizvajalci žuželk. V državah EU so možnosti uporabe in hranjenja žuželk še vedno omejene. Evropska agencija za varnost hrane (EFSA) je 13. 1. 2021 uvrstila na seznam hrane, varne za človeško uživanje, posušene ličinke velikega mokarja (*Tenebrio molitor*), ki je postal prva žuželka na tem spisku. Trenutno ni dovoljeno uporabljati žuželk kot krmo za perutnino in prašiče, poleg tega jih ne smemo hraniiti z nekdanjimi živili, ki vsebujejo meso, ribe, ali z odpadno hrano iz restavracij ali gostinskih obratov. Vzreja ličink je dovoljena samo s surovinami, ki imajo status krme (Sogari in sod., 2019).

1.2 ČRNA BOJEVNIŠKA (VOJAŠKA) MUHA (*Hermetia illucens*) KOT NOV VIR BELJAKOVIN

Med žuželke, primerne kot nov vir beljakovin, sodi tudi črna bojevniška ali črna vojaška muha muha (*Hermetia illucens*, ČBM), ki ima veliko sposobnost pretvarjanja organskega materiala v lastno biomaso (Bogataj, 2018).

1.2.1 Opis in življenjski cikel

ČBM je pogosta in geografsko precej razširjena muha iz družine Stratiomyidae, v kateri se nahaja 2620 poznanih vrst (Bogataj, 2018). Originalno izhaja iz Južne Amerike, z globalizacijo pa se je razširila po vsem svetu, predvsem v tropska in zmerna podnebja. V Evropi je bila prvič opažena na Malti, to je leta 1926, danes pa je prisotna tudi v Sloveniji (Volk, 2018).

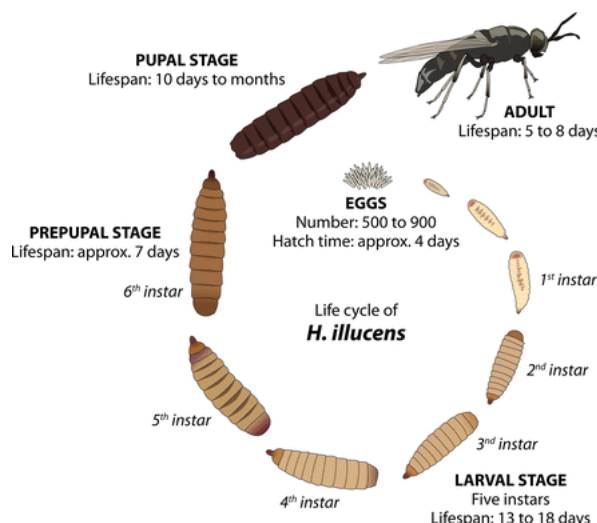
Taksonomija *H. illucens*:

- Kraljestvo: Animalia
- Deblo: Arthropoda
- Razred: Insecta
- Red: Diptera
- Družina: Stratiomyidae
- Rod: *Hermetia*
- Vrsta: *H. illucens* (Bogataj, 2018)

Odrasli osebki so lahko različnih barv, od rumene, zelene do modro črne. Njihova značilnost je, da oponašajo izgled drugih žuželk, npr. os in čebel (Bogataj, 2018).

Odrasle muhe ne potrebujejo hrane za preživetje. Te ne sodijo med škodljivce, saj jih ne najdemo v domovih ljudi, poleg tega pa živijo relativno kratek čas. Življenjski ciklus, dolg približno 40-45 dni, je sestavljen iz štirih faz: odrasle muhe, jajčeca, ličinke in prepuge/pupe (Bogataj, 2018). V naravi odlaga samička *H. illucens* jajčeca v bližino vlažnega organskega materiala. Na kmetijskih območjih izbira prostore, kjer skladiščijo gnoj; v urbanih območjih pa kompostnike ali smetišča. Parjenje se navadno prične že drugi dan po izvalitvi odrasle živali.

Samček preži na rastlini na samico, in ko jo opazi, se parita v zraku. Samička nato izleže od 500 do 900 jajčec, ovalne oblike, kremno bele barve. V dolžino merijo 1 mm. Po štirih dneh se iz njih izležejo ličinke, ki so prav tako kremno bele do rumene barve, imajo pa močna usta za žvečenje organskih hrani. Med razvojem, ki traja 14 dni, se ličinke 6x levijo in na koncu cikla dosežejo dolžino do 27 mm in širino do 6 mm. Po končani levitvi in po končanem konstantnem prehranjevanju se ličinke umaknejo na miren in varen prostor, kjer začnejo pupacijo. Pravimo, da so v stanju prepupe. V tem času oblikujejo puparij, znotraj katerega se razvijajo v pupo. Eksoskelet potemni, v odraslo žival pa se preobrazi v obdobju 14 dni. Dolžino odraslega življenja pogojujeta temperatura in vlaga, namreč pri višjih poletnih temperaturah živi samo 5-8 dni, pri sobni temperaturi pa lahko preživi do dva tedna (Volk, 2018) (Slika 4).



Slika 4: Življenjski cikel *H. illucens*

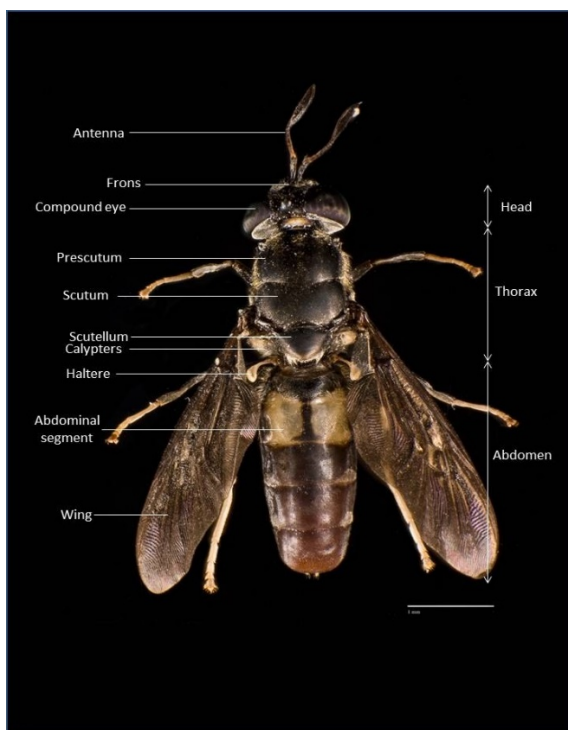
Vir slike: Bogataj, 2018

Prisotnost različnih vrst mikroorganizmov v okolju vpliva na njihovo obnašanje pri odlaganju jajčec in iskanju primernega substrata za rast. Če je na substratu ličinka hrošča *Alphitobius diaperinus*, to ČBM odvrača od odlaganja jajčec (Smet in sod., 2018).

Imunski odziv ČBM temelji na kombinaciji celične in humoralne imunosti. Hemolimfne celice opravljajo naloge fagocitoze, nodulacije in enkapsulacije patogenov; fenoloksidaze, antimikrobní peptidi (AMP) in proteini pa predstavljajo aktivni del humoralnega odgovora (Bogataj, 2018).

1.2.2 Zgradba in gastrointestinalni trakt *H. illucens*

ČBM meri v dolžino 15–20 mm. Ima sestavljene oči, sorazmerno velike in zeleno obarvane z naključno razporejenimi vijoličnimi progami. Progavost ne vpliva na vid živali, temveč sodeluje pri njenem obnašanju signalizacije sovrstnikom. Oko sestavlja več ponavljajočih se organizacijskih enot, imenovanih omatidiji. Na vrhu glave, to je med sestavljenima očesoma, ima še tri pikčaste oči v obliki enakostraničnega trikotnika. Kranialno na glavi se nahajajo antene iz treh podaljškov, distalni segmenti nog pa so beli (Volk, 2018) (Slika 5).



Slika 5: Osnovna anatomija odrasle *H. illucens*

Od vrha do dna se vrstijo: antene, pikčaste oči, sestavljeni očesi, trije obroči prsnega koša (prescutum, scutum in scutellum), obroči trebušnega predela in krila.

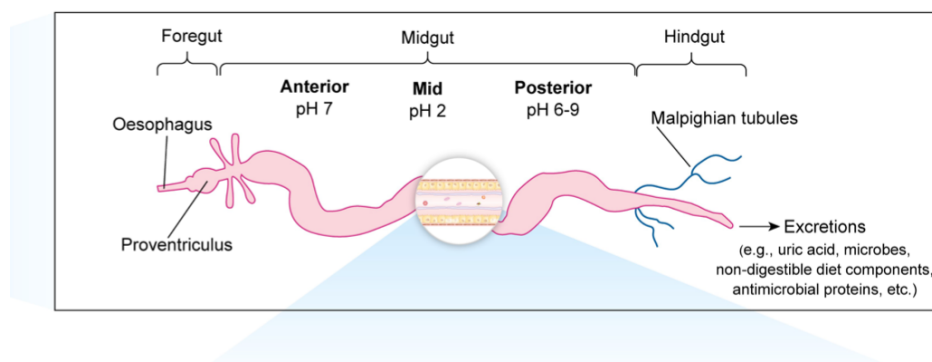
Vir slike: Volk, 2018

Kutikula je črna in ima dve prosojni okenci, ki sta na prvem segmentu abdomna (Volk, 2018). Njihovo telo je v večini sestavljeno iz beljakovin, maščob in hitina, ki tvori eksoskelet (Smet in sod., 2018). Monomer ogljikovih hidratov (OH), glukozo, uporabijo ličinke tako za izgradnjo tkiv kot tudi za energijo. Aminokisline sodelujejo pri oblikovanju tkiv, hormonov in transportnih beljakovin, od katerih jih je deset esencialnih specifičnih za žuželke. Maščobe so vir energije, sodelujejo pa tudi pri zgradbi celične membrane in organel. Pomembne so tudi pri

produkциji hormonov. Pri razvoju ličinke pomembno sodelujejo steroli, vitamini in minerali (Gold in sod., 2018).

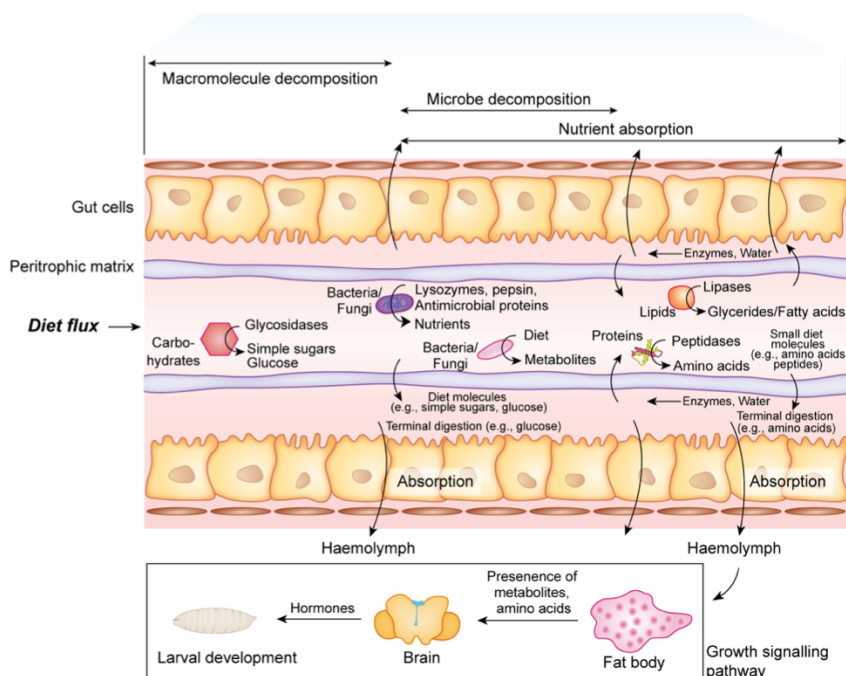
Ličinke se hrani skozi odprtini, ustom podobni, na anteriornem delu njihovega podolgovatega telesa. Pogoltnejo lahko tekočino in trdno snov, in sicer brez omejene velikosti delcev. Hrana potuje skozi požiralnik v votlino, podobno želodcu, ki ima drobilno nalogu, ter nato v črevo. Ta predstavlja najpomembnejši del prebave (Gold in sod., 2018). Deljen je na tanko in debelo črevo, tanko pa na tri dele: sprednji, srednji in zadnji del (Slika 6). Vsi deli vsebujejo kolonije bakterij in protozojev, ki se med seboj razlikujejo. Vplivajo na spodbujanje prebave specifičnih organskih komponent in na razvoj spola (Bogataj, 2018). Sluznica črevesja je sestavljena iz visokocilindričnega epitelija, ki se zaradi intenzivnega metabolizma neprestano obnavlja.

Njegove odmrle celice tvorijo plast, imenovano peritrofična membrana, in ločuje dele tankega črevesja, da lahko poteka v posameznih delih različna encimska razgradnja. Večina encimov se nahaja v zadnjem, to je posteriornem delu tankega črevesja. Hrana pride po zaužitju najprej v endoperitrofičnem predelu, torej v volumnu črevesja, v stik z encimi, ki katalizirajo makromolekule. Na tem mestu sodelujejo encimi amilaza, maltaza, pepsin in tripsin ter lipaza in fosfolipaza, odvisno od substrata, na katerem rastejo ličinke. Šele, ko so molekule dovolj majhne, lahko prestopijo peritrofično membrano in preidejo v ektoperitrofični del črevesja, od tod pa v hemolimfo. Malfigijeve cevčice, locirane na prehodu iz tankega v debelo črevo, imajo vlogo ledvic in so povezane s hemolimfo (Slika 7). Tako predstavljajo pomemben del pri ohranjanju ravnotežja hraniilnih snovi, vode in ionov. Na tem mestu pride tudi do izmenjave dušikovih snovi (urične kisline) ter drugih stranskih presnovnih produktov, ki bi lahko škodovali prebavi. Hemolimfa opravlja pri žuželkah enake naloge kot kri pri vretenčarjih in omogoča prenos hraniilnih snovi po telesu. Te se nato akumulirajo v maščobni del ličinke in vplivajo na maščobno sestavo in metabolizem. Pri prebavi celuloze in hemiceluloze jim pomaga tudi bakterijska mikroflora, saj v črevesju ni encimov za njihovo razgradnjo. Mikroflora proizvaja celulazo in pektinazo. Vse molekule, ki se ne predelajo, resorbirajo, razgradijo, vsi metaboliti ter AMP nato potujejo do konca črevesja in se izločijo skozi odprtino na posteriornem delu ličinke. Ličinke ČBM se neprestano prehranjujejo. Iz raziskav je znano, da potrebuje hrana za prehod skozi črevesje približno 60-180 minut (Gold in sod., 2018).



Slika 6: Delitev črevesja *H. illucens*

Vir: Gold in sod., 2018



Slika 7: Metabolizem molekul v črevesju *H. illucens*

Vir: Gold in sod., 2018

Pri prebavi sta pomembna dejavnika tudi pH in kisik. Vplivata namreč na delovanje encimov in na številčnost mikroflore. Tanko črevo ima aerobne in anaerobne predele prebave. Obstajajo odprtine, ki se povezujejo z respiratornim sistemom in tako dovajajo molekule kisika z aktivnim transportom ali dilucijo skozi membrano na določena mesta v črevesju. Najbolj kranialni del

tankega črevesja je pH nevtralen (pH 7), sledi močno kislo okolje (pH 2) in se konča z alkalnim (pH 6,3-9,3) (Gold in sod., 2018).

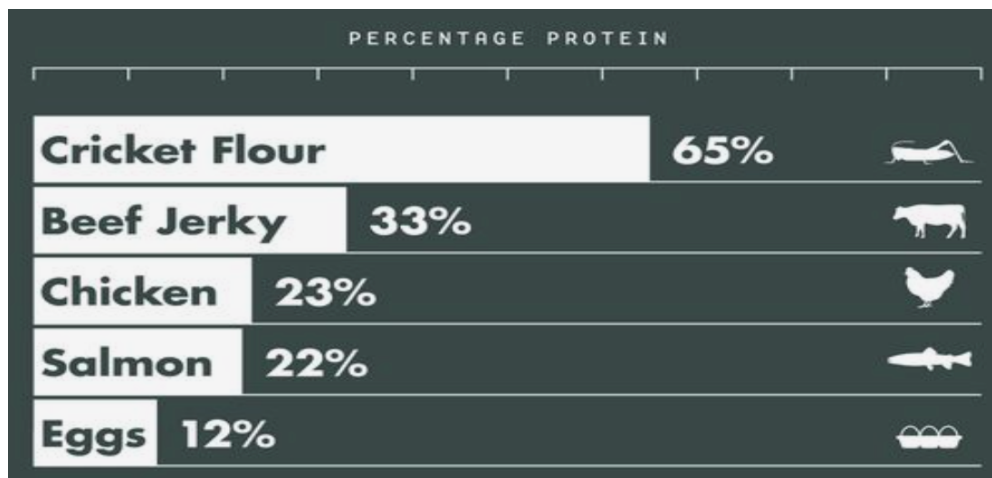
Metabolizem je tesno povezan s hormoni. Posamezne stopnje ličinkinega razvoja so prilagojene razgradnji organskega materiala in hraniilnih snovi, ki jih potrebuje ličinka na posamezni stopnji. Hitrost hranjenja je odvisna od sladkorjev v substratu in od vpliva hormonov, ki vplivajo na njen apetit (Gold in sod., 2018).

Jeon in sod. (2011) so ugotavljali mikrobiološko združbo v črevesju ČBM. Mikrobiota se je razlikovala glede na prehrano, v največji meri pa so bile zastopane *Bacteriodetes*, *Proteobacteria*, *Firmicutes*, *Actinobacteria* in *Fusobacteria*. Leta 2013 so Zheng in sod. s pomočjo 16S rRNA gena raziskovali raznolikost bakterijske mikroflore ličink med različnimi stadiji rasti. Ličinke so vzrejali na Gainesville dieti (20 % koruze, 30 % lucerne in 50 % pšeničnih otrobov), vzorce bakterijske DNA pa jemali iz ličinke, prepuge, pupe, odrasle muhe in jajčec. Ugotovljene so bile naslednje bakterije: v fazi jajčeca (54 %) in prepuge (41,7 %) je prevladoval rod *Proteobacteria*. V obdobju ličinke (54,4 %), pupe (46,3 %) in odrasle muhe (40,5 %) pa je prevladoval rod *Bacteriodetes*. Okoli 78 % vseh razredov so bili skozi vse stadije razvoja *Gammaproteobacteria*, *Sphingobacteria*, *Flavobacteria* in *Actinobacteria*.

V črevesju ČBM so dokazali tudi glive. Najbolj zastopani vrsti sta bili *Pichia*, *Geotrichum* in *Trichosporon*, verjetno zaradi lastnih antimikrobnih lastnosti, ki preprečujejo rast drugih vrst gliv (Bogataj, 2018).

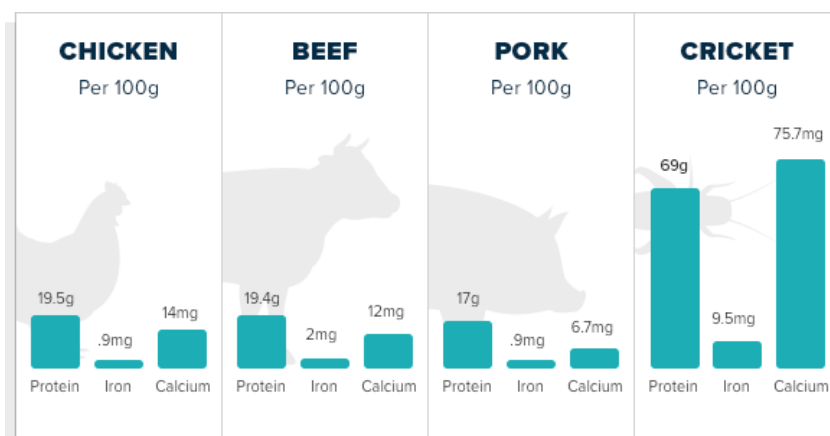
1.2.3 Hraniilna vrednost *H. illucens*

Ličinke ČBM vsebujejo povprečno na suho snov 32-58 % beljakovin, 4,8-5,11 % kalcija (Ca) in 0,6 % fosforja (P) ter 29-35 % maščob, med katerimi je večji delež nasičenih maščob (Wang in Shelomi, 2017). Na vsebnost hraniilnih snovi vpliva stadij žuželke in habitat, v katerem raste (van Huis in sod., 2013) (Sliki 8 in 9).



Slika 8: Primerjava vsebnosti beljakovin v žuželkah (moka čričkov) in drugih živalskih virih hrane

Vir slike: <https://exoprotein.com>



Slika 9: Primerjava vsebnosti beljakovin, železa in kalcija med 100 g žuželk in drugih rejnih živali (perutnina, govedo in prašiči)

Vir slike: <http://www.eatgrub.co.uk>

Ličinke ČBM ne morejo same prebaviti vlaknin iz hrane, zato jim pri tem pomagajo črevesne bakterije. Beljakovine se v črevesju razgradijo s pomočjo peptidaz do aminokislin, ki se absorbirajo v črevesne epitelne celice. Gold. in sod. (2018) so ugotovili, da imajo ličinke večjo maso, če so gojene na substratu z večjo vsebnostjo beljakovin. Poleg tega so bolj uspešne pri konverziji substrata, vsebujejo večji delež beljakovin in manjši delež maščob. Čas rasti do faze prepupe je krajši. Ličinke, ki so gojene na substratu z nižjo vsebnostjo beljakovin, imajo daljši čas razvoja, so manjše in vsebujejo več maščobe, še posebno v primeru, ko je v substratu več ogljikovih hidratov (Gold in sod., 2018).

Ogljikovi hidrati so v tesni povezavi z deležem maščobe v ličinkah. V primeru, da jih gojimo na substratu z nizko vsebnostjo beljakovin in velikim deležem ogljikovih hidratov, bodo te pretvorile in naložile ogljikove hidrate v maščobni del telesa. Iz tega sledi, da bodo ličinke, gojene na substratu iz sadja, vsebovale večji delež maščob v primerjavi z ličinkami, gojenimi na substratu iz zelenjave. Njihov krajši čas razvoja bo pri dieti, ki ima razmerje beljakovine : ogljikovi hidrati 1 : 1- 4 : 1. Vendar pa bo masa ličink večja (in večji delež maščob) pri razmerju 1 : 2-1 : 4 (Gold in sod., 2018).

Na hranilno vrednost ličink vplivajo tudi drugi faktorji, kot so njihova genetika in starost, odmerek odpadka na ličinko, pogostost hranjenja, temperatura ter vlaga v okolju in trajanje reje (Gold in sod., 2018). Vpliv starosti na vsebnost hranilne vrednosti ličink so raziskovali tudi Nyakeri in sod. (2017). Ugotovili so, da se s starostjo zmanjšuje vsebnost beljakovin v ličinkah ne glede na uporabljen substrat. To je verjetno posledica sklerotizacije, procesa, ki povzroči encimsko razgradnjo beljakovin za izgradnjo hitina v eksoskeletu. Zato naj bi bil najbolj idealen čas pobiranja ličink, preden razvijejo trd zunanji eksoskelet. V omenjenem poskusu (Nyakeri in sod., 2017) so prepupe pobrali 16. dan razvoja, se pravi v času, ko je imelo približno 90 % ličink prepup v najboljšem ravnovesju med maso in minimalnim nivojem hitina.

Tabela 1: Podatki iz literature o vsebnosti hranilnih snovi v ličinkah (v fazi prepupe) *H. illucens*

	Liu in sod., 2016	Newton in sod., 2005	Newton in sod., 2005	Nyakeri in sod., 2017	Nyakeri in sod., 2017	Shumo in sod., 2019	Shumo in sod., 2019	Spranghers in sod., 2017	Spranghers in sod., 2017	Spranghers in sod., 2017
	Popolna krmna mešanica za perutnino	Perutninski gnoj	Prašičji gnoj	Gospodinjski odpadki	Pivske tropine	Godpodinjski odpadki	Pivske tropine	Popolna krmna mešanica za perutnino	Gospodinjski odpadki	Zelenjavni biološki odpadki
SS (%)	-	-	-	-	-	92,7	84,6	-	-	-
VLAGA (%)	-	-	-	-	-	-	-	61,3	61,9	59,0
SP (% v SS)	9,6	14,6	16,6	-	-	7,2	6,2	10,0	2,7	9,6
SV (% v SS)	-	7,0	-	-	-	38,9	49,9	-	-	-
SB (% v SS)	40,4	42,1	43,2	36,1	43,0	33,0	41,3	41,2	43,1	39,9
SM (% v SS)	24,2	34,8	28,0	35,9	27,2	34,3	31,0	33,6	38,6	37,1
Na (% v SS)	0,1	0,1325	0,1260	-	-	0,2	0,26	0,067	0,068	0,06
Mg (% v SS)		0,39	0,44	-	-	0,33	0,35	0,265	0,246	0,211
K (% v SS)	-	0,69	1,16	-	-	0,57	0,44	0,616	0,598	594
P (% v SS)	0,35	1,51	0,88	-	-	0,41	0,46	0,499	0,408	0,404
Ca (% v SS)	2,9	5,0	5,36	-	-	0,2	0,17	2,87	0,123	2,872
Mn (mg/kg v SS)	-	246	348	-	-	900	1100	220	20	240
Fe (mg/kg v SS)	2000	1370	776	-	-	2200	300	350	110	110
Cu (mg/kg v SS)	-	6	26	-	-	200	500	10	10	10
Zn (mg/kg v SS)	614	108	271	-	-	300	300	160	70	70

Legenda: ČBM: Črna bojevniška muha; SS: suha snov; SP: surov pepel; SV: surove vlaknine; SB: surove beljakovine; SM: surove maščobe; Na: natrij; Mg: magnezij; K: kalij; P: fosfor; Ca: kalcij; Mn: mangan; Fe: železo; Cu: baker; Zn: cink; S: žveplo

Liu in sod. (2017) so raziskovali spremembe v hraniilih vrednostih v različnih razvojnih stadijih ČBM. Po izvajitvi se je vsebnost surovih maščob (SM) v suhi snovi najprej zmanjšala s 15,8 % na 4 %, kar kaže, da lupina jajčec vsebuje zaradi preprečevanja izgube vlage več SM. Vsebnost SM se je nato v fazi ličinke postopoma povečevala in dosegla najvišji delež (28 %) v zreli ličinki, to je 14. dan, in fazi prepupe, nato pa se je v fazi pupe močno zmanjšala. To je lahko posledica disociacije maščob in porabe energije za metamorfozo. Med njo se oblikuje odrasla muha, ki nato zaključi parjenje in odloži jajčeca. Po metamorfozi in pojavu odraslih muh so ponovno ugotovili normalno raven SM, in sicer 30,6 % pri samicah in 32,2 % pri samcih.

Vsebnost surovih beljakovin (SB) v teh razvojnih fazah se je počasi zmanjševala. Najnižja vsebnost SB je bila 38 % v fazi ličinke (prvih 12 dni), najvišja pa v zgodnji fazi pupe. V zgodnji prepupi je bila vsebnost 40,2 %, v pozni prepupi 40,4 %, v zgodnji pupi 46,2 %, v pozni pupi 43,8 % in v odraslih samcih 43,8 % ter 44 % v odraslih samicah. Vsebnost SB je bila največja v postmortalni fazi odraslih muh, in sicer 57,6 %. Delež SM je bil v tem času 21,6 %. V nasprotju s spremenjanjem vsebnosti SB in SM na različnih stopnjah razvoja ličink pa je vsebnost surovega pepela (SP) od 4. dne pa do pozne pupe ostala približno enaka in je znašala od 7,8 % do 10,3 %. V vzorcih jajčec in odraslih muh je bila vsebnost pepela precej manjša. Samci so imeli višjo vsebnost beljakovin, maščob in pepela kot samice.

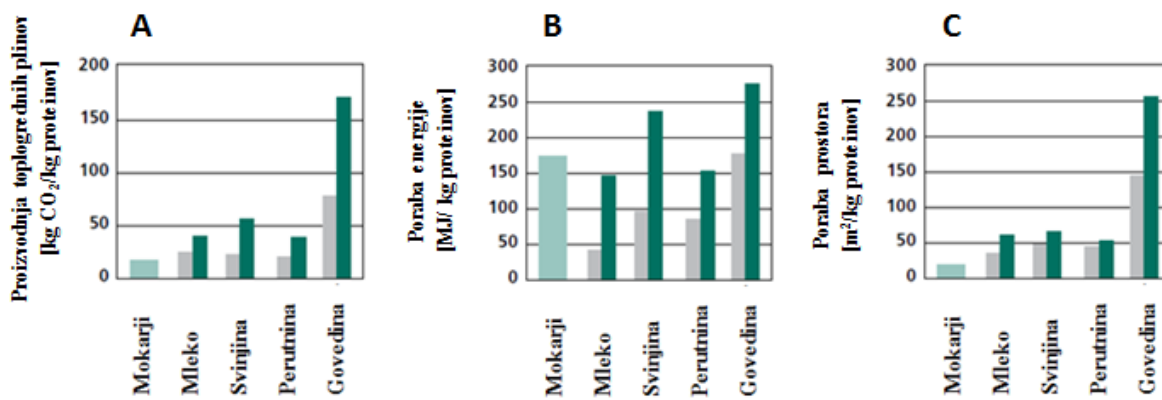
Vsebnost maščobnih kislin (MK) v različnih življenjskih obdobjih ČBM precej variira. Linolna kislina (18: 2, ω-6) ter α-linolenska kislina (18: 3, ω-3) sta dosegli najvišjo vrednost, in sicer 31,4 % in 1,6 % deleža vseh maščobnih kislin na 6. dan razvoja ličink. Oleinska kislina (18: 1) je imela največji delež 4. dne razvoja ličink in je predstavljala približno 36,4 % SM, nato pa se je postopno zmanjševala do stanja odrasle muhe (Liu in sod., 2017).

Tudi vsebnost elementov je odvisna od substrata, na katerem gojimo ličinke ČBM, ki naj bi akumulirale Ca in magnezij (Mg), ne pa natrija (Na) ali žvepla (S). Vsebujejo še enkrat več Ca kot druge vrste insektov, to je 6,6-9,3 % v suhi snovi, medtem ko so vrednosti pri drugih žuželkah manj kot 1 %. Tudi drugih elementov je v primerjavi z drugimi vrstami ličink več (Wang in Shelomi, 2017).

V raziskavi Liu in sod. (2017) so bile prepupe bogate z vitaminom E in minerali (Ca, P, Na, železo (Fe) in cink (Zn)). Največ jih je bilo v zrelih ličinkah in zgodnjih prepupah. Visoka raven mineralov v ČBM podpira razmišljanje, da bi užitne žuželke lahko pomagale v boju proti pomanjkanju hrane v tistih državah, kjer prevladuje pomanjkanje mikrohranil (Liu in sod., 2017).

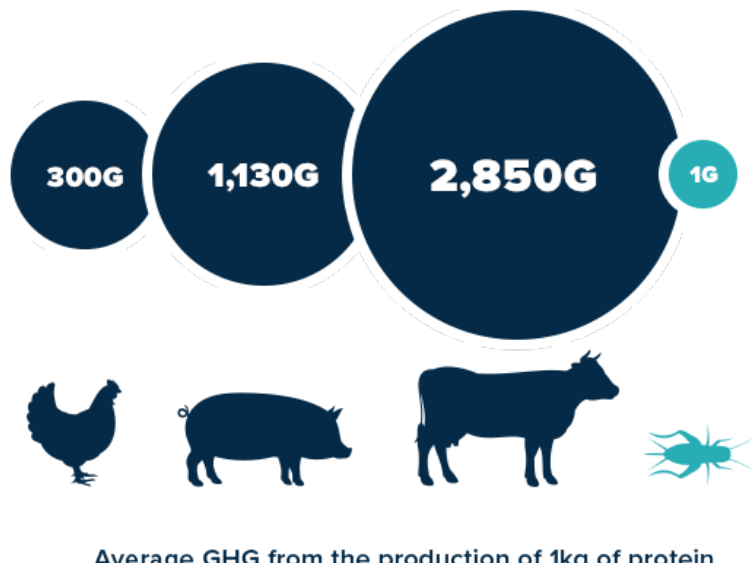
1.2.4 Uporaba *H. illucens* pri kompostiranju

ČBM živi v bližini prašičjih, perutninskih in govejih farm, saj za svojo rast izkorišča gnoj. Poleg tega jo najdemo tudi na odpadkih iz predelave sadja, kave in zelenjave ter na odpadnih stranskih proizvodih, ki dnevno nastajajo v akvakulti. Lahko rečemo, da neopazno rešuje okoljske probleme, saj zmanjšuje maso odpadkov, vsebnost vlage in inaktivira močne vonjave. Ugotovljeno je bilo, da ČBM zmanjša prosti P v govejem gnoju, ki ga govedo sprosti v okolje, in sicer za 61-70 % in dušik (N) za 30-50 %. V iztrebkih prašičev zmanjša P za 52 %, N za 71 % in kalij (K) za 52 %. Vsebnost elementov, kot so Ca, Fe, Mg, Na, Zn, aluminij (Al), kadmij (Cd), krom (Cr), baker (Cu), molibden (Mb) ter nikelj (Ni), pa za 38-93 %. Pozitivno doprinesejo k boljši higieni na farmah in zmanjšanju populacij škodljivih vrst žuželk. Povzamemo lahko, da ličinke ČMB zmanjšajo onesnaževanje za 50–60 % (van Huis in sod., 2013) (Slika 10 in 11).



Slika 10: Primerjava proizvodnje toplogrednih plinov (A), porabe energije (B) in porabe prostora (C) med mokarji in ostalimi pogostimi viri beljakovin

Vir slike: van Huis in sod., 2013



Average GHG from the production of 1kg of protein

Slika 11: Povprečna količina toplogrednih plinov, ki nastanejo pri proizvodnji 1 kg različnih virov beljakovin

Vir slike: <http://www.eatgrub.co.uk>

V zadnjem času intenzivno proučujejo različne tehnologije uporabe ČBM v postopkih kompostiranja in predelave bioloških odpadkov. Njihova uspešnost je odvisna od sposobnosti predelave velikih količin organskega materiala v beljakovine in maščobe, pri čemer se zagotovi mikrobiološka in kemijska varnost (Gold in sod., 2018).

Zato je ČBM pomemben dejavnik trajnostnega gospodarstva (Wang in Shelomi, 2017). Nekateri ostanki lahko vsebujejo različne nezaželene snovi in/ali privabljajo potencialne vektorje bolezni druge žuželke. Divje ČBM se tako že nekaj časa imenuje za »dobre upravljalce« takšnih odpadkov, saj zmanjšujejo emisije in odganjajo druge vrste žuželk (Wang in Shelomi, 2017). To je velikega pomena predvsem v državah v razvoju, kjer predstavljajo dnevni odpadki zaradi prevelikih stroškov tehnologije predelave veliko breme. Odpadki se nalagajo, razgradnji produkti pa onesnažujejo bližnjo okolico, kar ima posledice tudi na zdravje ljudi. Poleg tega se izgubljajo potencialne hranilne snovi in energija (Gold in sod., 2018).

Oblika krožnega gospodarstva z uporabo ČBM predstavlja možnost, da farme samostojno poskrbijo za odpadke (gnoj) in jim ni potrebno plačevati stroškov odvoza, kar je z vidika trajnostnega gospodarstva pozitivno za okolje, rejne živali in ljudi (Wang in Shelomi, 2017).

1.2.5 Način reje *H. illucens*

ČBM lahko raste na zelo različnih substratih organskih materialov, od živalskega gnoja do kuhinjskih in drugih odpadkov (Wang in Shelomi, 2017). Reja navadno poteka v posodah različnih velikosti, vendar morajo biti te enotne. Ličinke se med 4. in 9. dnem prenese iz posodic, kjer so bile iz jajčec vzrejene na običajnem substratu (na primer krma za piščance); v posode z izmerjeno maso substrata. Ličinka se nato med razvojem šestkrat levi. V zadnjem stadiju, tako imenovani prepupi, so velike med 6 in 20 mm ter mase od 70 do 299 mg (Gold in sod., 2018). Zaradi njihovega naravnega obnašanja, da same zapustijo gojišče, izdelava sistema, ki jih vodi v skupno zbiralnišče, ni preveč zapletena. V prihodnosti lahko pričakujemo vedno večjo avtomatizacijo in industrializacijo reje (Wang in Shelomi, 2017).

Na lokacijah, kjer ČBM naravno prebivajo in so ustrezne klimatske razmere vse leto, gojenje ličink zahteva le malo časa in dela. V takšnih primerih imajo lahko kar odprte sisteme v bližini farm, kjer ličinke same iščejo odpadke (Wang in Shelomi, 2017).

Po podatkih iz literature je idealno razmerje porabe substrata in njegove predelave približno 3-5 kg/m²/dan. V tem primeru bi kolonija ČBM proizvedla 145 g/m² suhe snovi dnevno (Wang in Shelomi, 2017). Dnevno dodana količina substrata lahko pozitivno izboljša rast ali pa obratno, torej jo upočasni. Ugotovljeno je bilo, da ličinka dnevno zaužije med 25 in 500 mg substrata, odvisno od njegove vlažnosti, velikosti delcev, vsebnosti vlaknin ter velikosti in starosti ličink. Najbolj optimalna količina naj bi bila med 100 in 200 mg / ličinko / dan (Nyakeri in sod., 2017). Ličinke se najboljše razvijajo pri temperaturi 30 °C, vendar pri temperaturi 36 °C že poginejo (Wang in Shelomi, 2017). Po podatkih iz literature je najbolj optimalna vsebnost vlage v substratu med 60 in 70 % (Nyakeri in sod., 2017, Spranghers in sod., 2017, Wang in Shelomi, 2017).

Pri reji ČBM ne smemo pozabiti tudi na druge vidike, ki jih moramo upoštevati. Pri tem mislimo predvsem razmnoževanje odraslih muh. Za to je potreben ustrezен prostor, kjer se jih spodbuja k parjenju v zraku in odlaganju jajčec. Precej uspešne so tople grede ali neke vrste rastlinjaki, zagotoviti pa moramo tudi ustrezno svetlobo, saj se samec in samica navadno parita podnevi. Najbolj uspešna je uporaba ioniziranih luči (Wang in Shelomi, 2017).

Veliko pozornost pri rejih pa je potrebno nameniti tudi ustreznosti posameznega substrata. Povečane koncentracije Zn lahko slabo vplivajo na njihovo rast (Wang in Shelomi, 2017). Neustreznost substrata določimo tudi na podlagi njihovega obnašanja. Naravno so fotofobične in se večinoma zarinejo v globje plasti substrata. Kadar poskušajo zlesti ven in so nemirne, kaže na nelagodje (Nyakeri in sod., 2017).

1.3 VARNOST UPORABE LIČINK *H. illucens*

Kot smo že omenili, ličinke ČBM izločajo v okolje manj toplogrednih plinov ter manj amonijaka kot govedo ali prašiči (Wang in Shelomi, 2017). V primerjavi z velikimi rejnymi živalmi predstavljajo manjši rizik prenosa zoonotičnih bolezni. Pomembna ugotovitev je tudi, da ličinke ČBM ne akumulirajo pesticidov ali mikotoksinov. Proizvajajo bakteriostatske, baktericidne in fungicidne spojine, s katerimi se v naravi branijo pred mikroorganizmi ter drugimi neugodnimi okoljskimi razmerami. Človek ne privlači odraslih ČBM. Ugotovljeno je bilo, da ČBM tekmuje v okolju z domačimi muhami (*Musca domestica*) in zmanjša njihovo število od 94 do 100 % (van Huis in sod., 2013).

Organski odpadki, na katerih se ličinka ČBM prehranjuje, lahko posredno vsebujejo različne škodljive snovi. V živalskem gnuju lahko najdemo ostanke farmacevtskih pripravkov, v pivovarniških odpadkih pa mikotoksine. V sadju in zelenjavni so pogosto ostanki pesticidov, v kuhinjskih odpadkih pa težke kovine ali drugi toksini, kot so dioksini, poliklorirani bifenili (PCB) ali policiklični aromatski ogljikovodiki (PAH). Na splošno detoksifikacija takšnih molekul poteka s pomočjo citokroma P450 monooksigenaze in glutation-S-transferaze ter je v tesni povezavi s črevesno mikrofloro (Gold in sod., 2018).

1.3.1 Mikrobiološka tveganja

V več raziskavah je bilo opisano, da gojenje ličinke ČBM na organskem materialu, ki vsebuje *Salmonella enteritidis* in *E. coli*, njihovo število zmanjšuje (Erickson in sod., 2004; Wang in Shelomi, 2017; Smet in sod., 2018). Ker ličinke ČBM rastejo v naravi na odpadnem organskem materialu, ki ima večjo vsebnost bakterij in gliv, mora ličinka imeti ustrezne mehanizme, s katerimi razgradi mikrobe in jih celo izkoristi za rast in razvoj. A če ličinke ostanejo predolgo

na substratu, v katerem se bakterije še vedno razmnožujejo, mikrobov ne uspejo v celoti razgraditi (Gold in sod., 2018).

Ključno vlogo pri razgradnji mikrobov ima ličinkin lastni metabolizem in črevesna mikrobiota (Gold in sod., 2018). Ker pa se okoli 80 % mikroflore ČBM spremeni med razvojem ličink, kadar substrat, na katerem so gojene, ostaja enak, črevesna mikrobiota ne more biti samo zrcalo kolonij bakterij v substratu, temveč morajo zraven sodelovati še drugi mehanizmi. S tem, ko se hrani, ki predstavljajo vir energije (npr. ogljikovi hidrati), razgradijo in absorbirajo že v sprednjem delu črevesja, ličinka prepreči, da bi jih kaj ostalo za bakterijske kolonije, ki se nahajajo v zadnjem delu črevesja (Smet in sod., 2018). K inaktivaciji naj bi po poročilih Erickson in sod. (2004) bistveno prispeval tudi pH v prebavilih. Ta je v sprednjem delu tankega črevesja blago kisel (< 7), v njegovem srednjem delu zelo kisel (< 3), nato pa s prehodom v debelo črevo naraste (> 8). Vloga črevesne mikroflore je predvsem, da izloča AMP, kot so organske kisline in peptidi, ki inaktivirajo tekmovalne mikroorganizme (Gold in sod., 2018). Ker delujejo pri alkalnem pH, se nahajajo v zadnjem delu črevesja (Erickson in sod., 2004). K takšnemu skupnemu delovanju pripomorejo encimi celic mukoze srednjega dela črevesja, ki delujejo v nizkem pH. Razgradnja makromolekul in istočasna liza mikrobov omogoči ličinki dovoljšno mero hrani (Gold in sod., 2018).

Tako kot je pomemben pH v črevesju ličink ČBM, je pomemben tudi pH samega substrata, saj posredno vpliva na delovanje encimov in AMP-jev. Nižji kot je pH, učinkoviteje lahko inaktivirajo *E. coli* (Erickson in sod., 2004).

V raziskavi so Wang in Shelomi (2017) ugotovili, da nekatere bakterije iz substrata boljše vplivajo na rast ličink kot druge, posebno ugotovljena vrsta *Bacillus subtilis*. V raziskavi Gold in sod. (2018) je bilo ugotovljeno, da imajo ličinke različne mehanizme delovanja proti Gram + in Gram - bakterijam. Ker sta sprednji in zadnji del črevesja povezana z respiratornim sistemom, aktivni transport omogoča prenos kisika na posamezne dele črevesja. Tako se ustvari primerno okolje za razmnoževanje nekaterih vrst bakterij, hkrati pa tudi neprimerno okolje za nekatere druge vrste. V raziskavi so ugotovili, da je *E. faecalis* (Gram +) preživila, *E. coli* (Gram -) pa ne (Smet in sod., 2018). Uspešnost zmanjšanja številčnosti patogenih mikrobov naj bi bila odvisna tudi od temperature in sestave substrata (Smet in sod., 2018). V raziskavi Smet

in sod. (2018) je bila *E. coli* O157:H7 najbolj inaktivirana pri temperaturi 27-32 °C in precej manj pri 23 °C. Pri temperaturah, višjih od 32 °C, so bili patogeni sicer zmanjšani v številu, vendar je ta temperatura že vodila v pogin ličink. V raziskavi Erickson in sod. (2004) so ugotovili, da je pri temperaturi 23 °C bilo potrebnih dodatnih 14 dni za opazno zmanjšano vsebnost *E. coli* na količino, to je pred inkubacijo.

Smet in sod. (2018) so proučevali učinkovitost zaviranja rasti patogenih bakterij na različnih substratih. Najmočnejšo inhibicijo Gram - bakterij so opazili pri ličinkah, gojenih na substratu z veliko vsebnostjo beljakovin in celuloze, medtem ko so bile Gram + bakterije v večji meri inaktivirane na substratu z višjo vsebnostjo maščob. Izraženost AMP-jev je tako odvisna od prehrane (Smet in sod., 2018). Tudi Klammsteiner in sod. (2020) so proučevali, kako pomembna je raznovrstna vsebnost hranil v substratu, na katerem vzrejamo ličinke ČBM predvsem za njihovo rast. Bolj kot je substrat razgradljiv in višja, kot je vsebnost beljakovin, bolj učinkovit bo metabolizem ličink in izkoristek hranil (Klammsteiner in sod., 2020).

Črevesna mikrobiota ČBM je lahko, poleg vsega, vir encimov za uporabo v biotehnologiji, kot je na primer izkoristek gena za razgradnjo celuloze (Bogataj, 2018). V svoji raziskavi je Bogataj (2018) proučeval gastrointestinalni trakt ličink ČBM, kjer so odkrili določene AMP-je z zaviralnim delovanjem proti Gram + *Staphylococcus aureus*, Gram - *E. coli* ter glivam *Rhizoctonia solani* in *Sclerotinia sclerotiorum*. Ličinke ČBM proizvajajo tudi lavrično kislino (monolavrin), ki jo najdemo še v kokosovem mleku, olju ter naribanim kokosu. Pomembna je zaradi antimikrobnega in antiglivičnega delovanja (Bogataj, 2018).

1.3.2 Kemijska tveganja

Previsoke koncentracije posameznih toksičnih elementov lahko delujejo nefrotoksično, nevrotoksično, povzročajo poškodbe pljuč ali alergijske reakcije in imajo lahko estrogene aktivnosti (Schrögel in Wätjen 2019).

Nekateri elementi so sestavni del razgradnje v črevesju. Sem sodijo Cu, Fe in Zn. Če je njihova koncentracija previsoka, se kopičijo v epitelnih celicah črevesja, malfigijevih tubulih in maščobnih celicah ličink. Elementi, ki so toksični že v majhnih količinah, npr. Cd, svinec (Pb)

in živo srebro (Hg), se prav tako vgradijo v omenjene strukture s pomočjo proteinov metalotioneinov, ki omogočajo njihovo akumuliranje v lizosomih. Povečana absorpcija Cd poteka tudi skozi Ca-kanale v črevesju. Za ličinke ČBM je namreč značilno, da imajo lahko do 10-krat večjo vsebnost Ca kot druge vrste ličink, kar pomeni, da lahko akumulirajo tudi večje količine Cd (Gold in sod., 2018).

Diener in sod. (2015) so ugotavljali vpliv Cd, Pb in Zn na rast ličink ter končno akumulacijo v biomasi. Nobena od treh analiziranih težkih kovin ni vplivala niti na maso prepupe niti na čas razvoja in razmerje med spoloma. Kljub vsemu pa je bila v prepupi koncentracija težkih kovin v primerjavi z odraslimi muhami znatno višja. Vrednost Zn se je znižala v primerjavi z njegovo koncentracijo v krmi, čeprav so med rastjo ličink dodajali vedno večjo količino. Avtorji ta rezultat pripisujejo aktivni ureditvi prenosa znotrajceličnega Zn, saj se ta navadno kopči v eksoskelet in se med levitvijo izgubi.

Ocena faktorjev bioakumulacije (koncentracija v organizmu deljena s koncentracijo v substratu) pokaže kopčenje težkih kovin v organizmu (Scrogel, 2019). Za Pb so bili določeni faktorji bioakumulacije <1 , saj so koncentracije Pb iz raziskave Diener in sod. (2015) v ličinkah ostale manjše, kot je bila koncentracija v krmi. Po drugi strani pa so Maryanski in sod. (2001) ugotovili, da ličinke in prepupe kopčijo Cd s faktorjem bioakumulacije > 1 . Kot možna obrambna reakcija proti povišanim koncentracijam Cd je bila ugotovljena aktivnost beljakovin iz družine HSP70 (Braekman in sod., 1999; Schrögel in Wätjen, 2019). Diener in sod. (2015) so v ličinkah dokazali približno štirikrat nižje koncentracije Ni in Cr v primerjavi s substratom za hranjenje, nekoliko višje koncentracije pa v preostalem materialu, kar kaže na učinkovito izločanje. Prav tako niso ugotovili kopčenja arzena (As), kajti vrednosti v krmi, ličinkah in ostankih substrata so bile zelo primerljive. Hg se v ličinkah ni kopčil, saj je bila dobljena nekoliko večja koncentracija v substratu za gojenje kot v začetni krmi, kar potrjuje, da ličinke izločajo Hg.

Povečane koncentracije Cd in Cr v substratu povzročajo upočasnjen razvoj ličink. Cd in Cr nimata škodljivih učinkov na njihovo preživetje (Lindqvist in sod., 1997; Gintenreiter in sod., 1993; Braeckman in sod., 1999; Biancarosa in sod., 2018). Cd se kopči v ličinki in prepupi,

kar potrjujejo ugotovljene večje koncentracije v ličinkah kot v začetni krmi. Koncentracije Cr v ličinkah in prepupah pa so manjše od koncentracije v krmi (Schrögel in Wätjen, 2019).

Leta 2016 je Lalander s sod. raziskovala akumuliranje farmacevtskih in pesticidnih proizvodov. Ličinke so vzrejali na hrani za pse, in sicer v treh kompostnih sistemih: prvi je vseboval substrat s farmacevtskimi pripravki in pesticidi z ličinkami, drugi je bil brez ličink (kontrola) in tretji z ličinkami brez farmacevtskih pripravkov ter pesticidov. Inokulturali so tri farmacevtske pripravke (karbamazepin, roksitromicin in trimetoprim) in dva pesticida (azoksistrobin in propikonazol). Rezultati so pokazali, da je bil razpolovni čas za vseh pet substanc krajši pri sistemu z ličinkami, poleg tega pa v njih ni bilo akumuliranja. To bi lahko pomenilo veliko vlogo ČMB pri izločanju farmacevtskih pripravkov v okolje. Različni ksenobiotiki, kot so antibiotiki in pesticidi, predstavljajo zaradi svoje kompleksne strukture nevarnost v okolju, saj ostanejo zelo dolgo stabilni. Ne samo, da se lahko ličinke ČBM prehranjujejo na takšnem substratu, ugotovljene so bile skrajšane polovične dobe razgradnje teh pripravkov po njihovi predelavi v črevesju ličink. Takšen kompost bi se lahko ponovno uporabil brez nevarnosti kontaminacije okolja. Podobne značilnosti so bile ugotovljene tudi pri drugih vrstah žuželk (Smet in sod., 2018).

1.4 ZAKONODAJA

Uporaba žuželk v prehranske in krme namene je v Evropi, kjer ni tradicionalne zgodovine entomofagije, novo področje, ki ga je potrebno ustrezno zakonsko urediti. Na prvem mestu je zagotavljanje varnosti potrošnikov, zato imamo v primeru odobritve nove hrane stroga pravila. Žuželke niso del Codex Alimentarius-a, dokumenta, v katerem je zbrano vse, kar sodi med hrano. Dokler žuželke ne bodo dodane, bo to imelo zelo velik vpliv na sprejetje pri potrošnikih in na prilaganje zakonodaje (Wang in Shelomi, 2017).

Obstaja več sklopov zakonodaje, ki vplivajo na uporabo nevretenčastih vrst živali v krmne namene. Zakonodajno gledano, so »žuželke za krmo« vključene v tri sklope zakonodaje: o živalskih stranskih proizvodih, ki niso namenjeni prehrani ljudi (ŽSP; Živalski Stranski Proizvodi), zakonodajo o transmisivnih spongiformnih encefalopatijah (TSE) in krmno zakonodajo, pri čemer je potrebno upoštevati, v kakšni obliki bi bile žuželke uporabljene v

prehrani živali, pri kateri živalski vrsti bi se jih uporabilo v prehrani, postopek proizvodnje in/ali predelave, nadzor nad varnostjo takšnih proizvodov in podobno.

V skladu s 3. členom Uredbe 178/2002/ES se pod pojmom »krma« razumejo snovi ali izdelki (vključno z aditivi), ki so predelani, delno predelani ali nepredelani in ki se uporabljam za krmljenje živali.

Med rejne živali se uvršča vsako žival, za katero človek skrbi, jo pita ali vzreja za proizvodnjo hrane, volne, perja, kože ali katerih koli drugih proizvodov, pridobljenih iz živali, ali za druge rejne živali (3(6)(a) člen Uredbe 1069/2009/ES). Vrste žuželk, gojene v EU, ne smejo biti patogene ali imeti drugih škodljivih učinkov na zdravje rastlin, živali ali ljudi, prav tako ne smejo biti opredeljene kot vektorji človeških, živalskih ali rastlinskih patogenov ter ne smejo biti zaščitene ali opredeljene kot invazivne tujerodne vrste.

Ob upoštevanju ocene tveganja ter mnenja EFSA je na seznamu sedem vrst žuželk, ki se jih lahko goji v EU in ki izpolnjujejo varnostne pogoje za proizvodnjo žuželk za namen uporabe v krmni verigi: hišni čriček (*Acheta domesticus*), pasasti čriček (*Gryllodes sigillatus*), poljski čriček (*Gryllus assimilis*), rumeni mokar (*Tenebrio molitor*), manjši mokar (*Alphitobius diaperinus*), črna bojevniška muha (*Hermetia illucens*) in navadna muha (*Musca domestica*); uredba določa tudi substrate, dovoljene za krmo žuželk (Sogari in sod., 2019).

Substrat za krmljenje gojenih žuželk lahko vsebuje samo proizvode neživalskega izvora ali proizvode živalskega izvora, ki jih je dovoljeno uporabljati za krmljenje rejnih neprežvekovcev. Uporaba fekalij in ločene vsebine prebavnega trakta za krmo (substrata) žuželk je prepovedana (6. člen, v povezavi s 1. točko Priloge III, Uredbe 767/2009/ES). Uporaba določenih substratov, kot so gnoj, kuhinjski odpadki ali bivša živila, ki vsebujejo meso in ribe, ni dovoljena (11. člen Uredbe 1069/2009/ES).

Za krmljenje gojenih žuželk se lahko uporablja sledeči živalski substrat: ribja moka, proizvodi iz krvi neprežvekovcev, kalcijev in trikalcijev fosfat živalskega izvora, hidrolizirane beljakovine iz neprežvekovcev, hidrolizirane beljakovine iz kož prežvekovcev, želatino in kolagen iz neprežvekovcev, jajca in jajčne proizvode, mleko, proizvode na osnovi mleka,

proizvode, pridobljene iz mleka, in kolostrum, topljene maščobe in med. Glede uporabe rastlinskega substrata (npr. pivskih tropin, ostankov pivovarskega ječmena in kvasa ...) veljajo identična pravila kot za druge rejne živali.

Glavni proizvod reje ČBM so žive ličinke, ki se jih praviloma odda v predelovalni obrat, kjer se usmrtilo, in kot ŽSP kategorije 3 uporabijo za proizvodnjo predelanih živalskih beljakovin (PŽB) ali hrane za hišne živali.

Ko se ličinke usmrtri (obdela s temperaturo – kuhanje ali zamrzovanje), začne veljati ŽSP-zakonodaja. V skladu s 3. členom Uredbe 1069/2009/ES se cela telesa ali dele živali, ki niso namenjeni prehrani ljudi, uvršča med ŽSP. V skladu z 10. členom Uredbe 1069/2009/ES so kopenski nevretenčarji uvrščeni med snovi kategorije 3. V proizvodnji krme za rejne in hišne živali se lahko uporabi kot surovino samo predelane snovi kategorije 3, ki morajo biti proizvedene v predelovalnih obratih. Odstopanje od splošnih pravil ŽSP- zakonodaje je znano za določene nerejne živali (živali v živalskih vrtovih, cirkuske živali, ličinke in črve za ribiške vabe, plazilce, ptice roparice, prostoživeče živali in trope lovskih psov).

Posamična krmila, sestavljena iz živalskih stranskih proizvodov ali jih vsebujejo, morajo izpolnjevati zahteve iz Uredbe 1069/2009/ES in Uredbe Komisije 142/2011/EU, za njihovo uporabo pri rejnih živalih pa veljajo prepovedi in omejitve v skladu z Uredbo 999/2001/EU. Žuželka – črna bojevniška muha - sodi med rejne živali (kot opredeljeno v 3(6)(a) členu Uredbe 1069/2009/ES), ki je odobrena za proizvodnjo predelanih živalskih beljakovin v skladu s točko dela A-oddelka 1. poglavja II. Prolog X-Uredbe 142/2011/EU (2.(m) točka Priloge I. Uredbe 999/2001/ES).

Kopenski nevretenčarji so vključeni v katalog posamičnih krmil (9.16.1 in 9.16.2 točka dela C-Priloge Uredbe Komisije 68/2013/EU), kjer je navedeno, da so lahko neobdelani ali obdelani (npr. v posušeni ali zamrznjeni obliki). Iz opisa proizvoda (na oznaki posamičnega krmila) mora biti razvidno, katera vrsta žuželk oziroma njihovih delov so bili uporabljeni. Podatki morajo vsebovati tudi življensko obdobje žuželk in vrsto obdelave ali predelave. V opisani obliki se žuželke lahko uporabljam za prehrano živali, ki niso namenjene proizvodnji hrane.

Predelane živalske beljakovine iz gojenih žuželk imajo v krmni zakonodaji status posamičnega krmila in se jih pod posebnimi pogoji lahko uporablja v krmni verigi akvakulture in rib (9.4.1 točka dela C-Priloge Uredbe Komisije 68/2013/EU).

Živalska maščoba, proizvedena iz gojenih žuželk v skladu s standardom iz Sekcije 3. Poglavlja II. Priloge X-Uredbe 142/2011/EU, ima v krmni zakonodaji status posamičnega krmila (9.2.1 točka dela C-Priloge Uredbe Komisije 68/2013/EU), in se lahko uporabi pri rejnih in nerejnih živalih. Za maščobo ne veljajo omejitve glede uporabe iz Uredbe 999/2001/ES pri rejnih živalih.

Pogoje glede uporabe žuželk in njihovih proizvodov za prehrano ljudi zajema Uredba o živilih EU 2015/2283. V skladu z njo so živila ali živilske sestavine iz žuželk opredeljene kot nove in še ne uporabljene za prehrano ljudi v EU pred 15. majem 1997 (Schrögel in Wätjen, 2019).

Pred dajanjem novih živil v promet je treba opraviti postopek odobritve v skladu s členom 10 Uredbe EU 2015/2283, ki vključuje oceno varnosti glede zdravja ljudi. Po drugi strani pa je tradicionalno hrano iz tretje države mogoče priglasiti v skladu s postopkom priglasitve, opisanim v členih 14 in 16, če je zagotovljena evidenca varne uporabe vsaj 25 let. V posebnem primeru gojenih žuželk za uporabo v prehrani ljudi je priporočljivo upoštevati potencialne nevarnosti z vidika mikrobne nevarnosti, kemijske nevarnosti, alergenega potenciala, nevarnosti za okolje in vpliva predelave in skladiščenja, kot je opredeljeno v mnenju EFSA (Schrögel in Wätjen, 2019).

1.5 UPORABA LIČINK *H. ILLUCENS* V PREHRANI ŽIVALI

Prehrana rejnih živali v EU temelji v veliki meri na uvoženih beljakovinskih virih, med njimi je najpomembnejša sojina moka. Za gojenje soje potrebujemo veliko prostora, kar povzroča izgubo biodiverzitete, stroški pridelave pa so visoki. Moka iz žuželk, tudi iz ČBM, bi v prihodnosti lahko nadomestila sojino in ribjo moko kot vir beljakovin v prehrani živali. Do sedaj smo že večkrat omenili, da vsebujejo žuželke visoke vrednosti vseh esencialnih hranil. Gojili bi jih lahko tudi na gnoju in drugih odpadkih, kar bi omogočilo vzrejo v delno zaprtem krogu (Wang in Shelomi, 2017).

Ličinke ČBM lahko akumulirajo maščobo v svojem telesu, če vsebuje substrat večji delež maščob ali ogljikovih hidratov. Ekstrahirane maščobe so po maščobno kislinski sestavi bolj podobne ribjemu olju kot rastlinskemu. Prepupe vsebujejo veliko omega 3 maščobnih kislin, če v substrat dodajajo ribje ostanke (drobovino) (Wang in Shelomi, 2017). Sealey in sod. (2011) so ugotovili, da je krma iz ličink ČBM velik doprinos v trajnostno akvakulturo. Vzrok je proizvodnja beljakovinsko bogate biomase na beljakovinsko revnem substratu, kar je z ekonomskega vidika cenovno zelo ugodno.

Ličinke ČBM uporabljajo v prehrani perutnine kot delni nadomestek za koruzo ali sojo. Cullere in sod. (2016) niso ugotovili na brojlerjih pasme *Coturnix coturnix japonica* nobene razlike v njihovem prirastu ali masi prsnega mesa, poleg tega ni bilo razlik v okusu, oksidativnem statusu mesa ali vsebnosti holesterola. V skupini, ki so jo hranili z ličinkami ČBM, je bila boljša vrednost pomembnih aminokislin (aspartat, glutamin, alanin, serin, tirozin in treonin). Vendar so ugotovili zvišane vrednosti manj zaželenih nasičenih in mononenasičenih maščobnih kislin. Če ličinkam ČBM odstranimo maščobo, je nezaželenih maščobnih kislin precej manj, poleg tega pa se delež beljakovin poveča na približno 60 %. Ker pa proces ekstrakcije maščob zahteva čas, prostor in denar, ga ne moremo uporabljati v vseh rejah. Kljub temu velja, da je postopek ekstrakcije lahko zelo enostaven, zato bi ga v prihodnosti lahko močno optimizirali (Wang in Shelomi, 2017).

Podobne ugotovitve v raziskavi na brojlerjih pasme *Gallus gallus domesticus* sta opisala tudi Wang in Shelomi (2017). Vrednost maščob je bila nižja, saj so brojlerje krmili z ličinkami ČBM, ki so jim odstranili maščobo. Poleg tega so ugotovili, da so ličinke ČBM zelo zanimive in ješče za perutnino. Iz krme, v katero so dodali ličinke ČBM, so kokoši namerno izbirale ličinke. Tako ČBM predstavljajo dober dodatek perutninski prehrani, saj izboljšajo pokritje potreb po beljakovinah (Wang in Shelomi, 2017).

Zaradi visoke vsebnosti maščob se lahko ČBM uporabi tudi za proizvodnjo biogoriva, njihov hitin pa za pridobivanje hitozana (van Huis in sod., 2013).

Ugotovljeno je bilo, da naj bi imele ličinke ČBM medicinsko prednost, ker delujejo nutraceutično. Srednjeverižnime maščobne kisline, C12:0 (lavrinska kislina), ki jih vsebuje

veliko, naj bi imele probiotični efekt na mikrobioto rejnih živali in celo antibiotični efekt na bolj patogene bakterije v črevesju. Tako bi z ličinkami ČBM v živalski prehrani lahko zmanjšali potrebo po uporabi antibiotikov (Wang in Shelomi, 2017). Razvijajo dva načina uporabe imunskejih lastnosti ČBM. Ena temelji na direktnem krmljenju ličink rejnim žival kot oblika probiotika. V tem primeru je potrebno zagotoviti, da antimikrobne molekule ostanejo stabilne med hranjenjem in metabolizmom. Druga oblika zajema ekstrakcijo teh substanc iz ličink in oblikovanje novega tipa antibiotika (Smet in sod., 2018).

2 NAMEN DELA IN HIPOTEZE

V nalogi smo v naravnih klimatskih razmerah gojili ličinke ČBM na treh različnih substratih: na gospodinjskih odpadkih, pivskih tropinah in na pšeničnih otrobih ter ugotavljali razlike v hraniilni vrednosti, fizikalnih lastnostih in mikrobiološki kontaminaciji. Postavili smo naslednje hipoteze:

1. Ličinke ČBM lahko v poletnem času gojimo v naravnih klimatskih razmerah.
2. Največjo maso bodo dosegle ličinke na gospodinjskih odpadkih, na najbolj raznovrstnem substratu, ki vsebuje največ beljakovin in maščob.
3. Najslabše rezultate bodo dosegle ličinke, gojene na pšeničnih otrobih, ker ti vsebujejo veliko vlaknin.
4. Vsebnost beljakovin v ličinkah se po 12 dneh ne bo spremenjala, vsebnost maščob pa se bo povečevala s starostjo ličink.
5. Po dodatku Ca v substrat se bo vsebnost Ca v ličinkah značilno povečala.
6. Mikrobiološka slika bo najslabša pri ličinkah, gojenih na gospodinjskih odpadkih.

3 MATERIALI IN METODE

Poskus smo izvedli v prostorih in po protokolih gojenja ČBM podjetja Larvero d.o.o., ki nam je zagotovilo potrebno število jajčec in posledično ličink ČBM.

3.1 MATERIALI

3.1.1 Substrati za gojenje ličink *H. illucens*

Za revo ličink ČBM smo uporabili tri organske substrate:

1. pšenične otrobe (PO),
2. gospodinjske odpadke (GO),
3. pivske tropine (PT).

Pšenične otrobe, proizvajalca Mlin Katić, smo kupili v Kmetijski zadrugi Radovljica. Pivske tropine smo dobili od Pivovarne Heineken. Kot vir gospodinjskih odpadkov smo uporabili biološke odpadke, doma proizvedene. Vsebovali so olupke sadja in zelenjave ter kose mesa.

Za pripravo substrata PO smo zmešali pšenične otrobe z vodo, in sicer v razmerju 1:1.

GO smo zmleli na 2-3 cm velike kose.

Substrate smo skladiščili v zaprtem, temnem in hladnem prostoru. PT in GO smo skladiščili v nepredušno zaprtih plastičnih sodih, PO pa smo hranili v dobro zaprti originalni embalaži.

3.1.2 Ličinke *H. illucens*

Proces reje ličink ČBM sestavlja dve fazи. V prvi smo pobrali sveže izležena jajčeca ČBM iz komore, v kateri se odvija parjenje muh. Jajčeca smo stehtali ter pripravili 6 vzorcev mase, približno 1 g (1,03 g +/- 0,3 g). Vzorce smo položili na perforirani podstavek, tega pa na vrh PO. Substrat in podstavek z jajčeci smo položili v steklene posode z večkrat preluknjanim pokrovom, da je bilo zagotovljeno prezračevanje. Tako pripravljeno posodo smo pustili šest dni v temnem in toplem prostoru (26 +/- 3 °C). Po tem času so se v vseh steklenih posodah iz

jajčec izlegle ličinke ČBM, ki so predstavljale začetne kolonije (Slika 12). Sledila je druga faza reje, v kateri smo ličinke ČBM vzrejali na predvidenih substratih.



Slika 12: Steklena posoda po zaključenem obdobju inkubacije

V predhodno oštevilčene plastične posode (6 plastičnih posod, dolžine 60 cm, širine 40 cm in višine 12 cm) smo dodali začetne kolonije (Slika 13). Za vsak substrat smo imeli pripravljeni 2 posodi. V obdobju dveh tednov smo po potrebi hrаниli ličinke.



Slika 13: Začetna kolonija v substratu na začetku reje, v plastični posodi

20. dan poskusa smo populacijo ličink prepolovili v vseh šestih posodah in pol populacije ohranili v izvorni posodi, ki je imela oznako »/a«, drugo polovico pa smo jo prestavili v novo posodo z oznako »/b« (Slika 16). Tako smo podvojili število posod na 12, to je s ciljem, da preverimo vpliv bogatjenja substrata s CaCO_3 v obliki fino mletega prahu (Jata Emona). Ličinke v posodah z oznako »/a« so predstavljale referenco, saj smo jih do konca hrаниli z istim

substratom. V posodah »/b« pa smo substratu dodali še CaCO₃, in sicer v takšni količini, da je predstavljal 5 % mase substrata. Eksperiment smo zaključili po 34 dneh.

Ličinke ČBM smo gojili v omari, za to prilagojeni, v kateri je bila odprta ena stranica, s čimer smo zagotovili naravno prezračevanje. Poskus je torej potekal v naravnih razmerah, to je od 21. 7. do 24. 8. 2020 (34 dni).

V Preglednici 2 je naveden urnik hrانjenja, to je po dnevih, in masa dodanega substrata. Termin hrانjenja in količina dodanega substrata sta bila določena izkustveno in na podlagi trenutnega stanja v posodi. Ključna parametra sta bila delež nepredelanega substrata in velikost ličink. Trudili smo se, da bi v vse posode dodajali z enako časovno periodo enako količino substrata. To nam je v prvi tretjini poskusa še uspevalo, kasneje pa so bile prevelike razlike med posodami.

Tabela 2: Urnik hranjenja z dodanimi količinami substrata (g)

Dan/ Posoda	1/a PO	1/b (Ca)	2/a PO	2/b (Ca)	3/a GO	3/b (Ca)	4/a GO	4/b (Ca)	5/a PT	5/b (Ca)	6/a PT	6/b (Ca)
0	183		153		99		131		145		104	
6	508		537		546		530		545		516	
10	520		520		560		560		600		600	
12	750		750		750		750		750		750	
13					750		750					
14	750		750		1500		1500		1000		1000	
15									1022			
16	500		650		2000		2000				1006	
17									1600			
18	1000		1000				2000				1600	
20	750	750 (57)	750	750 (38)	1600	1600 (80)	1600	1626 (101)	1502	1575 (75)	1503	1500 (75)
22			750									
24	750	750 (40)	750	750 (40)	1600	1600 (80)	1600	1600 (80)	1500	1500 (75)	1500	1500 (75)
28					1460	1600 (89)	1590	1479 (78)	632	579 (84)	624	529 (65)

Legenda: PO - pšenični otrobi; GO – gospodinjski odpadki; PT – pivske tropine

Slike 14 in 15 prikazujeta rejo ličink ČBM po osmih dneh in na koncu poskusa.



Slika 14: Ličinke *H. illucens* po osmih dneh reje

Na levi sliki so kot substrat uporabljeni pivske tropine, v sredini so kuhinjski odpadki in na desni pšenični otrobi.



Slika 15: Ličinke *H. illucens* na zadnji dan eksperimenta

Na levi sliki so kot substrat uporabljeni pivske tropine, v sredini so kuhinjski odpadki in na desni pšenični otrobi.

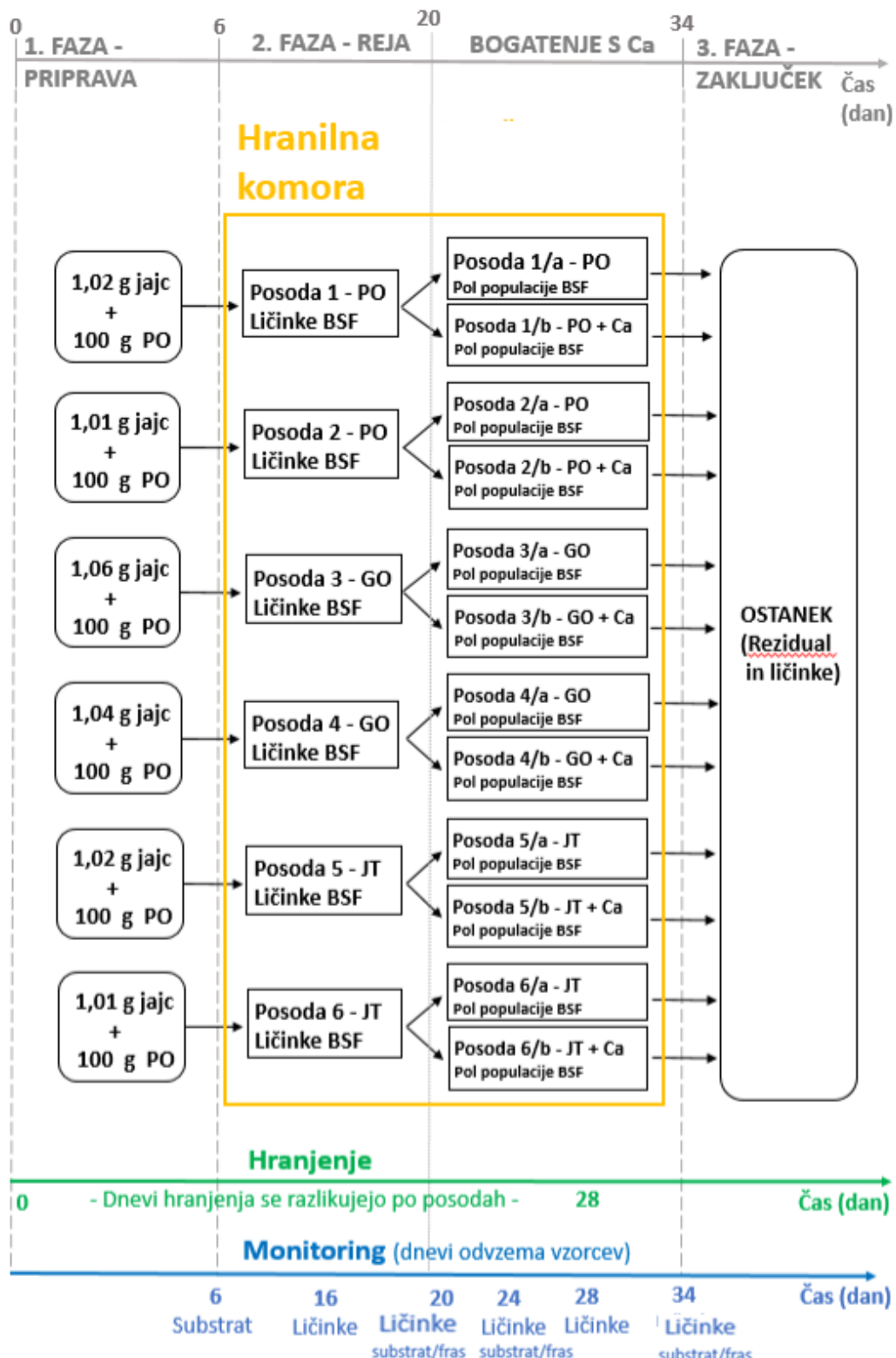
3.2 METODE

3.2.1 Vzorčenje ličink in substrata

Shema vzorčenja je predstavljena na Sliki 16. Na začetku poskusa smo vzorčili vse tri substrate. Kasneje smo substrat odvzeli še 20., 24. in 34. dan, vendar je bil kasneje substrat že pomešan z iztrebki ličink, odmrlimi ličinkami in njihovimi deli, zato ga imenujemo fras. Tega smo ločevali od ličink s sejanjem skozi posebej oblikovana sita.

Ličinke smo petkrat vzorčili, dvakrat pred začetkom bogatenja s CaCO_3 in trikrat po njem.

Vzorčenje na 20. dan smo izvedli na izvornih šestih posodah. Šele po tem smo kolonije v posodah prepolovili in prestavili v podvojene posode ter začeli z bogatenjem s CaCO_3 v »/b« posodah.



Slika 16: Shema poskusa (PO – pšenični otrobi; GO – gospodinjski odpadki; PT – pivske tropine) s časovnico odvzema vzorcev.

Vzorci ličink ali substrata/frasa so bili približno 100 g mase. Vzorčili smo v sterilne posode, postavljene na tehnico. Po doseženi masi 100 g smo vzorce zapakirali, pri čemer smo vzorce ličink pokrili s pokrovom, ki je imel majhni luknji, in tako omogočali izmenjavo plinov. Vzorce smo po odvzemu hrаниli na temperaturi od 1 do 8 °C ter jih v laboratorij dostavili v najkrajšem možnem času (v 24 urah). Del svežega vzorca smo uporabili takoj za mikrobiološke preiskave, preostanek pa zamrznili na -20 °C za kemijske analize.

3.2.2 Merjenje fizikalnih parametrov ličink *H. illucens*

Pri vsakem vzorčenju ličink smo izbrali še 15 ličink in izvedli meritve njihovih fizikalnih značilnosti (dolžine, širine in mase). Tem ličinkam smo nato s pomočjo tehtnice in kljunastega merila izmerili dolžino in širino ter stehtali maso. S pomočjo digitalnega kljunastega merila smo izmerili dolžino in širino živih ličink. Ločljivost merilnika je bila 0,01 mm. Pri izvajanju meritev smo ličinke položili na mizo, da niso bile izpostavljene dodatnemu pritisku, ki bi lahko vplival na meritve. Za tehtanje smo uporabili certificirano tehtnico (Hyb-1000, Electronic balance) z ločljivostjo 0,01 g.

3.2.3 Kemijske analize

Vzorce substratov, frasa in ličink smo analizirali na osnovne skupine hraniilnih snovi (surove beljakovine, maščobe, vlaknina, pepel in vlaga), elemente (Na, Mg, P, K, Ca, Mn, Fe, Co, Cu, Zn, Cd, Pb, As in Se) in maščobne kisline.

Odtaljene vzorce smo čez noč sušili na 60 °C, jih nato zmleli in uporabili za nadaljnje analize. V vzorcih smo določali vsebnost vlage, surovih beljakovin, maščob, pepela in vlaknin z metodami, opisanimi v Uredbi Komisije (ES) št. 152/2009, Priloga III (43). Elemente smo določali z metodo indukcijsko sklopljene plazme z masno detekcijo (ICP-MS).

3.2.3.1 Določanje vlage

Tehtič smo stehtali skupaj s pokrovom natančno na 1 mg. V tehtič smo zatehtali 5 g vzorca, na 1 mg natančno in ga s pokrovom vred ponovno stehtali. Odprt tehtič z vzorcem smo postavili za 4 ure v sušilnik s temperaturo 103 ± 2 °C. Po končanem sušenju smo tehtič pokrili s

pokrovom in ga postavili v eksikator, da se je ohladil. Nato smo ga ponovno stehtali na 1 mg natančno. Iz dobljenih podatkov smo izračunali odstotek vlage v vzorcu.

3.2.3.2 Določanje surovih beljakovin

V razklopno epruveto smo natehtali od 0,1 g do 1,0 g vzorca na 1 mg natančno. Dodali smo dve Kjeldahlovi tablet in 25 ml koncentrirane H_2SO_4 ter vse premešali. Razklopne epruvete smo postavili v razklopni termoblok in jih segrevali do vrenja. Nadaljevali smo, dokler vzorci niso postali svetlozelene barve. Po spremembi barve smo jih pustili vreti še 2 uri. Ko so se ohladili, smo v vsako raztopino dodali 20 ml deionizirane vode. Razklopno epruveto smo nato vstavili v destilacijsko enoto Kjeldahlovega aparata. Destilacijo smo izvedli z dodajanjem 32 % NaOH. Nastale produkte smo lovili v vodno raztopino H_3BO_3 in mešanico titrirali z 0,1 M HCl. Po končani titraciji smo iz dobljenih podatkov izračunali procente surovih beljakovin v vzorcu.

3.2.3.3 Določanje surovih maščob

V 250 ml erlenmajerico smo natehtali 2,5 g zmletega vzorca na 1 mg natančno. Dolili smo 20 ml koncentrirane HCl in 80 ml deionizirane vode in raztopino segreli do vrenja. Nato smo dodali še 10 g diatomejske zemlje in vrelne steklene kroglice. Raztopino smo pustili vreti 1 uro. Po tem smo vzorce razredčili z nekaj vrele vode in še vroče filtrirali. Filtrni papir smo nato postavili v sušilnik za 1 uro, to je na temperaturo 100 ± 2 °C. Steklene lončke, v katere smo lovili maščobe, smo stehtali. Po sušenju smo filtrirni papir vložili v stekleni tulec in ekstrahirali v Soxhletovem aparatu. Po končani ekstrakciji smo steklene lončke ponovno stehtali. Iz dobljenih podatkov smo izračunali odstotek surovih maščob v vzorcu.

3.2.3.4 Določanje surovih vlaknin

V erlenmajerico smo natehtali 1 g vzorca na 1 mg natančno in dodali 150 ml 0,13 M H_2SO_4 . Mešanico smo postavili na grelno ploščo in pustili vreti 30 min. V filtrirni lonček smo natehtali 1 g diatomejske zemlje in skozenj filtrirali pripravljeno raztopino. Vsebino lončka smo nato trikrat sprali s 30 ml vrele vode. Ostanek vzorca smo stresli v erlenmajerico in prilili

150 ml KOH. Mešanico smo ponovno postavili na grelno ploščo in pustili vreti 30 min. Vzorec smo prefiltrirali in trikrat sprali s 30 ml vrele vode. Ostanek smo sprali s 25 ml acetona in filtrat prenesli v žarilni lonček. Vzorec smo čez noč posušili v sušilniku, to je pri 130 °C, do konstantne mase. Nato smo ga ohladili v eksikatorju in stehtali. Vzorec smo nato žgali 45 minut pri temperaturi 475-500 °C. Ohlajenega smo ponovno stehtali. Iz dobljenih podatkov smo izračunali odstotek surovih vlaknin v njem.

3.2.3.5 Določanje surovega pepela

Stehtali smo žarilni lonček. Vanj smo nato natehtali 5 g vzorca na 1 mg natančno. Postavili smo ga v žarilno peč in ga žgali pri temperaturi 550 °C, in sicer do nastanka svetlosivega pepela. Lonček smo ohladili v eksikatorju in hladnega stehtali. Iz dobljenih podatkov smo izračunali odstotek surovega pepela v vzorcu.

3.2.3.6 Določanje elementov

V teflonski lonček smo natehtali 0,25 g vzorca na 1 mg natančno. V lonček smo dodali 5,0 ml HNO₃ in 1,0 ml H₂O₂ in pustili stati eno uro. Lonček smo zaprli s pokrovčkom XP 1500 Plus in ga vstavili v visokotlačno posodo. Po dvanajst visokotlačnih posod z lončki smo postavili v mikrovalovni sistem in jih 20 minut segrevali na 200 °C. Ohlajene raztopine vzorcev smo iz lončkov kvantitativno prenesli v 100 ml merilne bučke in jih z deionizirano vodo dopolnili do oznake. Raztopine smo prefiltrirali in jih pred merjenjem primerno razredčili.

Za določanje vsebnosti elementov smo uporabili ICP masni spektrometer Varian 820-MS. Aparaturo smo pred vsako sekvenco optimizirali z delovno standardno raztopino VAR-TS-MS. Preverili smo stabilnost instrumenta, z optimizacijo smo zvišali odzive posameznih elementov in znižali interferenčne vplive iz poliatomskih ionov in dvojno nabitih ionov. Delovne standardne raztopine za pripravo umeritvenih krivulj smo pripravili z ustreznimi multielementnimi standardi (Merck, Darmstadt, Nemčija, in Inorganic Ventures, Lakewood, ZDA). Da bi se izognili znanim interferencam, smo izbrali naslednje izotope elementov: ²³Na, ²⁴Mg, ³¹P, ³⁹K, ⁴⁴Ca, ⁵⁵Mn, ⁵⁷Fe, ⁶⁰Co, ⁶³Cu, ⁶⁶Zn, ¹¹¹Cd, ²⁰⁶⁺⁷⁺⁸Pb, ⁷⁵As in ⁷⁸Se. Pri določanju As in Se smo za odpravo poliatomskih referenc uporabili CRI-modul z vodikom. Za korekcijo spektralnih

interferenc smo uporabili medelementne korekcijske algoritme, vnesene v procesirno metodo programa ICP-MS Expert.

3.2.3.7 Določanje maščobnih kislin

Za določanje maščobnih kislin smo uporabili maščobo, ki smo jo dobili po postopku, opisanem v Poglavlju 3.2.3.3. V 15 ml epruveto smo natehtali približno 100 mg maščobe. Dodali smo ji 2 ml heksana in 1 ml 2 M KOH v metanola. Vzorec smo mešali 30 sekund in ga dali za 5 min v vodno kopel s temperaturo 70 °C, da je potekla hidroliza maščob, ki ji je sledila tvorba metilnih estrov maščobnih kislin. Vzorec smo nato ohladili, dodali 1,2 ml 1 M HCl ter nežno premešali. Nato smo dodali še 1 ml heksana in ponovno nežno premešali. Počakali smo, da se faze ločijo. Zgornjo fazo smo odpipetirali v vialo za analizo s plinsko kromatografijo.

Metilne estra maščobnih kislin smo analizirali s pomočjo plinske kromatografije (GC) s plamensko ionizacijskim detektorjem (FID). Celoten čas analize je bil 35 minut.

Analizni podatki:

- Instrument: Agilent Technologies 6890 Plus Series
- Kolona: HP-88 100 m x 0,25 mm x 0,2 mm
- Temperatura injektorja: 250 °C
- Injektor: split, razmerje 50 : 1
- Nosilni plin: helij, 1,4 ml/min konstanten pretok
- Temperaturni program: iz 140 °C na 145 °C 8 °C/min, 4 °C/min 220 °C,
- 10 °C/min 240 °C
- Temperatura detektorja FID: 260 °C
- "Makeup" plin: dušik
- Plina detektorja: vodik in sintetični zrak
- Volumen vzorca: 1µl

Ker za enake koncentracije kislin v topilu ne dobimo enakih površin, moramo predhodno določiti faktorje odzivnosti detektorja (Rf) za posamezne metilne estre maščobnih kislin. Rf

smo določili s pomočjo kromatograma standardne raztopine mešanice 37 metilnih estrov maščobnih kislin (Supelco 37 FAME CRM47885).

$$R_f = \frac{m_i \times \sum A}{A_i \times \sum m}$$

m_i – masa posameznega estra maščobne kisline v standardni raztopini

$\sum m$ – vsota mas vseh 37 estrov maščobnih kislin v standardni raztopini

A_i – površina posameznega estra maščobne kisline

$\sum A$ – vsota površin vseh 37 estrov maščobnih kislin

Za preračun vsebnosti maščobnih kislin iz vsebnosti estrov maščobnih kislin smo uporabili še konverzijski faktor (FA):

$$FA_i = \frac{Mr_{MKi}}{Mr_{MEMKi}}$$

Mr_{MKi} – relativna molekulska masa i-te maščobne kisline

Mr_{MEMKi} – relativna molekulska masa metilnega estra i-te maščobne kisline

Utežni delež posamezne maščobne kisline (odstotek, ki ga predstavlja posamezna maščobna kislina glede na vse maščobne kisline, ki jih detektor zazna) v vzorcu smo določili na osnovi površin kromatograma, R_f in FA_i :

$$ut\%MK_i = \frac{Rf_i \times FA_i \times A_i}{\sum_{i=1}^n (Rf_i \times FA_i \times A_i)} \times 100$$

Iz podatkov o vsebnosti maščobe v vzorcu smo izračunali vsebnost maščobnih kislin v g/100 g vzorca.

Najvažnejše maščobne kisline, ki smo jih določali:

- C10:0 kaprinska kislina (dekanojska kislina),
- C12:0 lavrinska kislina (dodekanojska kislina),

- C14:0 miristinska kislina (tetradekanojska kislina,)
- C14:1 miristoleinska kislina ((Z)-9-tetradecenojska kislina),
- C15:0 pentadekanojska kislina,
- C16:0 palmitinska kislina (heksadekanojska kislina),
- C17:0 margarinska kislina (heptadekanojska kislina),
- C17:1 cis-10-heptadekanojska kislina,
- C18:0 stearinska kislina (oktadekanojska kislina),
- C18:2n6c linolna kislina ((Z,Z)-9,12-oktadekadienojska kislina),
- C20:0 arašidna kislina (eikozanojska kislina),
- C18:3n6 gama-linolenska kislina ((Z,Z,Z)-6,9,12-oktadekatrienojska kislina),
- C18:3n3 alfa-linolenska kislina ((Z,Z,Z)-9,12,15-oktadekatrienojska kislina,)
- sum C20:1n cis-11-eikozenojska in cis - 9-eikozenojska kislina
- C21:0 heneikozanojska kislina,
- C20:2 eikozadienojska kislina (cis-11,14-eikozadienojska kislina),
- C22:0 behenojska kislina (dokozanojska kislina),
- C20:4n6 adrenska kislina (cis-7,10,13,16-dokozatetraenojska kislina),
- C23:0 trikozanojska kislina,
- C22:5 eikozapentaenojska kislina (cis-5,8,11,14,17-eikozapentaenojska kislina),
- C22:6n3 dokozaheksanojska kislina, DHA (cis-4,7,10,13,16,19-dokozaheksanojska kislina).

3.2.4 Mikrobiološke analize

Vzorce ličink smo v ustrezni embalaži dostavili v mikrobiološki laboratorij Enote za varno hrano na Inštitutu za varno hrano, krmo in okolje na Veterinarski fakulteti Univerze v Ljubljani. Vsak vzorec je bil označen z zaporedno številko, ki ga je spremljala do konca preiskave.

Pred začetkom preiskav in odvzemom vzorca smo ličinke uspavalni v zamrzovalniku na -18 °C. Embalažo smo odpirali aseptično, tako da smo pred odprtjem obrisali rob s 70 % etanolom. S sterilnim priborom (kovinsko žlico) smo odvzeli zahtevano maso vzorca v sterilno PVC vrečko. Vsaka analiza je zahtevala drugačno maso vzorca (preiskava na *Salmonella* spp. 25 g, na *Enterobacteriaceae* ter *E. coli* pa 10 g).

3.2.4.1 Preiskava na bakterije vrste *Salmonella* spp.

Preiskavo smo izvajali skladno s standardom ISO 6579. 25 g vzorca ličink smo dodali 9-kratno količino neselektivnega obogatitvenega gojišča BPW (puferirana peptonska voda). Homogeniziran vzorec smo inkubirali od 16 do 20 ur pri $37^{\circ}\text{C} \pm 1^{\circ}\text{C}$. 0,1 ml homogenizirane suspenzije smo prenesli v selektivno obogatitveno gojišče RVS (bujon Rappaport-Vassiliadis s sojo; 10 ml) ter inkubirali 24 ur pri $42^{\circ}\text{C} \pm 1^{\circ}\text{C}$. 1 ml homogenizirane suspenzije pa smo prenesli v drugo selektivno obogatitveno gojišče MKTTn (Muller Kaufmann tetratrationatni bujon z novobiocinom; 10ml) ter inkubirali 24 ur pri $37^{\circ}\text{C} \pm 1^{\circ}\text{C}$.

Izolacija in potrditev

Po inkubaciji smo obogatitveno gojišče dobro premešali in suspenzijo s cepilno zanko precepili na dve selektivni gojišči: XLD (ksiloza lizin deoksiholatni agar) in Rambach agar. Plošče smo inkubirali 24 ur pri $37^{\circ}\text{C} \pm 1^{\circ}\text{C}$.

Sledila je determinacija sumljivih kolonij na osnovi masne spektrometrije z aparaturom MALDI-TOF (Matrix-Assisted Laser Desorption Ionization Time-of-Flight).

3.2.4.2 Preiskava na bakterije vrste *Enterobakteriaceae*

Preiskavo smo izvajali po postopku ISO 21528-2. Najprej smo pripravili osnovno raztopino, v katero smo 10 g vzorca ličink natehtali, dodali smo 9-kratno količino peptonsko slane raztopine ter vzorec homogenizirali. Nato smo iz primarne suspenzije naredili še decimalne razredčitve 10^{-2} , 10^{-3} , 10^{-4} , 10^{-5} in 10^{-6} . Iz primarne suspenzije smo odpipetirali 1ml in temu dodali 9 ml peptonsko slane raztopine. Tako smo dobili razredčitev 10^{-2} . Za nadaljnje razredčitve smo odpipetirali v prazne epruvete po 1ml suspenzije predhodne razredčitve in k vsaki dodali 9 ml peptonske slane raztopine, ki smo jo homogenizirali. Nato smo 1ml iz vsake razredčitve odpipetirali v prazne petrijevke in dodali 15 ml stopljenega, pri 45°C ohlajenega, gojišča VRBGA agar (vijolično rdeči žolčni agar z glukozo). Ko se je agar strdil, smo ga dodatno prelili s 5 ml gojišča, s čimer smo žeeli preprečiti difuzno rast kolonij. Plošče smo nato inkubirali 48 ur pri $37^{\circ}\text{C} \pm 1^{\circ}\text{C}$ s pokrovom obrnjenim navzdol. Po inkubaciji smo z bakteriološko zanko zrasle kulture prenesli na krvni agar (Blood agar base No2; Oxoid) in inkubirali 24 ur na 37°C .

± 1 °C. Sledila je determinacija kolonij na osnovi masne spektrometrije z aparaturom MALDI-TOF.

3.2.4.3 Ugotavljanje števila *E. coli*

Preiskavo smo izvajali po postopku ISO 16649-2. Najprej smo pripravili osnovno razredčitev po enakem postopku kot za preiskavo na enterobakterije. Prav tako smo na enak način pripravili še decimalne razredčitve 10^{-2} , 10^{-3} in 10^{-4} . Prazne petrijevke smo ustrezzo označili z datumom, zaporedno številko vzorca, razredčitvijo in imenom bakterije, katere vrsto smo preiskovali (*E. coli*). Z globinskim nasajanjem smo v vsako petrijevko odpipetirali po 1 ml ustrezne razredčitve. Prelili smo s stopljenim TBX agarjem, nežno premešali in počakali, da se je agar strdil. Tako pripravljene plošče smo inkubirali od 18 do 24 ur pri 44 °C. Sledilo je štetje kolonij, ki so bile značilno zeleno-modre barve in izračun rezultata.

3.2.5 Statistična analiza

Podatki so bili zbrani in urejeni v programu Microsoft Excel 365. Izračun osnovnih opisnih statistik ter statistična analiza sta bila narejena v programu R 3.6.2 (R Core Team, 2019). Pri vseh statističnih testih je bila za statistično značilnost uporabljena mejna p vrednost, to je nižja od 0,05.

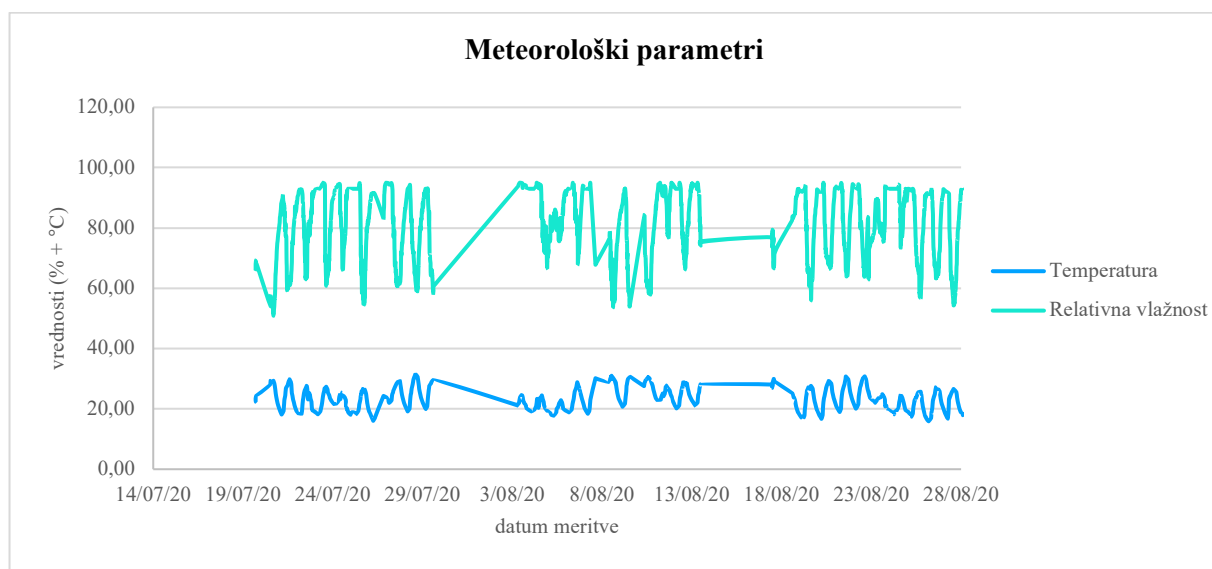
Razlike med parametri v ličinkah med skupinami na različnih substratih in za vsak čas meritve smo testirali z neparametričnim Kruskal-Wallisovim testom vsote rangov, saj podatki niso zadostili predpostavkam za uporabo parametričnih testov (podatki niso bili razporejeni normalno in/ali variance med skupinami niso bile enake). Razlike v vsebnosti Ca v ličinkah med skupino, ki ji je bil v substrat dodan Ca, smo testirali z parametričnim T-testom za neodvisne vzorce. Poleg tega smo izračunali korelacije med parametri v substratu in parametri v ličinkah. Korelacije so podane s Spearmanovim koeficientom korelacije, statistično značilnost pa smo določali glede na prilagojeno p vrednost, in sicer po Holmovi metodi. Interpretacija Spearmanovega koeficientom korelacije je naslednja: 0,00-0,19 – zelo nizka/šibka; 0,20-0,39 – nizka/šibka; 0,40-0,59 – srednja/zmerna; 0,60-0,70 - visoka/močna; 0,80-1,0 – zelo visoka/močna korelacija.

4 REZULTATI

Rezultati vseh opravljenih analiz substratov in ličink so prikazani v Prilogi 1.

4.1 METEOROLOŠKI PODATKI MED POSKUSOM

Najnižja izmerjena temperatura med poskusom je znašala $15,9\text{ }^{\circ}\text{C}$, najvišja pa $31,7\text{ }^{\circ}\text{C}$. Povprečna temperatura je bila tako $23,4\text{ }^{\circ}\text{C}$. Najnižja izmerjena relativna vlažnost je znašala 50,8 %, najvišja pa 95,0 %. Povprečna vlažnost je bila 82,9 % (Slika 17).



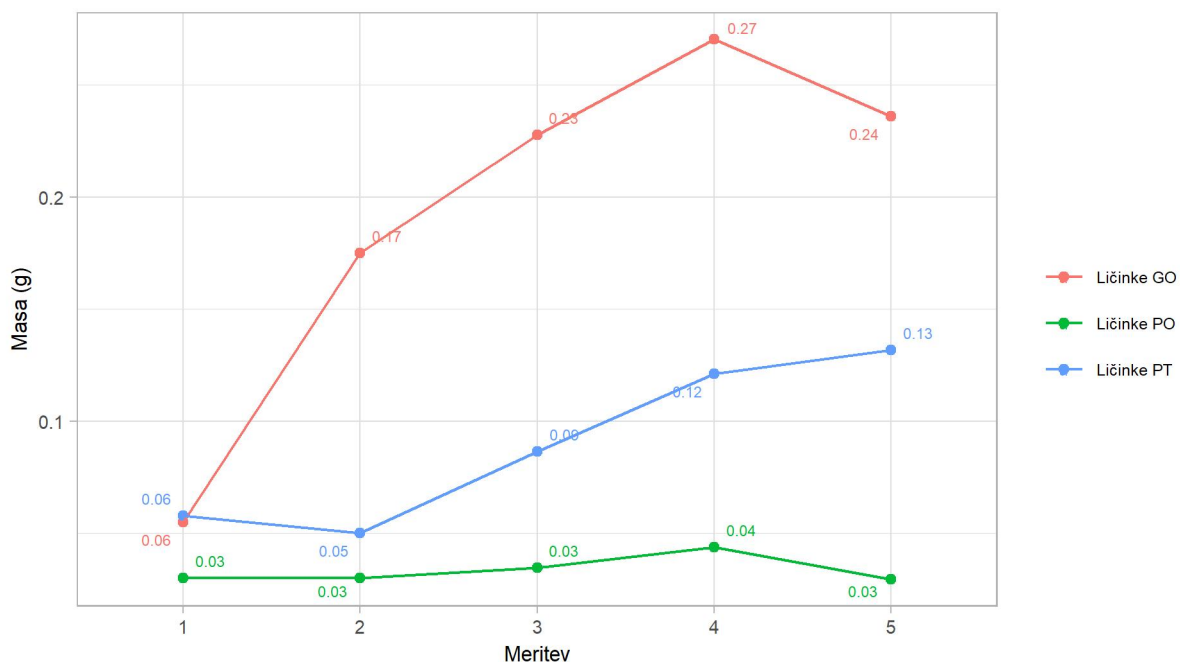
Slika 17: Meteorološki podatki med poskusom

V omari, kjer smo gojili ličinke ČBM, je bila povprečna temperatura zraka $23,4 \pm 3,8\text{ }^{\circ}\text{C}$ in povprečna relativna vlažnost $82,9 \pm 11,4\text{ }%$. V posameznem dnevu je temperatura zanihala za $10\text{ }^{\circ}\text{C}$, vlažnost pa za 30 %.

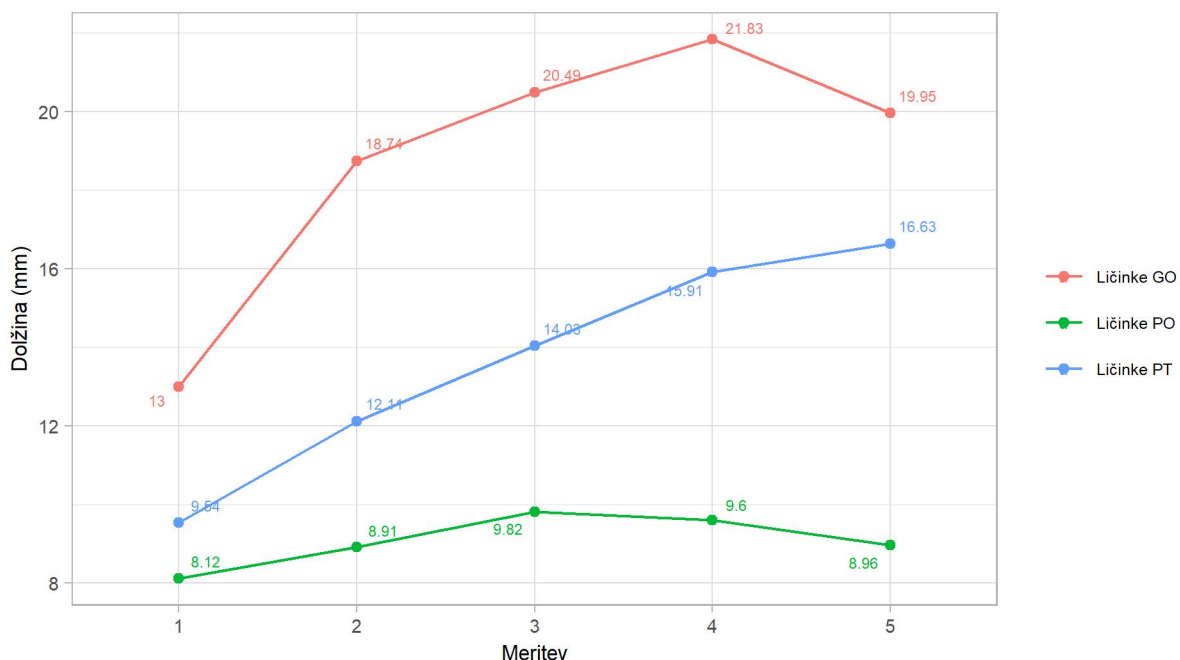
4.2 REZULTATI FIZIKALNIH PARAMETROV

Med poskusom so najbolj priraščale ličinke ČBM gojene na GO, najslabše pa ličinke, gojene na PO (Slike 18, 19 in 20). Ličinke ČBM, ki so rastle na GO in PO, so največjo maso dosegle pri 4. odvzemenu ($0,271 \pm 0,031\text{ g}$ in $0,036 \pm 0,010\text{ g}$), prav tako tudi največjo dolžino ($21,381 \pm$

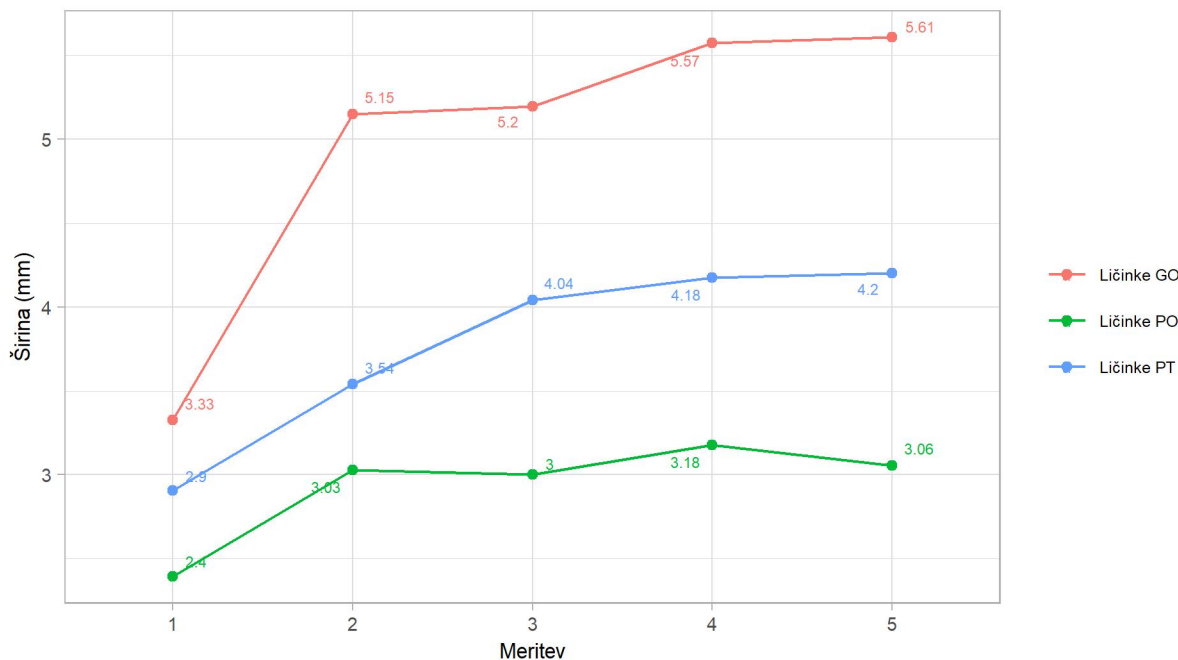
0,063 mm in $9,614 \pm 1,215$ mm). Ličinke, gojene na PT, so največjo maso, dolžino in širino dosegle pri 5. odvzemu ($0,137 \pm 0,041$ g, $16,631 \pm 1,593$ mm in $4,235 \pm 0,337$ mm).



Slika 18: Izmerjena masa ličink *H. illucens* (g) v poskusu (PO – pšenični otrobi, GO – gospodinjski odpadki, PT – pivske tropine)



Slika 19: Izmerjena dolžina ličink *H. illucens* (mm) v poskusu (PO – pšenični otrobi, GO – gospodinjski odpadki, PT – pivske tropine)



Slika 20: Izmerjena širina ličink *H. illucens* (mm) v poskusu (PO – pšenični otrobi, GO – gospodinjski odpadki, PT – pivske tropine)

Statistično značilne razlike v masi, dolžini in širini ličink, gojenih na različnih substratih, so se pojavile pri 3. odvzemu, in sicer med ličinkami, gojenimi na GO in PO ($p < 0,05$, Tabela 4).

4.3 REZULTATI KEMIJSKIH ANALIZ SUBSTRATOV IN LIČINK

4.3.1 Hranilne snovi v substratih, določenih za gojenje *H. illucens*

Substrati, določeni za gojenje ličink ČBM, so vsebovali različen delež vlage (Tabela 3). Največ vlage so vsebovale PT (82 %), najmanj pa PO (58,60 %). PT so vsebovale tudi največji delež SB (31,02 %), SM pa je bilo največ v GO (21,12 %). V vsebnosti elementov ni bilo bistvenih razlik, razen pri Mn in Zn, ki ju je bilo več v PO. Vsi substrati so vsebovali nizke koncentracije toksičnih elementov As, Pb in Cd.

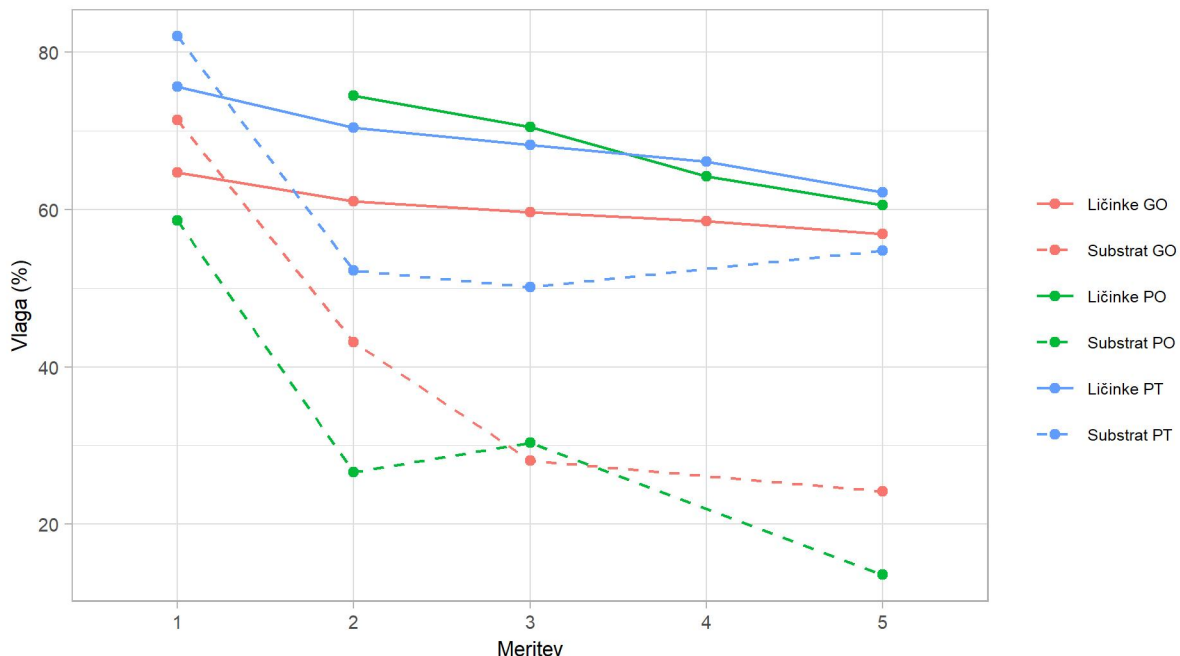
Tabela 3: Hraniilna sestava substratov v % na SS

parameter/vzorec	pšenični otrobi (PO)	gospodinjski odpadki (GO)	pivske tropine (PT)
vlaga	58,60	71,40	82,00
SB	18,43	29,21	31,02
SM	2,25	21,12	5,89
SV	16,01	10,73	9,40
pepel	7,54	6,98	4,88
B:OH	1:3	1:1	1:1,5
Na	0,01	0,91	0,02
Mg	0,66	0,13	0,21
P	1,53	0,36	0,70
K	1,60	0,92	0,14
Ca	0,14	0,93	0,27
Mn	146,83	9,92	31,65
Fe	171,24	170,03	119,53
Co	0,03	0,06	0,03
Cu	17,63	8,78	23,98
Zn	94,15	22,34	60,58
Cd	0,12	0,06	0,01
Pb	0,22	0,44	0,52
As	0,03	0,10	0,02
Se	0,18	0,27	0,16

Legenda: SB - surove beljakovine, SM – surove maščobe, SV – surove vlaknine, B:OH – razmerje beljakovine:ogljikovi hidrati

4.3.2 Vsebnost vlage v ličinkah in substratih

Vsebnost vlage v substratih in ličinkah ČBM prikazuje Slika 21.

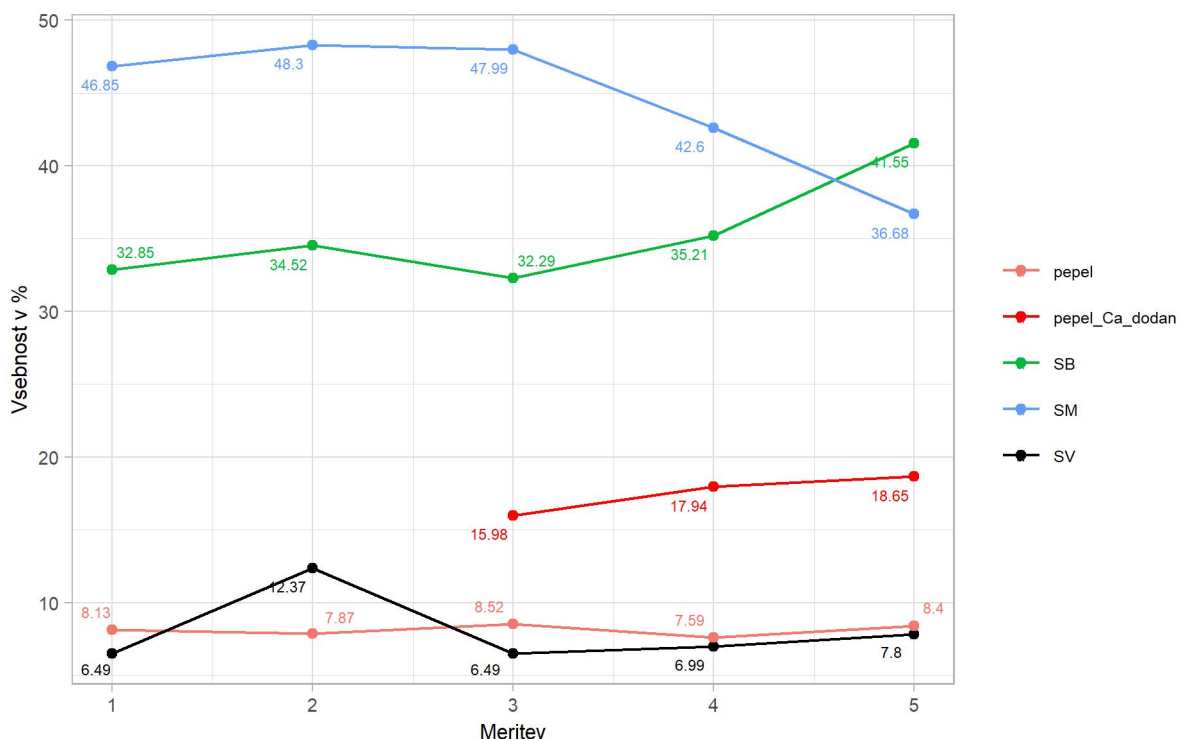


Slika 21: Vsebnost vlage v substratih in ličinkah *H. illucens* (PO – pšenični otrobi, GO – gospodinjski odpadki, PT – pivske tropine)

Statistično značilna razlika (Tabela 4) v vsebnosti vlage v ličinkah je bila pri 3. odvzemu ($p = 0,0183$) med ličinkami, gojenimi na GO ($60,25 \pm 1.06\%$) in PO ($73,00 \pm 1.83\%$).

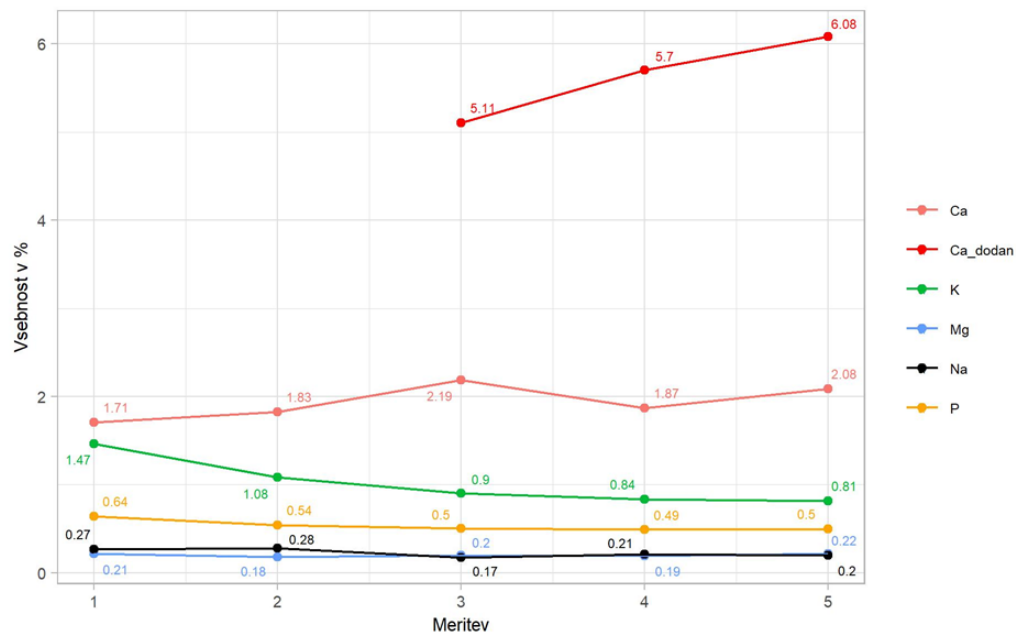
4.3.3 Vsebnosti hranilnih snovi v ličinkah, gojenih na gospodinjskih odpadkih

Vsebnost SB in SM (% na SS) je bila pri 3. odvzemu $32,29 \pm 1,07\%$ in $47,99 \pm 1,46\%$, pri 5. pa $41,55 \pm 0,07\%$ in $36,68 \pm 1,15\%$. Največ SM so ličinke torej vsebovale pri 3. odvzemu in najmanj pri 5., pri vsebnosti SB pa je bilo obratno – pri 3. odvzemu so ličinke vsebovale najmanj SB in pri 5. odvzemu največ. Delež pepela je bil pri ličinkah, ki smo jim v substrat dodali Ca, še enkrat večji (Slika 22).



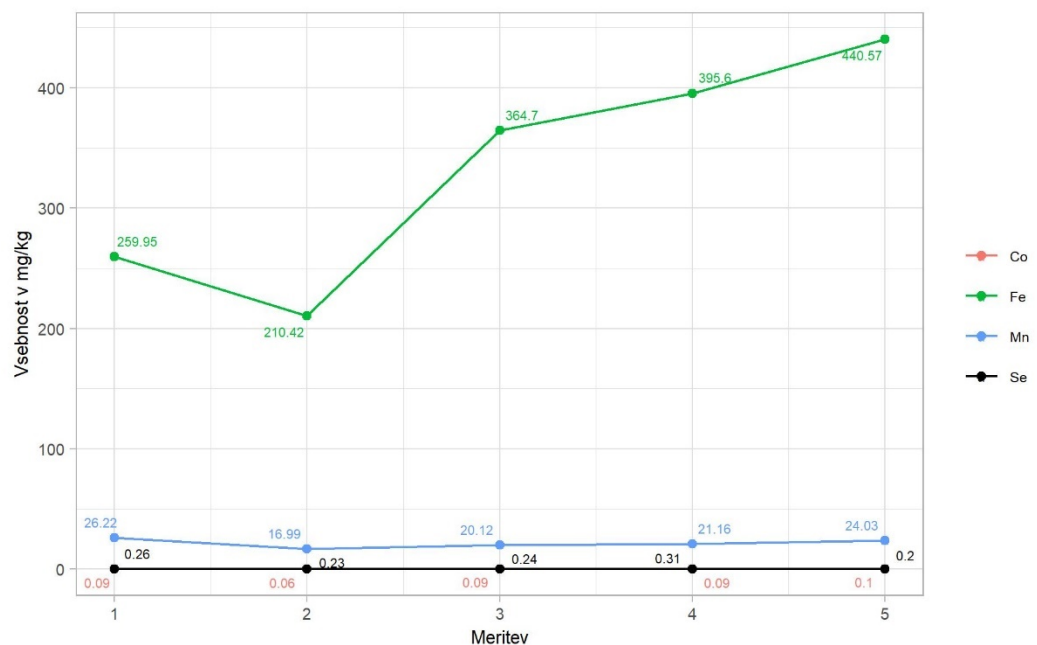
Slika 22: Vsebnost surovih beljakovin (SB), surovih maščob (SM), surovih vlaknin (SV) in pepela v ličinkah *H. illucens*, gojenih na gospodinjskih odpadkih, (%) na SS). Dodatna rdeča črta prikazuje delež pepela po dodatku Ca.

Vsebnosti P, Na in Mg se med poskusom niso bistveno spremajale. Vsebnost Ca se je močno povečala po dodatku. Na koncu poskusa je bila vsebnost Ca v ličinkah brez dodatka Ca $2,08 \pm 0,09\%$, z dodatkom Ca pa $6,08 \pm 0,27\%$. Vsebnost K se je zmanjševala od $1,47 \pm 1,08\%$ do $0,81 \pm 0,01\%$ (Slika 23).



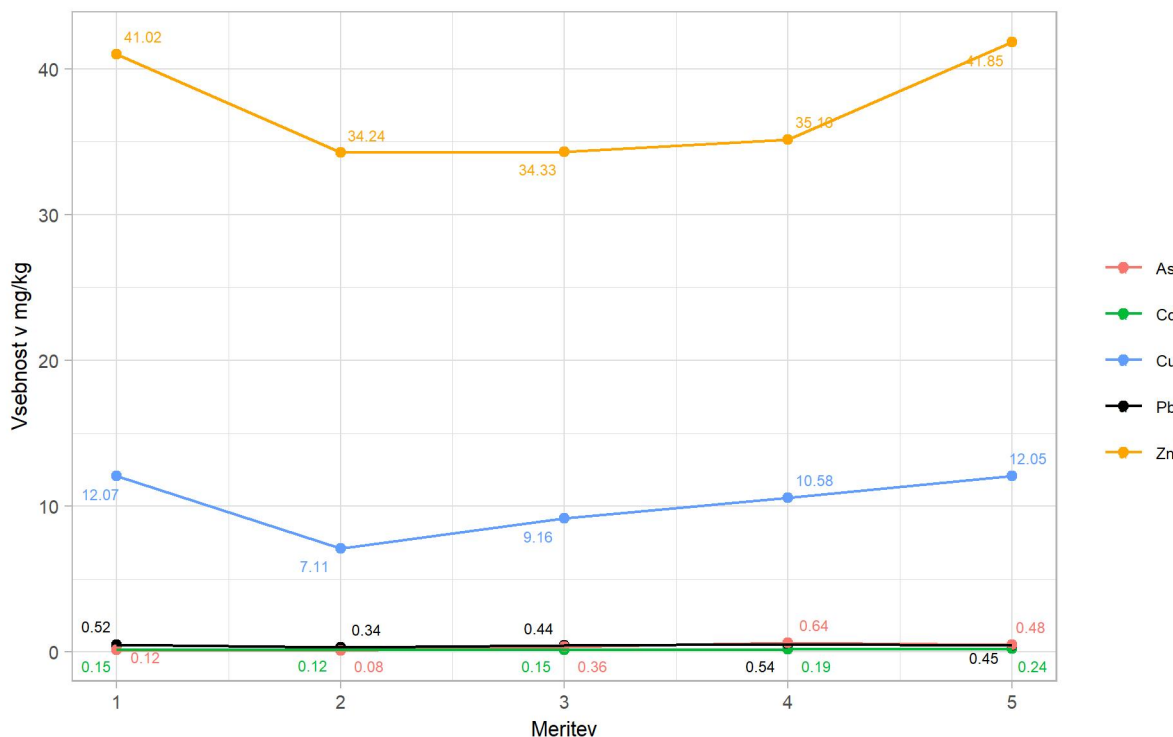
Slika 23: Vsebnost makroelementov (Ca, P, Na, K in Mg) v ličinkah *H. illucens*, gojenih na gospodinjskih odpadkih, (% na SS). Zgornja rdeča črta prikazuje vrednosti po dodajanju Ca v substrat.

V vzorcih ličink se je povečeval delež Fe (Slika 24).



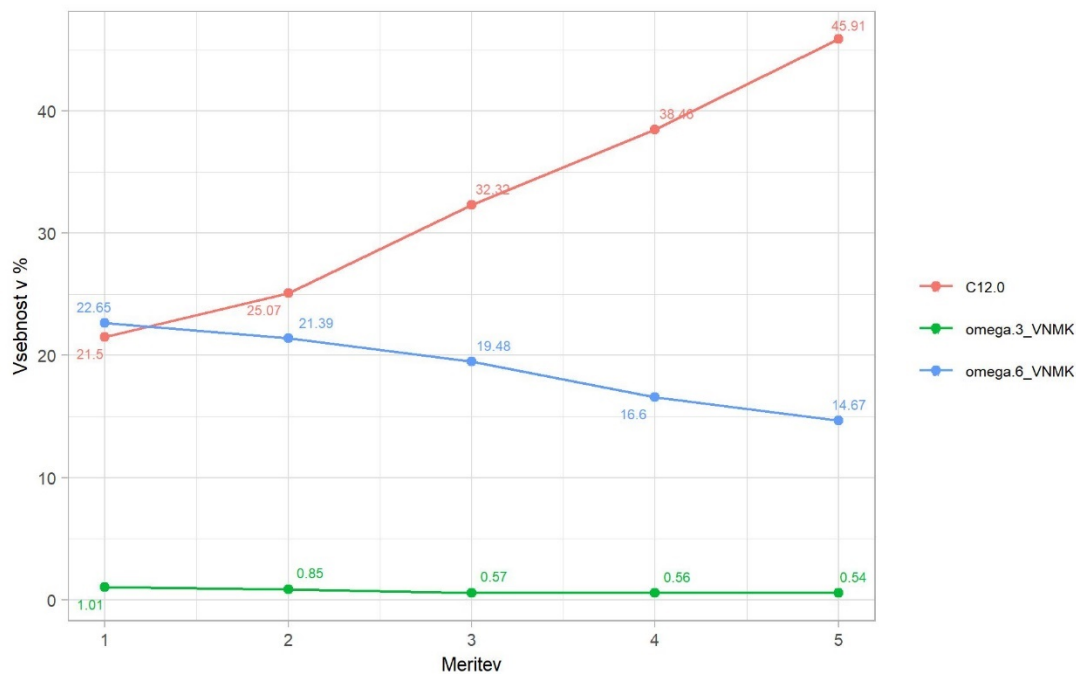
Slika 24: Vsebnost Co, Fe, Mn in Se v ličinkah, gojenih na gospodinjskih odpadkih, (% na SS)

Vsebnost Cu in Zn se je najprej zmanjšala, nato pa ponovno povečala na začetno vrednost (Slika 25).



Slika 25: Vsebnost As, Cd, Cu, Pb in Zn v ličinkah *H. illucens*, gojenih na gospodinjskih odpadkih, (% na SS)

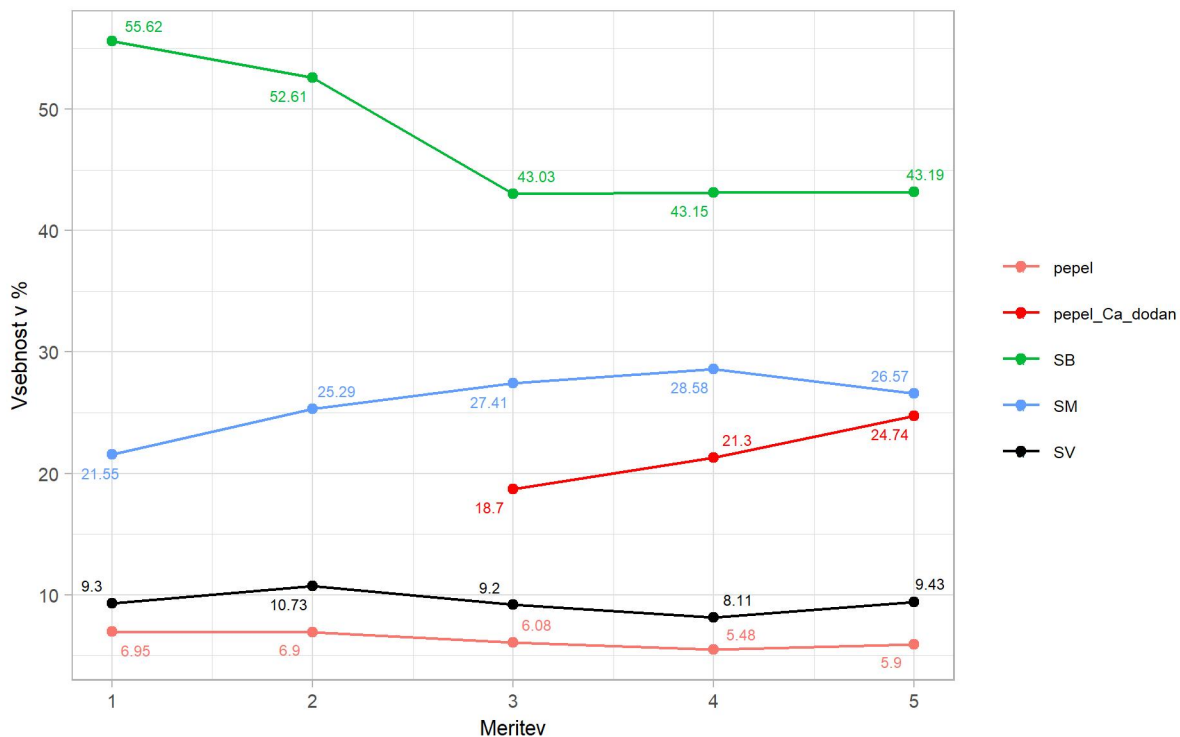
Delež omega 3 večkrat nenasičenih maščobnih kislin (VNMK) se med poskusom ni bistveno spremenjal, zmanjševal pa se je delež omega 6 VNMK. Vsebnost srednjeverižne maščobne kisline C12:0 (lavrinska kislina) se je ves čas povečevala. Na koncu poskusa je bil njen delež v SM $45,91 \pm 0,55\%$ (Slika 26).



Slika 26: Vsebnost omega 3 in omega 6 maščobnih kislin ter lavrinske kisline v ličinkah *H. illucens*, gojenih na gospodinjskih odpadkih, (% v SM)

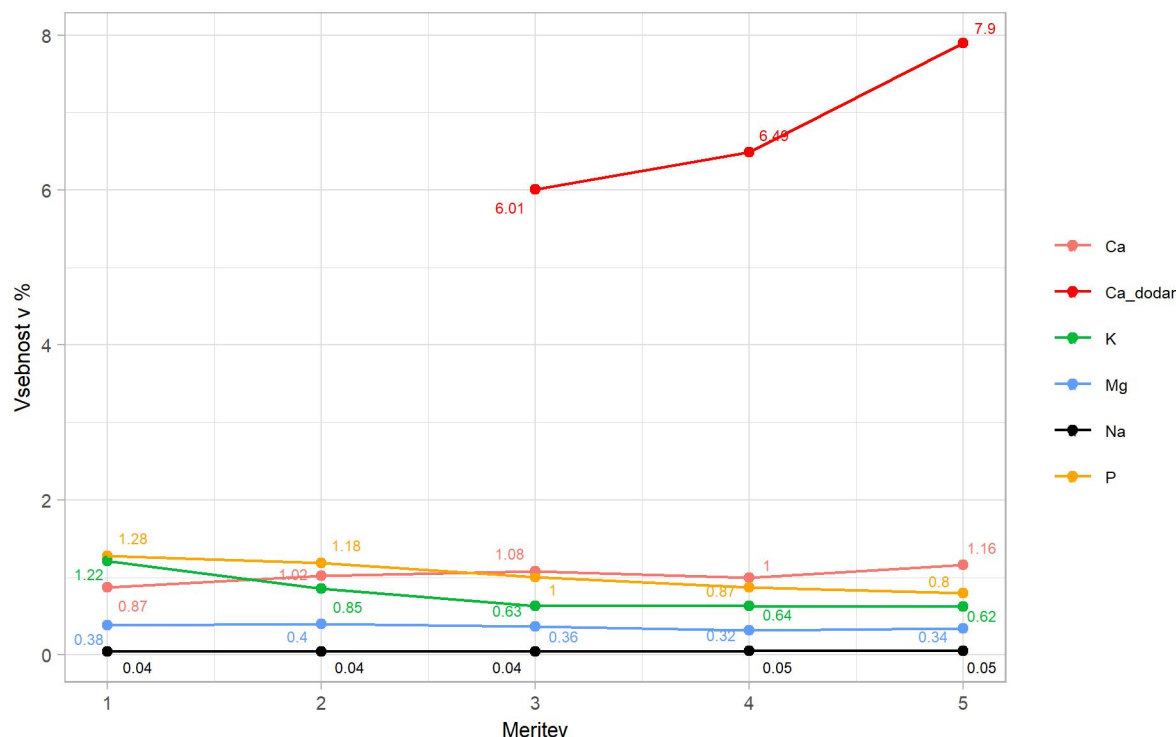
4.3.4 Vsebnosti hranilnih snovi v ličinkah, gojenih na pivskih tropinah

Ličinke, gojene na PT, so največ SB vsebovale na začetku poskusa ($55,62 \pm 1,45\%$), na koncu poskusa pa $43,19 \pm 0,51\%$ (Slika 27). Od 3. odvzema je bila vsebnost SB približno enaka. Vsebnost SM se med poskusom ni bistveno spremojala. Po dodatku Ca se je na koncu poskusa delež pepela povečal za štirikrat ($24,04 \pm 3,12\%$).



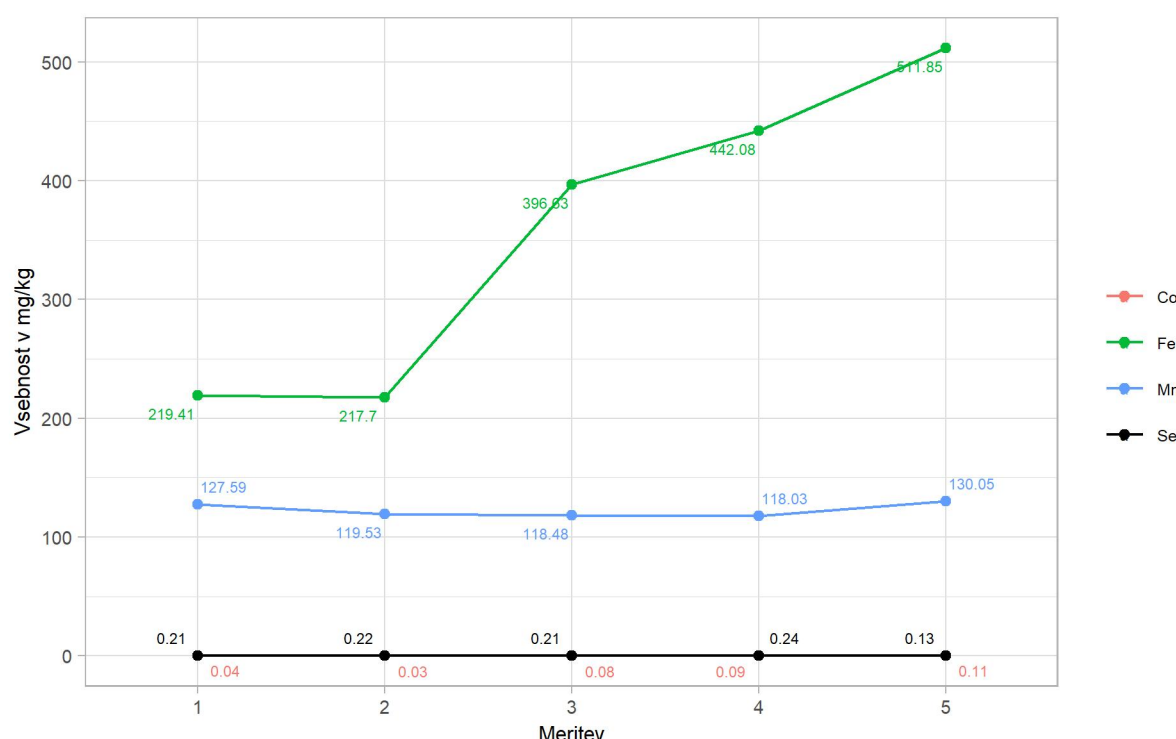
Slika 27: Vsebnost surovih beljakovin (SB), surovih maščob (SM), surovih vlaknin (SV) in pepela v ličinkah *H. illucens*, gojenih na pivskih tropinah, (% na SS). Dodatna rdeča črta prikazuje delež pepela po dodatku Ca.

Vsebnosti P, Na, Mg in K se med poskusom niso bistveno spremenjale. Vsebnost Ca se je močno povečala po dodatku. Na koncu poskusa je bila vsebnost Ca v ličinkah brez dodatka Ca 1, $16 \pm 0,02\%$, z dodatkom Ca pa $7,89 \pm 0,65\%$ (Slika 28).



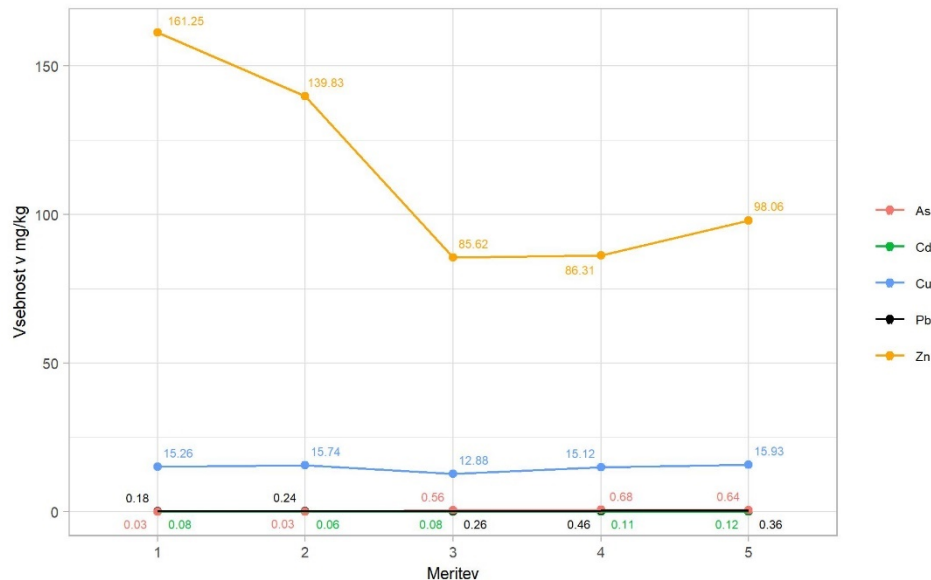
Slika 28: Vsebnost makroelementov (Ca, P, Na, K in Mg) v ličinkah *H. illucens*, gojenih na pivskih tropinah, (%) na SS). Zgornja rdeča črta prikazuje vrednosti pri dodajanju Ca v substrat.

V vzorcih ličink se je povečeval delež Fe (Slika 29).



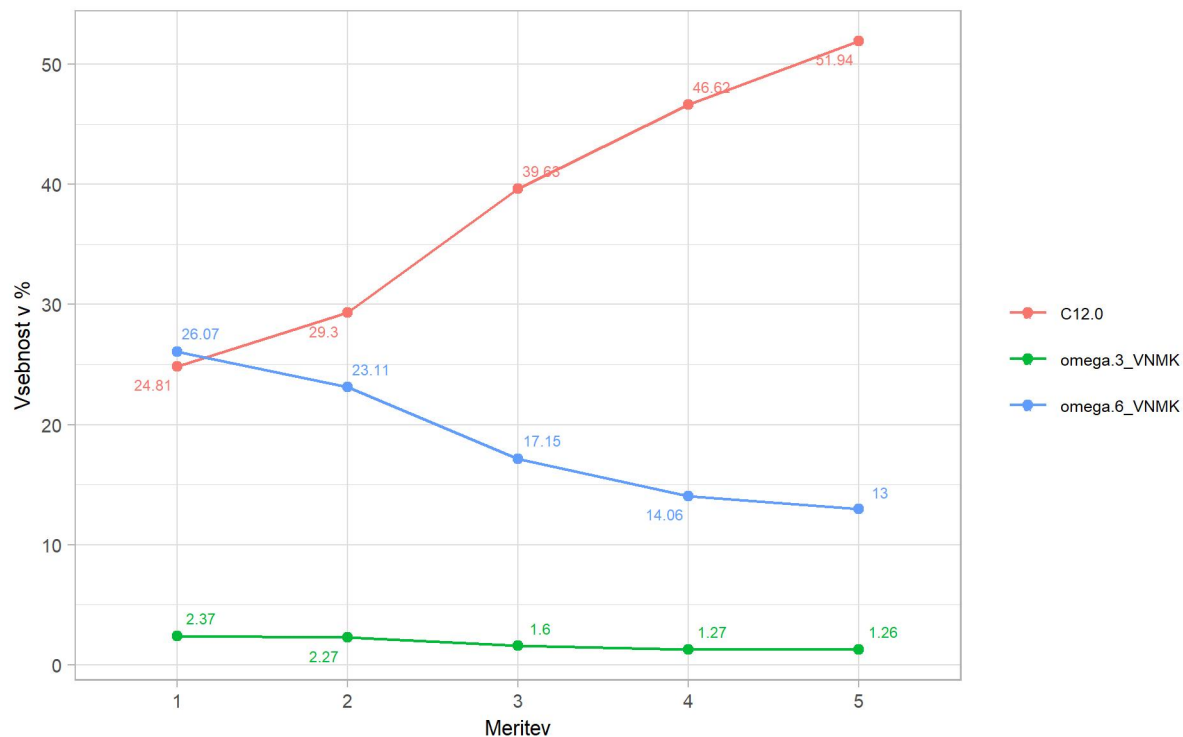
Slika 29: Vsebnost Co, Fe, Mn in Se v ličinkah *H. illucens*, gojenih na pivskih tropinah, (%) na SS)

Vsebnost As, Cd, Cu in Pb se med poskusom ni bistveno spremajala. Vsebnost Zn je bila največja na začetku poskusa, nato se je začela zmanjševati. Po 3. odvzemu je vsebnost začela rahlo naraščati do $98,06 \pm 6,41\%$ (Slika 30).



Slika 30: Vsebnost As, Cd, Cu, Pb in Zn v ličinkah *H. illucens*, gojenih na pivskih tropinah, (% na SS).

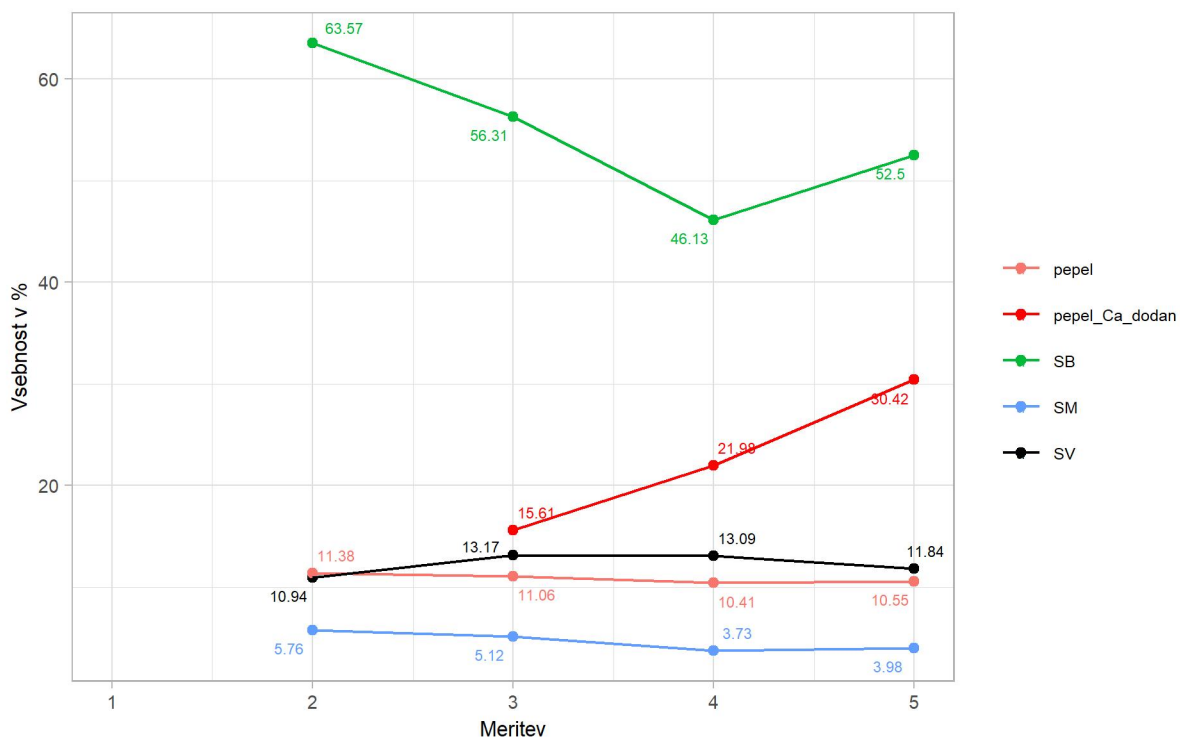
Delež omega 3 večkrat VNMK se je med poskusom počasi zmanjševal. Delež omega 6 VNMK se je od začetka do konca poskusa prepolovil. Vsebnost C12:0 (lavrinska kislina) se je ves čas povečevala. Na koncu poskusa je bil njen delež v SM $51,94 \pm 1,40\%$ (Slika 31).



Slika 31: Vsebnost omega 3 in omega 6 maščobnih kislin ter lavrinske kisline v ličinkah *H. illucens*, gojenih na pivskih tropinah, (% v SM)

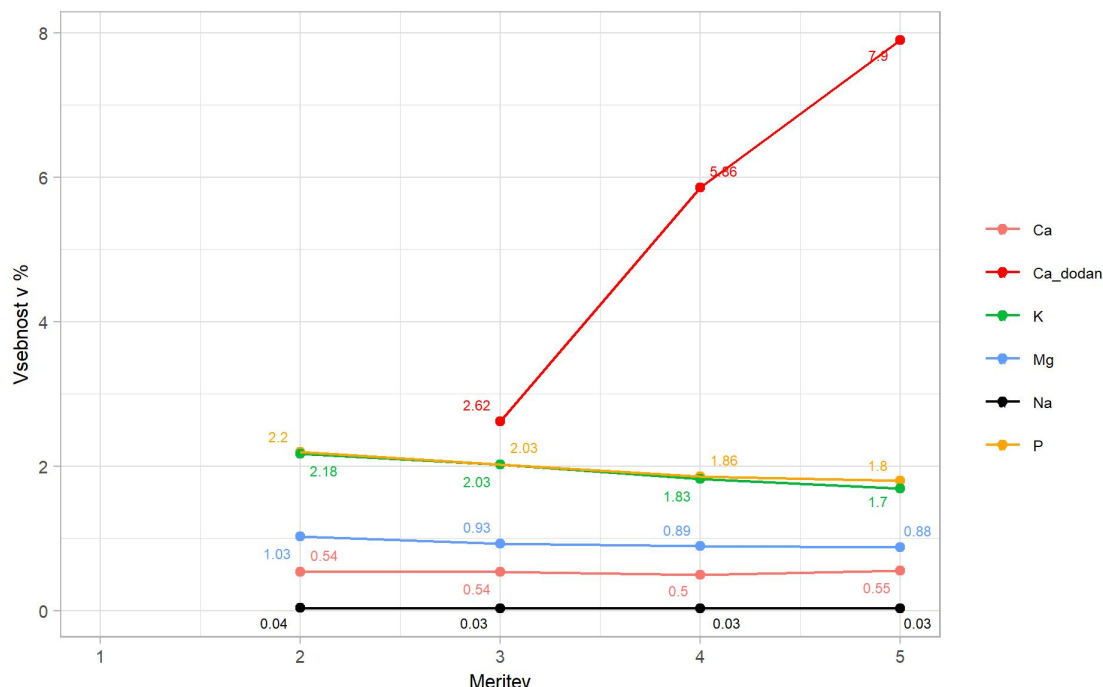
4.3.5 Vsebnosti hranilnih snovi v ličinkah, gojenih na pšeničnih otrobih

Ličinke so največ SB vsebovale pri 2. odvzemu, in sicer $63,57 \pm 2,67\%$, na koncu poskusa pa $52,5 \pm 1,80\%$. Vsebnost SM je bila zelo nizka, to je med $5,76 \pm 0,55\%$ in $3,98 \pm 0,43\%$. Po dodatku Ca se je vsebnost pepela povečala za trikrat (Slika 32).



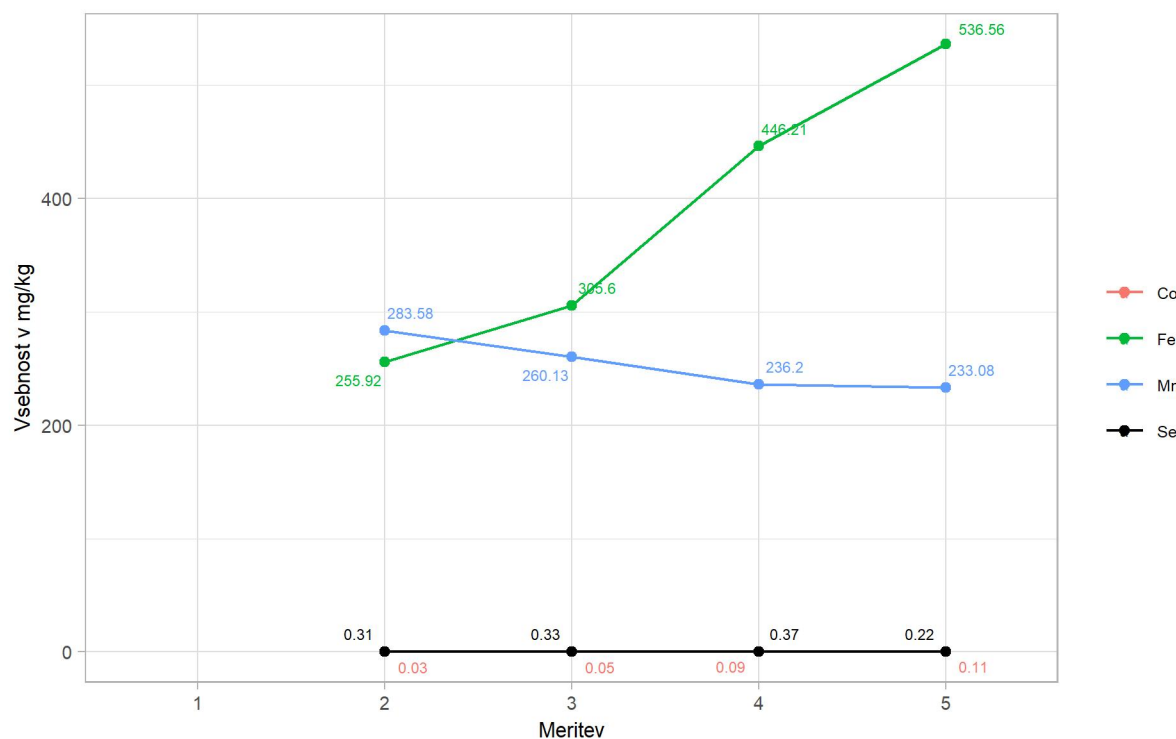
Slika 32: Vsebnost surovih beljakovin (SB), surovih maščob (SM), surovih vlaknin (SV) in pepela v ličinkah *H. illucens*, gojenih na pšeničnih otrobih, (%) na SS. Dodatna rdeča črta prikazuje vsebnost pepela po dodatku Ca.

Vsebnosti P in Na se med poskusom nista bistveno spremenjale. Vsebnost Ca se je močno povečala po dodatku. Na koncu poskusa je bila vsebnost Ca v ličinkah brez dodatka Ca 0, 55 ± 0,20 %, z dodatkom Ca pa 7,89 ± 0,65 %. Vsebnosti K in P sta se od začetka do konca poskusa rahlo zmanjševali (Slika 33).



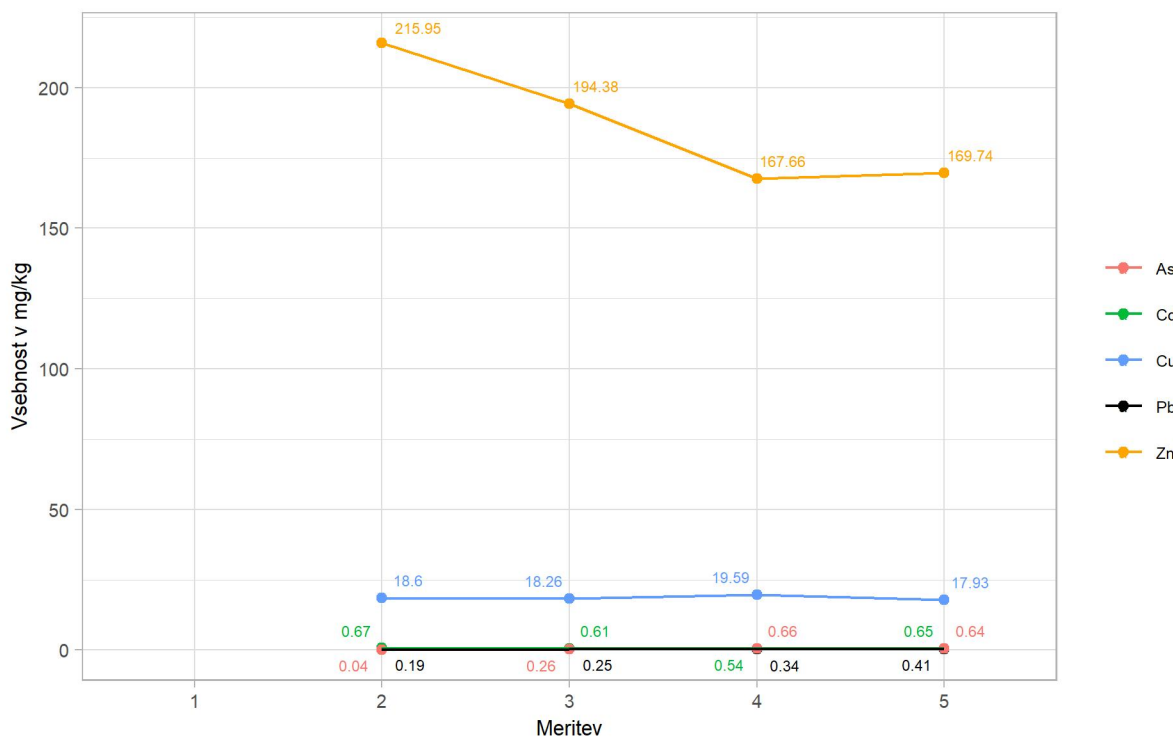
Slika 33: Vsebnost makroelementov (Ca, P, Na, K in Mg) v ličinkah *H. illucens*, gojenih na pšeničnih otrobih, (%) na SS). Zgornja rdeča črta prikazuje vrednosti po dodajanju Ca v substrat.

V vzorcih ličink se je povečeval delež Fe (Slika 34).



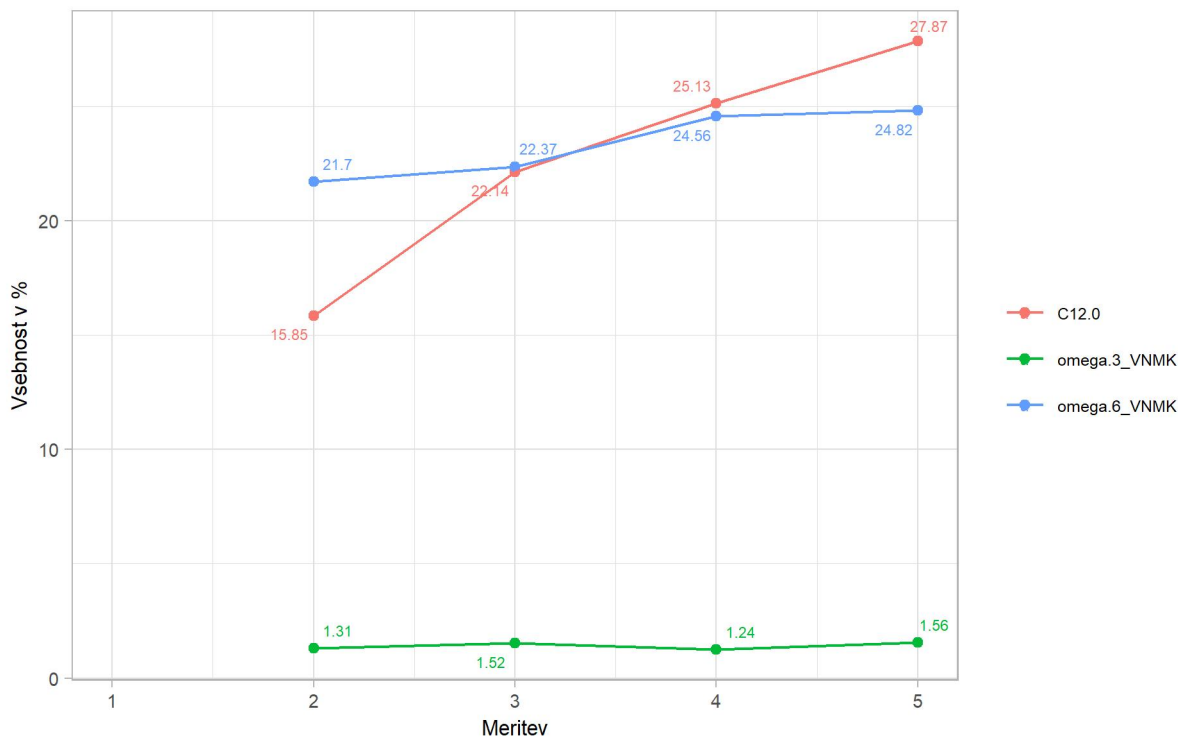
Slika 34: Vsebnost Co, Fe, Mn in Se v ličinkah *H. illucens*, gojenih na pšeničnih otrobih, (%) na SS).

Vsebnost Cu se ni spremenjala, vsebnost Zn pa je bila največja pri 2. odvzemu, do konca poskusa pa se je zmanjšala za približno 20 % (Slika 35).



Slika 35: Vsebnost As, Cd, Cu, Pb in Zn v ličinkah *H. illucens*, gojenih na pšeničnih otrobih, (% na SS)

Delež omega 3 VNMK se med poskusom ni bistveno spremenjal. Delež omega 6 VNMK se je rahlo povečeval. Vsebnost C12:0 (lavrinska kislina) se je ves čas povečevala. Na koncu poskusa je bil njen delež v SM $27,87 \pm 2,57\%$ (Slika 36).



Slika 36: Vsebnost omega 3 in omega 6 maščobnih kislin ter lavrinske kisline v ličinkah *H. illucens*, gojenih na sjeničnih otrobih, (% v SM).

4.4 RAZLIKE MED PREISKOVANIMI PARAMETRI

V Tabeli 4 so prikazane statistično značilne razlike med posameznimi odvzemi ličink. Te so se začele pojavljati pri 3. odvzemu (24. dan poskusa). Največ razlik v fizikalnih in kemijskih parametrih je bilo med ličinkami, gojenimi na GO in PO; med PT in PO pa samo v vsebnosti K, Cd, Se ter v vsebnosti maščobnih kislin (C10:0, C12:0, neznana C14:0, C16:0, C18:2n6c, neznane C22:0, NMK, VNMK in omega 3 VNMK).

Ličinke ČBM, gojene na GO in PO, so se začele pri 3. odvzemu razlikovati v vsebnosti vlage, SB, SM in SV. Na koncu poskusa je razlika ostala pri vseh naštetih parametrih, razen pri vsebnosti vlage. V ličinkah so se razlikovale tudi ugotovljene vsebnosti Na, Mg, P, Mn, Cu in Zn.

V vsebnostih maščobnih kislin je bilo največ razlik pri 3. odvzemu, na koncu poskusa pa se vsebnosti maščobnih kislin med posameznimi skupinami niso razlikovale.

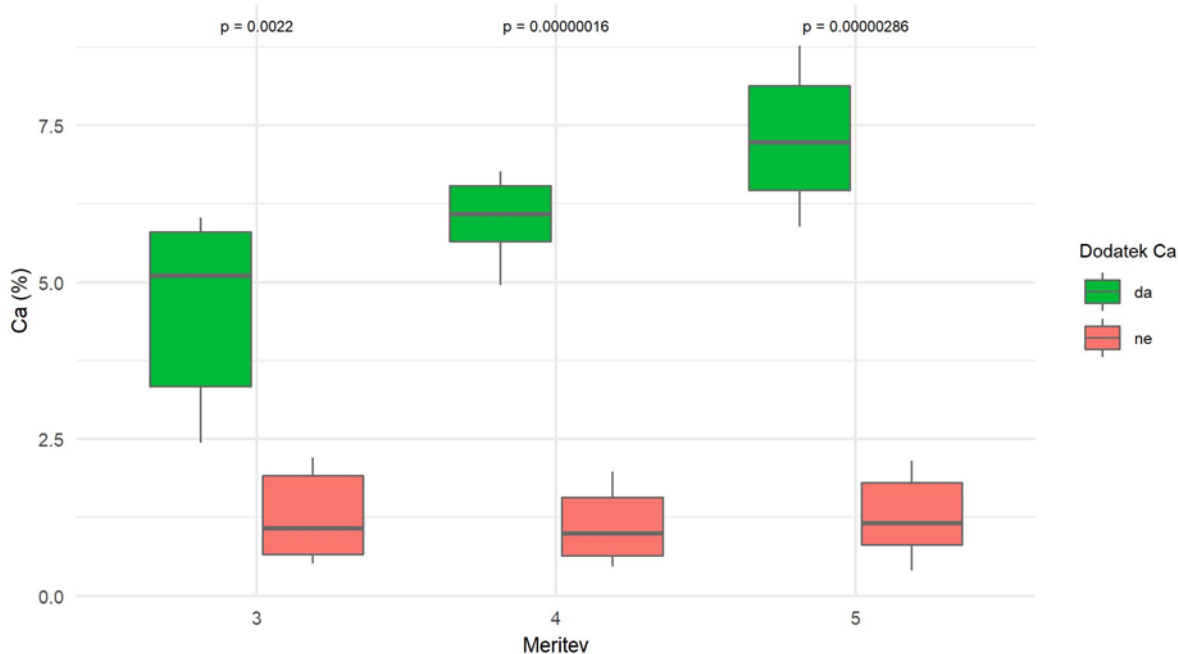
Tabela 4: Prikaz statistično značilnih razlik v fizikalnih lastnostih in kemijskih analizah ličink *H. illucens*, gojenih na treh različnih substratih

čas	1		2		3		4		5	
	p	razlika med	p	razlika med	p	razlika med	p	razlika med	p	razlika med
vлага					0,0183	GO-PO				
SB					0,0097	GO-PO			0,0308	GO-PO
SM					0,0073	GO-PO	0,0073	GO-PO	0,0097	GO-PO
SV					0,0073	GO-PO	0,0154	GO-PO	0,0308	GO-PO
pepel										
Na					0,0097	GO-PO	0,0097	GO-PO	0,0073	GO-PO
Mg					0,0073	GO-PO	0,0073	GO-PO	0,0073	GO-PO
P					0,0073	GO-PO	0,0073	GO-PO	0,0073	GO-PO
K					0,0073	PO-PT	0,0073	PO-PT	0,0073	PO-PT
Ca										
Mn					0,0073	GO-PO	0,0073	GO-PO	0,0073	GO-PO
Fe										
Co										
Cu					0,0097	GO-PO	0,0073	GO-PO	0,0183	GO-PO
Zn					0,0073	GO-PO	0,0073	GO-PO	0,0073	GO-PO
Cd					0,0073	PO-PT	0,0073	PO-PT	0,0073	PO-PT
Pb										
As										
Se					0,0154	PO-PT	0,0488	PO-PT	0,0210	PO-PT
dolzina					0,0073	GO-PO	0,0073	GO-PO	0,0073	GO-PO
sirina					0,0073	GO-PO	0,0073	GO-PO	0,0073	GO-PO
masa					0,0072	GO-PO	0,0073	GO-PO	0,0072	GO-PO
C10.0					0,0116	PO-PT	0,0439	PO-PT		
unC10.12										
C12.0					0,0116	PO-PT	0,0439	PO-PT		
C14.0					0,0116	GO-PT				
unC14					0,0107	PO-PT				
C14.1										
C15.0										
C16.0					0,0164	PO-PT	0,0439	PO-PT		
sumC16.1					0,0198	GO-PO				
C17.0										
C17.1										
C18.0					0,0156	GO-PO				
sumC18.1					0,0116	GO-PT				
C18.2n6c					0,0116	PO-PT	0,0439	PO-PT		
C20.0										
C18.3n6										
C18.3n3					0,0238	GO-PT				
sumC20.1n11_n9										
C21.0										
C20.2										
C22.0										
C20.4n6										
C23.0										
C22.5										
C22.6n3										
unknown										
sum_unknown					0,0107	PO-PT				
NMK					0,0164	PO-PT	0,0439	PO-PT		
ENMK										
VNMK					0,0156	PO-PT				
omega.3 VNMK					0,0238	GO-PT				
omega.6 VNMK					0,0116	PO-PT	0,0439	PO-PT		

Legenda: p – statistična značilnost; GO - gospodinjski odpadki, PT - pivske tropine, PO - pšenični otrobi, NMK – nasičene maščobne kisline, ENMK – enkrat nenasicičene maščobne kisline, VNMK – večkrat nenasicičene maščobne kisline

Ko smo v substrat zamešali Ca, je bila razlika med vsebnostjo Ca v ličinkah brez dodatka in v ličinkah z dodatkom Ca statistično značilna od 3. ($p = 0,0022$) do 5. odvzema ($p < 0,0001$) (Slika 37).

Največja vsebnost Ca je bila v ličinkah ČBM, gojenih na PT in PO, skoraj 8 % v SS (Sliki 28 in 33).



Slika 37: Razlika v vsebnosti Ca v ličinkah *H.illucens* po dodatku Ca (zeleno).

4.5 KORELACIJE MED PARAMETRI V SUBSTRATU IN LIČINKAH *H. ILLUCENS*

Izračuni korelacij so v Prilogi 2.

Visoko korelacijo, ki je močno statistično značilna, smo ugotovili med vsebnostjo pepela v substratu in ličinkah ($r = 0,7432$, $p = 0,0006$) ter vsebnostjo SM ($r = 0,6652$, $p = 0,0086$).

Pri elementih smo ugotovili zelo močno korelacijo med vsebnostjo As v substratu in ličinkah ($r = 0,8300$, $p < 0,001$), Mg ($r = 0,8820$, $p < 0,001$), Mn ($r = 0,8666$, $p < 0,001$), Zn ($r = 0,8499$, $p < 0,001$), Ca ($r = 0,8779$, $p < 0,001$) in Cd ($r = 0,8793$, $p < 0,001$). Močno korelacijo smo

ugotovili za Fe ($r = 0,7308$, $p = 0,0033$), K ($r = 0,7548$, $p = 0,0013$), P ($r = 0,7014$; $p = 0,0094$) in Co ($r = 0,7016$, $p = 0,0196$).

Zelo močna korelacija je bila ugotovljena še med vsebnostjo As in Ca v ličinkah ($r = 0,8933$, $p < 0,001$), As in Co ($r = 0,9171$, $p < 0,001$), As in Fe ($r = 0,8981$, $p < 0,001$), Ca in Co ($r = 0,8600$, $p < 0,001$), Co in Fe ($r = 0,8808$, $p < 0,001$), Cu in Mg ($r = 0,8188$, $p = 0,0001$), Cu in Mn ($r = 0,8626$, $p < 0,001$) ter Cu in Zn ($r = 0,8619$, $p < 0,001$).

Močno korelacijo smo ugotovili še med vsebnostjo C 18:0 v substratu in ličinkah, ki je bila tudi statistično značilna ($r = 0,800$; $p = 0,0281$).

4.6 REZULTATI MIKROBIOLOŠKIH PREISKAV

Podrobni rezultati mikrobioloških preiskav so v Prilogi 3.

4.6.1 Preiskava na *Salmonella* spp.

Na prisotnost *Salmonella* spp. smo preiskovali ličinke in vzorce vseh treh substratov, na katerih smo vzrejali ličinke. Bakterij nismo našli v nobenem vzorcu.

4.6.2 Ugotavljanje števila enterobakterij

Preiskavo na ugotavljanje števila enterobakterij smo izvajali na ličinkah in na vzorcih posameznih substratov. Izjemoma preiskave nismo opravili na substratih pri zadnjem vzorčenju, saj nas je takrat bolj zanimalo število bakterij *E. coli*.

V PO smo enterobakterije odkrili že v izvorni embalaži, iz katere smo hrаниli ličinke med rejo. Tudi pri naslednjih vzorčenjih smo vedno ugotovili enterobakterije. Z MALDI-TOF detekcijo smo odkrili sledeče vrste bakterij: *Acinetobacter baumannii*, *Cronobacter sp.*, *Klebisella pneumoniae* in *Klebsiella variicola*.

Pri ličinkah, gojenih na PO, smo pri vsakem vzorčenju ugotovili enterobakterije. Z MALDI-TOF detekcijo smo odkrili naslednje vrste bakterij: *Enetrobacter xiangfangensis*, *Klebsiella aerogenes*, *Klebsiella pneumoniae*, *Klebsiella variicola* in *Serratia marcescens*. Ko smo delili ličinke in eni polovici dodajali Ca, te niso dovolj hitro rastle, zato nismo imeli dovolj velikega vzorca za nadaljnjo preiskavo na enterobakterije.

V GO smo odkrili enterobakterije že v začetnem substratu, s katerim smo hranili ličinke med poskusom. Tudi pri naslednjih vzorčenjih smo vedno našli enterobakterije. Z MALDI-TOF detekcijo smo odkrili v substratu naslednji vrsti bakterij: *Citrobacter amalonaticus* in *Proteus mirabilis*.

Pri ličinkah, gojenih na GO, smo pri vsakem vzorčenju našli enterobakterije (*Proteus mirabilis* in *Providencia rettgeri*).

Tudi v PT smo našli enterobakterije že v začetnem substratu in tudi pri vseh naslednjih vzorčenjih. Z MALDI-TOF detekcijo smo odkrili te vrste bakterij: *Cronobacter sp.*, *Enetrobacter cloacae*, *Enetrobacter bugandensis*, *Enetrobacter asburiae*, *Klebsiella pneumoniae* in *Klebsiella variicola*.

Pri ličinkah, gojenih na PT, smo našli z MALDI-TOF determinirane vrste bakterij: *Alcaligenes faecalis*, *Citobacter amalonaticus*, *Klebsiella oxytoca*, *Klebsiella pneumoniae*, *Morganella morganii*, *Providencia rettgeri* in *Providencia stuartii*.

4.6.3 Preiskava na število bakterij *E. coli*

Število bakterij *E. coli* smo ugotavljali samo pri zadnjem vzorčenju v vseh treh substratih (PO, GO, PT), to je v posodah z dodanim Ca in v posodah brez dodatka. *E. coli* smo ugotovili v vseh vzorcih.

V substratih PO in PT smo v primerjavi z GO ugotovili precej višje vrednosti *E. coli*. V PO smo našli najnižjo vsebnost, to je 770.000 cfu/g, in najvišjo, to je 1.100.000 cfu/g. V PT je bila najnižja vsebnost 190.000 cfu/g, najvišja pa je presegala mejo detekcije in je bila > 1.500.000 cfu/g. V GO je bilo število bakterij pod mejo detekcije (< 100 cfu/g).

5 RAZPRAVA

V naši raziskavi smo ličinke ČBM gojili v naravnih klimatskih razmerah v poletnem času na treh različnih substratih: GO, PT in PO. Rezultati raziskave, trajajoče 34 dni, so pokazali, da je takšna reja mogiča v poletnem času tudi v Sloveniji. Ličinke ČBM, gojene na GO in PT, so dosegle povprečno maso 0,078–0,220 g, objavljeno v drugih raziskavah (Nyakeri in sod., 2017; Shumo in sod., 2019). Ličinke ČBM, gojene na PO, pa kljub dobri vsebnosti SB in mineralov niso dovolj priraščale in niso dosegle povprečne mase ($0,036 \pm 0,010$ g). Med poskusom so bila zabeležena temperaturna nihanja do 10 °C, vlažnost pa se je spremajala za 30 %. V nadaljnjih raziskavah bi bilo smiselno dodati skupino, ki bi jo imeli v kontroliranih pogojih, in sicer za primerjavo rezultatov. Po podatkih iz literature ličinke ČBM v okolju, kjer ostaja podnebje skozi vse leto približno podobno, rastejo hitro, njihova reja pa zahteva le malo časa in dela (Wang in Shelomi, 2017). Poletne klimatske razmere v Sloveniji bi lahko bile primerne za rejo ličink ČBM. Takšne razmere sicer niso optimalne za rejo, vendar pa je ta bolj trajnostna. Ker za rejo ličink ČBM ne potrebujemo veliko prostora, bi bilo v nadaljevanju smiselno proučiti dodatne ukrepe, s katerimi bi tudi pozimi ohranjali ustrezne klimatske razmere (zapiranje stranic ipd.). Povprečna zunanja dnevna temperatura med poskusom in v omari, v kateri smo gojili ličinke ČBM, je bila 23,4 °C, vлага pa 82,9 %. Ličinke se najboljše razvijajo pri temperaturi 30 °C (Wang in Shelomi, 2017) in optimalni vlagi v substratu med 60 % in 70 % (Nyakeri in sod., 2017, Spranghers in sod., 2017, Wang in Shelomi, 2017). Vsebnost vlage v substratu je bila na začetku poskusa 58,6 % v PO, 71,4 % v GO in 82 % v PT. V bodoče bi morali substrate dodatno navlažiti ali osušiti, da bi dosegali vrednosti med 60 % in 70 %. Najnižja vsebnost vlage je bila na koncu poskusa v PO (manj kot 10 %), kjer smo hkrati opazili tudi najslabšo rast ličink ČBM. Zagotavljanje temperature v razponu med 27 °C in 32 °C pa je pomembna tudi z mikrobiološkega vidika, saj antimikrobni peptidi v črevesju ličink takrat najbolj učinkovito inaktivirajo bakterije *E. coli* O157:H7 in *Salmonella enteritidis* (Erickson in sod., 2004). V našem podnebnem pasu je največja težava padec temperature ponoči, ki je v tem času lahko tudi okoli 15 °C. Vseeno pa bi bilo v prihodnje smiselno poskus ponoviti in se usmeriti v raziskovanje različnih temperaturnih režimov in njihov vpliv na rast ličink kot tudi inaktivacijo patogenih mikroorganizmov.

Nekateri avtorji zagovarjajo (Wang in Shelomi, 2017), da je za uspešno rejo ličink potreben dobro optimiziran sistem. Poleg optimalne temperature je potrebno poznati tudi razmerje med

količino dnevno dodanega substrata in najbolj uspešno rastjo ličink. Dodajanje substrata v prevelikih količinah lahko upočasni razvoj ličink ČBM (Wang in Shelomi, 2017). Te bodo sicer na videz težje, saj bodo za rast porabile več časa, vendar pa bodo predelale manjšo količino dodanega substrata. V našem poskusu smo količino substrata dodajali glede na njegovo porabljeno in na rast ličink. Na GO so ličinke najbolje priraščale in tako tudi najbolj uspešno pretvarjale substrat. Največjo maso so dosegle že pri 4. vzorčenju (0,271 g), ki pa se je do 5. vzorčenja zmanjšala na 0,24 g. Podobno se je zgodilo z ličinkami, gojenimi na PO, ki so največjo maso prav tako dosegle že pri 4. vzorčenju (0,036 g). Ličinke ČBM, gojene na PT, pa so največjo maso dosegle šele pri 5. odvzemu (0,137 g). Ugotovljeno je bilo (Liu in sod., 2017), da ličinke ČBM hitro kopijo biomaso od 4. do 6. dne, poleg tega se njihova masa od 14. do 16. dne razvoja poveča za približno 4000 krat. Vsem tem podatkom v našem poskusu nismo mogli slediti, ker smo pričeli z vzorčenjem 16. dan starosti ličink. Vsekakor pa bi z rejo ličink, gojenih na GO, lahko zaključili prej.

Ličinke ČBM, gojene na PO, so na splošno priraščale preslabo. Verjetni razlogi so prevelika količina substrata in hkrati premajhna vsebnost vlage ter prevelika vsebnost surovih vlaknin. Gold in sod. (2018) so ugotovili, da bo krajši čas razvoja ličink tudi pri prehrani, ki ima razmerje B : OH 1:1-4:1, vendar bo masa ličink večja (in večji delež maščob) pri razmerju 1:2-1:4. Beljakovine predstavljajo najpomembnejše hranilo pri rasti ličink ČBM (Gold in sod., 2018). Pri visoki vsebnosti beljakovin sprosti telo ličink hormone, inzulinu podobne, ki spodbujajo rast in razvoj. Če ličinke gojimo na substratu z majhno vsebnostjo beljakovin, pretvarjajo črevesni mikrobi metabolite ogljikovih hidratov v nove aminokisline (Gold in sod., 2018). V GO je bilo ugotovljeno razmerje B : OH 1:1, vsebnost SM pa je bila največja (21,12 % na SS). Ličinke so na GO najhitreje dosegla največjo maso in hkrati najvišjo vsebnost SM (48 %) pri 3. odvzemu. Količina SM se je nato začela zmanjševati. Ogljikovi hidrati so tudi v tesni povezavi z deležem maščob v ličinkah. V primeru, da ličinke gojimo na substratu z nizko vsebnostjo beljakovin in velikim deležem ogljikovih hidratov, bodo te ogljikove hidrate pretvorile in naložile v maščobni del telesa (Gold in sod., 2018). Maščobe ne vplivajo na razvoj ličink, kadar niso v presežku prisotne v substratu. Na splošno lahko rečemo, da beljakovine in ogljikovi hidrati vplivajo na razvoj ličink, vsebnost maščob v substratu vpliva na njihovo maščobno sestavo (Gold in sod., 2018).

Podaljšan čas rasti ličink (podaljšana faza ličinke pred fazo prepupe), gojenih na GO, je verjetno posledica večje vsebnosti SM v substratu, ki je zaradi tega slabše in težje razgradljiv. Ličinke, gojene na energijsko bogatem obroku, se preobrazijo v prepufe z visoko koncentracijo maščob (Spranghers in sod., 2017).

Razmerje med B : OH v PT je bilo 1:1,5. Vrednost SB v substratu je bila v primerjavi z GO nekoliko večja (31 %), vsebnost SM pa precej manjša (5,89 %). Substrat PT in GO imata po ugotovitvah Gold in sod. (2018) podobno aminokislinsko sestavo kot ličinke ČBM. Gojenje teh na substratih, kjer je aminokislinska sestava komplementarna sestavi v ličinkah, izboljša njihovo rast in razvoj (Gold in sod., 2018).

Razmerje med B : OH v PO pa je bilo 1 : 3. PO so med uporabljenimi substrati vsebovali najmanjši delež SB (18,43 %) in SM (2,25 % v SS). Tudi v ličinkah ČBM na koncu meritev je ostala vrednost SM nizka (3,98 % v SS). Kljub najvišji vsebnosti ogljikovih hidratov so ličinke slabo priraščale in so imele nizko vrednost SM, kar nakazuje, da moramo rejo ličink in hraniščne vrednosti substratov gledati celovito. PO so se od drugih dveh substratov razlikovali v tem, da so vsebovali največ SV (50 % več kot GO in PT). Vsebnost SB v ličinkah, gojenih na PO, je bila na koncu poskusa najvišja, in sicer 52,5 % na SS, čeprav so ličinke priraščale slabo in niso dosegle povprečne mase. Kot smo že omenili, je eden od razlogov visoka vsebnost SV v substratu. Ker so vlaknine težko razgradljive in je njihova razgradljivost v veliki meri odvisna od pomoči črevesne mikrobiote, pripisujemo visoko vsebnost SB pri ličinkah PO pretvorbi ogljikovih hidratov v SB, namesto v SM, ki jih tudi v substratu ni bilo veliko.

Glede vsebnosti SB je bilo ugotovljeno (Nyakeri in sod., 2017), da se vsebnost beljakovin v ličinkah zmanjšuje s starostjo ne glede na uporabljen substrat. Vendar v našem poskusu tega nismo potrdili. V ličinkah, gojenih na GO, je vrednost SB naraščala, v ličinkah PT je po 3. odvzemu ostajala enaka, pri ličinkah PO pa se je po začetnem zmanjšanju ponovno povečala. Po podatkih iz literature (Nyakeri in sod., 2017) sovpada zmanjšanje vsebnosti SB s procesom sklerotizacije, ki povzroči encimsko razgradnjo beljakovin za izgradnjo hitina v eksoskeletu. Zato je najbolj idealen čas pobiranja ličink, preden razvijejo trd zunanji eksoskelet. V našem poskusu smo opazili, da so ličinke, gojene na GO, ostajale v fazi ličink in samo pridobivale na vsebnosti maščobe; ličinke, gojene na PT, pa so se vedno bolj pretvarjale v fazo prepufe že pri

predzadnjem vzorčenju. To pojasnjuje, zakaj se je pri ličinkah, gojenih na PT, vrednost SB najprej zmanjšala, nato pa ostala enaka. Metabolizem beljakovin in maščob je med rastjo ličink preusmerjen v sintezo maščobe, da se zagotovi in shrani dovolj energije za kasnejše preoblikovanje v pupe ter nato tudi za razmnoževanje odraslih muh, saj se takrat ne prehranjujejo več (Luis in sod., 2017).

Razvoj tehnologije, ki bi predelala organske odpadke pred uporabo za revo ličink, bi lahko bistveno spremenila način reje in izkoriščenost substrata za ličinke ČBM v namene kompostiranja (Gold in sod., 2018). Podobno so ugotovili tudi Spranghers in sod. (2017). Ličinke so gojili na zelenjavnih in GO ter PO. Sveži zelenjavni odpadki, v katerih je že potekal proces razgradnje, so bili za ličinke lažje razgradljiva hrana. Za revo so uporabili najmanj substrata na SS (533,8 g, medtem ko so za rast na GO porabili 1259 g, na PO pa 930 g), ličinke pa so največ hrani pretvorile v lastno biomaso.

Ličinke ČBM sodijo po veljavni zakonodaji med rejne živali, GO pa med odpadke, ki niso dovoljeni v prehranski verigi. Čeprav smo v poskusu uporabili substrat, ki nima statusa posamičnega krmila, smo ugotovili, da ličinke ČBM na GO hitro in dobro rastejo ter uspešno pridobivajo na masi. Kot smo že večkrat omenili, je smisel gojenja ličink krožno gospodarstvo in trajnostni razvoj, zato se veliko pozornosti namenja iskanju pravega substrata, ki bi poleg zagotavljanja hraničnih snovi izboljšal tudi ekonomičnost reje žuželk.

Ličinke ČBM, gojene na GO in PO, so se začele pri 3. odvzemu (24. dan poskusa) razlikovati v vsebnosti vlage, SB, SM in SV. Na koncu poskusa je ostala razlika statistično značilna pri vseh naštetih parametrih, razen pri vsebnosti vlage. Visoko korelacijo, ki je močno statistično značilna, smo ugotovili med vsebnostjo pepela v substratu in v ličinkah ($r = 0,7432$, $p = 0,0006$) ter vsebnostjo SM ($r = 0,6652$, $p = 0,0086$).

Po podatkih iz literature vsebujejo ličinke ČBM veliko VNMK (Wang in Shelomi, 2017; Spranghers in sod., 2017; Lui in sod., 2017). V vseh fazah življenjskega cikla vsebujejo visoko raven esencialnih maščobnih kislin, vključno z linolno (18:2, ω -6) in α -linolensko kislino (18:3, ω -3). Omenjeni maščobni kislini delujeta kot osnova za sintezo dolgovrežnih prekurzorskih maščobnih kislin, kot so: arahidonska kislina, eikozapentaenojska in dokozahexaenojska

kislina (Lui in sod., 2017). Obe esencialni maščobni kislini sta potrebni za vzdrževanje celične membrane, delovanje možganov in prenose živčnih impulzov. Sodelujeta tudi pri procesih prenosa kisika, sintezi hemoglobina in delitvi celic (Lui in sod., 2017). V naši raziskavi so bile povprečne vsebnosti linolne in linolenske kisline v ličinkah od $13,00 \pm 0,22\%$ (PT) do $24,81 \pm 4,85\%$ (GO) in od $0,543 \pm 0,001$ (GO) do $1,31 \pm 0,46\%$ v SM. Vrednosti so primerljive s podatki drugih raziskovalcev (Lui in sod., 2017), kjer so ugotovili najvišjo vsebnost linolne kisline, to je 31,4 %, in linolenske kisline 1,6 % v SM, in sicer šesti dan razvoja ličink. Vrednosti so se med njihovim razvojem zmanjševale.

Pri ličinkah, gojenih na GO in PO, smo ugotovili, da se vrednosti omega 3 VNMK niso bistveno spremajale, medtem ko so se pri ličinkah, gojenih na PT, počasi zmanjševale (iz začetne vrednosti 2,37 % na 1,26 % v SM). Pri ličinkah, gojenih na GO in PT, se je vrednost omega 6 VNMK zmanjševala (pri PT celo prepolovila), medtem ko se je pri ličinkah, gojenih na PO, rahlo povečala (iz začetne vrednosti 21,7 % na 24,8 % v SM).

Med pomembnejšimi maščobnimi kislinami je tudi lavrinska kislina (C12:0), ki lahko deluje probiotično na črevesno mikrofloro, opisujejo pa tudi antibiotični učinek na patogene črevesne bakterije. V našem poskusu smo ugotovili povečevanje vsebnosti lavrinske kisline v ličinkah ČBM ne glede na substrat. Na koncu poskusa je bil njen delež v ličinkah, gojenih na GO, 45,91 %, v ličinkah, gojenih na PT, je znašal 51,94 % in na ličinkah, gojenih na PO, je bil 27,87 % v SM. Raziskovalci menijo, da bi probiotično delovanje lavrinske kisline v ličinkah ČBM lahko v prihodnosti bolj raziskali ter jih uporabili kot naravni dodatek krmi za rejne živali. Vendar bi hkrati to pomenilo tudi večjo vsebnost nekaterih nezaželenih maščob, zato so potrebne nadaljnje raziskave (Wang in Shelomi, 2017). Lavrinska kislina prevladuje v prepupah tudi, če je v substratu nizka vsebnost SM. Sintetizira se namreč lahko iz drugih hrani, predvsem škroba ali sladkorjev (Sprangher in sod., 2017).

NMK so v prehrani ljudi nezaželene, vendar pa so v naravi zelo pogoste in se v večjem deležu nahajajo v rastlinah in v živalskih tkivih. Ugotovljena višja vsebnost NMK v ličinkah ČBM ni presenetljiva (od $54,15 \pm 3,45\%$ (PO) do $75,17 \pm 1,17\%$ (PT) v SM). Poznano je, da sprememba substrata ne vpliva na vrednosti NMK v ličinkah ČBM, vendar pa njegova sestava in masa ličink lahko do nekatere mere vplivata na sestavo maščobnih kislin. V našem poskusu

smo ugotovili močno korelacijo le med vsebnostjo C 18 : 0 (stearinska kislina) v substratu in ličinkah, ki je bila tudi statistično značilna ($r = 0,800$; $p = 0,0281$). Na splošno bodo težje ličinke imele večjo vsebnost NMK od nenasičenih. NMK se namreč slabše oksidirajo kot nenasičene, ugotovljena pa je bila tudi bolj učinkovita absorpcija in razgradnja srednjeverižnih maščobnih kislin v primerjavi z dolgoverižnimi maščobnimi kislinami (Spranghers in sod., 2017), zaradi česar ima ličinka ČBM boljšo zalogo energije v obliki maščob za obdobje odrasle muhe (Lui in sod., 2017).

V vsebnostih maščobnih kislin je bilo največ statistično značilnih razlik pri 3. odvzemu, na koncu poskusa pa se vsebnosti maščobnih kislin niso razlikovale med posameznimi skupinami.

Tudi vsebnost mineralov v ličinkah ČBM je odvisna od substrata. Ličinke, gojene na GO in PO, so se statistično značilno razlikovale v ugotovljenih vsebnostih: Na, Mg, P, Mn, Cu in Zn. Med ličinkami, gojenimi na PT in PO, pa je bila statistično značilna razlika v vsebnosti: K, Cd in Se.

Ličinke ČBM naj bi akumulirale Ca in Mg, ne pa Na ali S (Wang in Shelomi, 2017). V našem poskusu se je povečevala le vrednost Fe, koncentracija drugih elementov pa se je med odvzemi povečevala in zmanjševala ali pa je ostajala na približno enaki ravni. Na splošno se je vsebnost K zmanjševala, vsebnosti: Mg, P, Na, Mn, Se, Co, Cd in As pa so ostajale približno enake. Pri ličinkah, gojenih na GO, se je vsebnost Cu in Zn najprej zmanjšala, nato pa ponovno povečala na približno začetno vrednost (Zn 4,185 % in Cu 1,205 % v SS). V substratu GO je bilo ugotovljeno 8,78 % Cu in 22,24 % Zn v SS.

Podobno je bila pri ličinkah, gojenih na PT, vsebnost Zn največja na začetku poskusa (16,25 %), nato se je začela zmanjševati. Po 3. odvzemu je vsebnost začela rahlo naraščati, to je do $9,06 \pm 0,641$ %. Delež Cu v substratu PT je bil 23,98 % SS, v ličinkah pri zadnjem odvzemu pa 1,593 %.

Vrednost Zn se je zmanjševala tudi pri ličinkah, gojenih na PO.

Ugotovljene vsebnosti elementov v naši raziskavi so primerljive z drugimi avtorji (Tscherner in Simon, 2015), ki so sicer ugotovili nekoliko višje vrednost Na, Mn, Fe, Zn in Cu ter manjšo vrednost K.

Ličinke ČBM naj bi vsebovale še enkrat toliko Ca kot druge vrste insektov (6,6-9,3% v SS, v primerjavi z drugimi, ki imajo vrednosti pod 1%) (Wang in Shelomi, 2017). Začetne vrednosti Ca v substratih GO, PO in PT so bile sledeče: 0,93 %, 0,14 % in 0,27 % v SS. V ličinkah, gojenih na GO, smo na začetku poskusa določili vrednosti okoli 2 %, ki pa se je po dodatku Ca povečala na 6 %. Vrednosti Ca po dodatku so narasle tudi pri ličinkah, gojenih na PO (iz 0,55 % na 7,89 %) in PT (iz 1,16 % na 7,89 %). Končne vrednosti Ca po dodatku so bile tako primerljive med substrati in niso imele pomembne vloge pri rasti ličink. V raziskavi smo pokazali, da se z dodatkom Ca v substrat lahko značilno poveča njegova koncentracija v ličinkah. Vendar ne smemo pozabiti na podatek, da niso zaželene previsoke koncentracije pepela v ličinkah. Previsoke vrednosti Ca namreč povisajo pH želodca, kar vodi v večjo nevarnost bakterijskih infekcij (ki bi jih nizek pH sicer zaviral). Z ekstrakcijo maščobe bi se vrednost mineralov relativno še povišala, zato je potrebno to idejo v prihodnosti še proučiti. Ličinke, gojene na substratu z več SM, manj pepela ter SV, kot so npr. GO, vsebujejo manj pepela in bi bile zato primernejše za krmo rejnih živali (Spranghers in sod., 2017).

Lui in sod. (2017) so ugotovili, da je količina elementov, kot so: Ca, P, Na, Fe in Zn, najvišja predvsem pri zreli ličinki in pri prepupi, ki predstavlja ekonomsko najbolj učinkoviti fazi razvoja. Ocenili so celo višjo vsebnost mineralov (Ca, P) v prepupi kot v ličinki, ker se minerali začnejo kopiti v eksoskeletu, ki nastaja pri prepupi. Koncentracije Na, Fe in Zn pa so ostajale višje v ličinkah pred fazo prepupe. Ker smo v našem poskusu ličinke pobrali pred nastopom faze prepupe, so vrednosti Fe še vedno naraščale. Enako smo zaznali za Zn, z izjemo ličink, gojenih na PO. Po ugotovitvah Wang in Shelomi (2017) se vrednosti akumuliranega Zn manjšajo z njegovim naraščanjem v substratu. V PO smo res ugotovili največjo koncentracijo Zn (94,15 % na SS) v primerjavi z GO (22,34 % na SS) in PT (60,58 % na SS). Visoka raven mineralov v ČBM podpira trditev, da bi užitne žuželke lahko predstavljale trajnosten vir hrani predvsem v državah, kjer primanjkuje hrane (Lui in sod., 2017).

Nevarnost akumuliranja težkih kovin je bila do danes že delno raziskana (Wang in Shelomi, 2017). Ličinke ČBM naj bi akumulirale Cd, medtem ko te bojazni za Cr, As, Ni in Hg ni. V našem poskusu smo merili vrednosti As, Cd in Pb. Pri vseh treh substratih so te ostale zanemarljivo nizke, pod 1 % v SS. Biancarosa in sod. (2018) so ocenjevali vpliv koncentracije težkih kovin v krmi na koncentracijo v ličinkah ČBM. V substrat, na katerem so gojili ličinke, so postopoma dodajali onesnažene morske alge. Zamenjava osnovnega substrata iz žit z več kot 50 % onesnaženih morskih alg je imela negativne učinke na rast ličink in na njihovo preživetje. Koncentracija Pb, Hg in As v ličinkah je linearno naraščala s koncentracijo omenjenih elementov v substratu. Večina celotnega As, najdenega v morskih algah, je v obliki organskega As, ki za zdravje ni škodljiv tako kot so anorganske oblike. Ker so v ličinkah ugotovili < 1 % celotnega As v anorganski obliki, so domnevali, da ličinke organskih oblik arzena ne morejo pretvoriti v anorganske. Tako bi zamenjava ribje moke, ki pogosto vsebuje toksične elemente, z moko ličink ČBM, ki so se hranile na substratu s 60 % vsebnostjo morskih alg, lahko v prihodnost predstavljal obetajoče posamično krmilo.

Pri uporabi ličink ČBM kot predelovalca kompostov se srečamo z ugotovitvijo, da jih v tem primeru ne moremo uporabljati za prehrano (npr. akumuliranje Cd). Dobimo sicer neoporečen kompost, vendar pa ličinke vsebujejo večji delež težkih kovin (Wang in Shelomi, 2017).

Spreminjanje koncentracije posameznih elementov med poskusom je včasih težko pojasniti, vsekakor pa vpliva tudi medsebojno delovanje elementov in njihova koncentracija v substratu. Elementi, pri katerih smo ugotovil zelo močno korelacijo med vsebnostjo v ličinkah in v substratu, so: As, Ca, Cd, Mg, Mn in Zn. Poleg tega smo zelo močno korelacijo ugotovili še med vsebnostjo As in Ca v ličinkah, As in Co, As in Fe, Ca in Co, Co in Fe, Cu in Mg, Cu in Mn ter Cu in Zn.

Substrati, ki smo jih uporabili za revo ličink ČBM, so se med seboj precej razlikovali. GO so bili sestavljeni iz odpadnega sadja, zelenjave, ki so predstavljali za ličinke vir ogljikovih hidratov, vlaknin, vitaminov in mineralov ter iz mlečnih proizvodov in koščkov mesa, vira beljakovin in maščob. Učinkovit metabolizem in absorpcija vseh hranil je pozitivno vplivala na antimikrobní mehanizem v črevesju ličink. V substratu GO ličinke ČBM niso samo najhitreje rastle, ampak smo v njem na koncu poskusa ugotovili tudi najmanjše število bakterij *E. coli*.

Našteli smo manj kot 100 cfu/g bakterij, tako v posodah z dodanim Ca kot v posodah brez njega. V preostalih dveh substratih (PO in PT) pa smo ugotovili višje vrednosti *E. coli* (nad 190.000 cfu/g). Ugotovili smo tudi, da so bile vrednosti med posodami s Ca ali brez njega zanemarljivo podobne, vendar bi za natančne zaključke morali preiskavo ponoviti in jo usmeriti v vpliv Ca na mikrobiološko sestavo.

PO in PT sta posamični krmili, zaradi česar niso imele ličinke pestrosti surovin med razvojem. Njihova črevesna mikrobiota izkorišča del hraniil za svojo rast in razvoj, zato se pestrost substrata odrazi tudi na njeni učinkovitosti in raznolikosti. V črevesju najdemo mikrobiološke združbe, ki jih sestavlajo družine bakterij, protozojev, gliv in virusov. Sodelujejo pri prebavi in fermentaciji rastlinskih polimerov, sintezi vitaminov, biometabolizmu toksičnih produktov, ohranjanju mukozne integritete in zaščiti pred kolonizacijo patogenov (Bogataj, 2018).

Različna hraniilna sestava substratov je po našem mnenju vzrok, zakaj smo determinirali različne vrste bakterij družine *Enterobacteriaceae* spp. Po ugotovitvah Klammsteiner in sod. (2020) so enterobakterije ene izmed glavnih črevesnih bakterij, ki z izločanjem antimikrobnih snovi sodelujejo pri metabolizmu hraniilnih snovi in tako omogočijo, da postanejo za ličinko hraniila izkoristljiva. V PT in PO smo ugotovili podobne rodove enterobakterij, ki smo jih dokazali tudi v ličinkah, gojenih na obeh substratih: *Klebisella* spp. in *Cronobacter* spp. V ličinkah, gojenih na GO, je prevladoval rod *Proteus* spp. Ne smemo pozabiti, da smo na začetku poskusa jajčeca izlegali na PO. Ker smo ugotovili prisotnost enterobakterij že pri prvem vzorčenju čistega substrata PO, je to zagotovo vplivalo na kasnejše rezultate. Vendar pa ugotovljena različnost v bakterijskih rodovih kasneje med poskusom potrjuje, da ima raznovrstnost substrata vpliv na črevesno mikrofloro, ta pa na ličinkino rast in obrambo pred nezaželenimi mikroorganizmi. V substratu PT smo determinirali še rodova *Enterobacter* spp. in *Citobacter* spp., v PO pa *Acinetobacter* spp. in *Serratia* spp.. Primerljive vrste enterobakterij so zasledili tudi drugi raziskovalci (Gold in sod., 2018; Wang, 2017; Smet in sod., 2018; Erickson in sod., 2004; Klammsteiner in sod., 2020). Nekateri avtorji so proučevali ličinke divjih ČBM (Smet in sod., 2018) in ugotovili, da ravno zato, ker imajo ličinke v naravi dostop do bolj raznovrstne prehrane, tudi boljše rastejo kot na enoličnih substratih, ki jih uporabljamamo v reji. V naravi se ličinka enostavno prestavi, ko ji substrat več ne ustreza, v reji pa se ji enak substrat samo nalaga.

Klammsteiner in sod. (2020) so ličinke ČBM gojili na treh različnih substratih. Substrat z najvišjo vsebnostjo beljakovin je predstavljala krma za piščance, ki je bila v osnovi iz pšeničnih otrobov. Uporabili so še mešanico zelenjave in sadja, vendar je zelo visoka vsebnost celuloze zaviralno delovala na ličinkin metabolizem, saj so te najpočasneje rastle. Poleg tega so uporabili še svežo pokošeno travo, na kateri ličinke niso najboljše priraščale, so pa imele zelo raznovrstno črevesno floro. Ugotovili so, da bolj kot je substrat raznovrsten in večja kot je vsebnost beljakovin, bolj učinkovito oziroma zaviralno deluje črevesna mikrobiota na patogeno *E. coli*. Tudi Smet in sod. (2018) so ugotovili, da prehrana, bogata z beljakovinami, sproži najmočnejši odziv ličink proti patogenim mikroorganizmom. Isti avtorji (Smet in sod. (2021) so ugotovili tudi, zakaj ličinke, rejene na substratu, ki je zelo raznovrsten in sestavljen iz zelenjave, sadja in mlečnih proizvodov, manj uspešno inaktivirajo bakterije v primerjavi z ličinkami, gojenimi na gnuju (Lalander in sod., 2013; Liu in sod., 2008). *E. coli* in *Salmonella* spp. sta v gnuju verjetno izpostavljeni bolj neugodnim pogojem in neuspešno tekmujeta z ličinkami ČBM za hranilne snovi. Posledica je, da so bolj občutljive na antimikrobne peptide v črevesju ličink.

V našem poskusu smo ličinke vzrejali na mešanici bioloških odpadkov ter na posamičnih krmilih, v nobenem vzorcu nismo dokazali *Salmonella* spp. Še vedno ni znano, kako hitro *Salmonella* spp. lahko zraste na substratu ali v ličinki in kaj vse vpliva na njeno inaktivacijo (Smet in sod., 2021). Po podatkih iz literature substrati na osnovi odpadne zelenjave, sadja in mlečnih proizvodov lahko vsebujejo *Salmonella* spp. (Jongen, 2005; Lee et al., 2016) že v času skladiščenja substrata (Smet in sod., 2021). Erickson in sod. (2004) so inhibicijo *Salmonella enteritidis* pripisovali vsebnosti amonijaka v substratu, odvisnem od vsebnosti beljakovin v substratu.

V evropskem projektu PROteINSECT so med leti 2013 in 2015 izvedli ankete, v katerih so pokazali splošno soglasje ljudi o uporabi insektov v prehrani rejnih živali. 64 % udeležencev je zdravstveno tveganje uživanja živalskih proizvodov, če bi bile živali krmljene z ličinkami, ocenilo kot "ni tveganja" ali je "nizko tveganje", 88% udeležencev pa je opozorilo na pomanjkanje znanja in raziskav (Sogari in sod., 2019). Dejavnike, ki vplivajo na potrošnikovo odločitev, so raziskovali Ankamah-Yeaboh in sod. (2018). Analizirali so podatke, zbrane iz spletnega vprašalnika v Nemčiji. Večina anketiranih potrošnikov ni imela pomislek glede

uporabe žuželk v prehrani živali. Bazache in sod. (2016) menijo, da bi odnos do uporabe žuželk v prehrani lahko izboljšali z informativnimi kampanjami o negativnem vplivu tradicionalnih praks krmljenja na naše okolje. Analize so tudi pokazale, da ni večjih vplivov na aromo, okus in teksturo živalskega mesa, če so te hranjene z moko ličink ČBM (Sogari in sod., 2019).

S tržnega vidika je zanimivo opazovati, kako nekatera podjetja promovirajo za proizvodnjo žuželk ličinke žuželk kot krmo, ki predstavlja naravno prehrano piščancev, zato je dobra za njihovo naravno vedenje. V prihodnosti bo zanimivo opazovati, kako bo zasebni sektor razvijal svoje oglaševalske kampanje za rejce živali in kako bodo potrošniki sprejeli tovrstne informacije (Sogari in sod., 2019).

Z našo raziskavo smo zagotovo pokazali potencial v rejci ličink ČBM, trajnostno rejo, učinkovito predelavo substrata in dobro hraniilno vrednost ličink. Potrebne so še nadaljnje raziskave, da ugotovimo optimalne pogoje, substrat in morebitna tveganja, predvsem v akumulaciji težkih kovin in potencialni alergenosti.

6 SKLEPI

1. S poskusom smo dokazali, da je v poletnih mesecih mogoče gojiti ličinke ČBM v naravnih klimatskih razmerah, čeprav se je temperatura v enem dnevu lahko spremenila za ± 10 °C, vlažnost pa za ± 30 %.
2. Substrat GO ni vseboval največ SB in SM, ampak samo največ SM. Največ SB so vsebovale PT. Kljub temu so ličinke, gojene na GO, dosegle največjo maso ($0,271 \pm 0,031$ g), vsebovale pa so največ SM (36,68 %).
3. Ličinke, ki smo jih gojili na PO, so rastle zelo slabo, zato pri zadnjem vzorčenju ni bilo dovolj vzorca za vse analize ($0,036 \pm 0,010$ g). Kljub temu pa so vsebovale primerljivo vsebnost SB, SM pa izredno malo ($3,98 \pm 0,43$ %). PO so vsebovali največ SV (16,01 %).
4. Vsebnost SB in SM v ličinkah se je zelo različno spremajala med odvzemi in skupinami. Pri ličinkah, gojenih na GO, so se s starostjo ličink povečevale SM in manjšale SB. Pri ličinkah, gojenih na PT, se od 3. odvzema naprej vsebnost SB ni več spremajala, SM pa so se povečevale do 4. odvzema. V ličinkah, gojenih na PO, se je vsebnost SB manjšala do 4. odvzema, potem je narasla. Vsebnost SM se je ves čas zmanjševala.
5. Po dodatku Ca v koncentraciji 5 % v substratih se je vsebnost Ca v ličinkah statistično značilno povečala.
6. Mikrobiološka slika GO ni bila slabša od preostalih dveh substratov. Vsi vzorci so bili negativni na *Salmonella* spp., vsebovali pa so enterobakterije. *E. coli* smo ugotavljali samo pri zadnjem vzorčenju in jo potrdili v vseh vzorcih, vendar jo je bilo številčno več v PT in PO kot v GO.

7 POVZETEK

Na svetu trenutno živi 7,2 milijard prebivalcev, po napovedih strokovnjakov pa je 80 % možnost, da bo število do leta 2100 naraslo na med 9,6 in 12,3 milijard (Gerland in sod., 2014). S povečevanjem svetovnega prebivalstva se povečuje tudi potreba po hrani, zato v prihodnosti potrebujemo nove vire in nove načine pridelave hrane. To zelo obremenjuje okolje, zato moramo iskati tudi okolju bolj prijazne načine, ki bodo hkrati omogočali dovolj veliko proizvodnjo. V ta namen že preizkušajo nove ali izboljšane sorte rastlin, še neuporabljene stranske proizvode živil ter alternativne vire beljakovin, kot so: žuželke in alge (EFSA, 2015). Glede na primerljivo hraniščno sestavo bi žuželke lahko uporabljali namesto trenutno poznanih živalskih in rastlinskih beljakovin. Največja prednost pri reji žuželk je, da jih lahko vzrejamo na substratu, slabše kakovosti (npr. organski ostanki), in pri tem pridobivamo kakovostne beljakovine (van Huis, 2013).

V zadnjih letih je v EU precej zanimanja za uporabo žuželk v prehrani ljudi in živali. Vendar je predhodno potrebno preučiti vsa znana tveganja za zdravje ljudi in živali. Poleg tega bi za rejo žuželk morala veljati enaka pravila glede zdravja in dobrobiti, kot veljajo za druge rejne živali (EFSA, 2015).

V prehrani ljudi se v nekaterih delih sveta uporabljam žuželke v vsakodnevni prehrani že generacije, v drugih delih sveta pa je to še vedno tabu. Ker žuželke ne potrebujejo za rast veliko prostora, ker hitro priraščajo in porabljajo malo virov, v pogledu trajnostne prihodnosti vsekakor pridobivajo na pomenu (van Huis in sod., 2013). Črna bojevniška muha (*H. illucens*) je vrsta žuželke, ki bi lahko v prihodnosti pomenila nov pomemben vir beljakovin v prehrani ljudi in živali. Uspešno izkorišča hraniščne snovi različnih organskih substratov in jih pretvarja v sebi lastne hraniščne snovi, odvisne od sestave substrata (Bogataj, 2018). Življenjski cikel *H. illucens* traja približno 40-45 dni in je sestavljen iz štirih faz: odrasle muhe, ki se ne prehranjuje (nima ustnega aparata), jajčeca, ličinke in prepupe/pupe (Bogataj, 2018). Za prehrano ljudi in živali so najbolj zanimive ličinke. Uspešno rastejo pri temperaturi okoli 30 °C in relativni vlagi med 60 % in 70 % (Wang in Shelomi, 2017).

V naši raziskavi smo ličinke *H. illucens* gojili 34 dni (od 21. 7. do 24. 8. 2020) v naravnih klimatskih razmerah (povprečna temperatura zraka $23,4^{\circ}\text{C} \pm 3,8^{\circ}\text{C}$ in povprečna relativna

vlažnost $82,9\% \pm 11,4$) na treh različnih substratih: gospodinjskih odpadkih (GO), pivskih tropinah (PT) in pšeničnih otrobih (PT). Na podlagi zakonodaje so ličinke uvrščene med rejne živali (Uredba 1069/2009/ES), zato lahko uporabljam za krmljenje samo proizvode, dovoljene za krmljenje rejnih neprežvekovalcev (Uredba 767/2009/ES). GO so za krmljenje rejnih živali prepovedani, vendar smo v raziskavi žeeli preučiti tudi vidik kompostiranja odpadkov oziroma pomen *H. illucens* v krožnem gospodarstvu. Ličinke smo med poskusom vzorčili petkrat (16., 20., 24., 28 in 34. dan), substrat pa štirikrat (pred začetkom poskusa, nato pa še 20., 24. in 34. dan). Vzorce ličink in substrata smo analizirali na osnovne skupine hraniilnih snovi (surove beljakovine - SB, surove maščobe - SM, vlago, pepel in surova vlaknina - SV), vsebnost 14 elementov (As, Ca, Cd, Co, Cu, Fe, K, Na, Mg, Mn, P, Pb, Se in Zn) in različnih maščobnih kislin. 20. dan poskusa smo v substrat pričeli dajati Ca.

S poskusom smo dokazali, da bi v poletnem času ličinke *H. illucens* lahko gojili pri zunanjji temperaturi in vlagi. Ličinke na PO so rastle izredno slabo in dosegle maso $0,036 \pm 0,010$ g, v primerjavi z ličinkami na GO ($0,271 \pm 0,031$ g) in na PT ($0,147 \pm 0,041$ g). Ličinke, gojene na GO, so dosegle največjo maso že pri 4. vzorčenju, zato bi bil zanje primeren krajši čas gojenja. Razlog za slabo priraščanje ličink, gojenih na PO, je verjetno prenizka vsebnost vlage (ki je bila na koncu poskusa manj kot 10 %) in prevelika vsebnost vlaknin v substratu (16 % na SS). Posode, v katerih smo gojili ličinke, so bile odprte in izpostavljene vplivu okoliškega zraka. Ker smo poskus delali poleti, ko je prevladovalo sonce, je bilo pričakovano, da bo substrat bolj suh. Prav tako smo vzorčili v popoldanskem času, ko ni bilo več vpliva jutranje rose oziroma vlage. Pri ponovitvi poskusa bi vsekakor bolj natančno spremljali vsebnost vlage v substratu. Na krajši čas oziroma na daljši čas rasti ličink vpliva tudi razmerje hraniilnih snovi, še posebej razmerje med beljakovinami in ogljikovimi hidrati (Gold in sod., 2018), ki je bilo pri PO največje, in sicer 1 : 3.

Vsebnost SB je bila v vseh ličinkah od 41 (GO) do 52,5 (PO) % na SS, vsebnost SM pa je bila največja v ličinkah, gojenih na GO (36,68 %), in najmanjša v ličinkah, gojenih na PO (3,6 %). Maščobe po podatkih iz literature ne vplivajo na razvoj ličink, kadar niso v presežku prisotne v substratu (Gold in sod., 2018). Podaljšana faza ličinke pred fazo prepupe, ki smo jo opazili pri ličinkah, gojenih na GO, je najverjetno posledica večje vsebnosti maščobe v substratu, zaradi česar je ta na splošno slabše in težje prebavljen. Visoko korelacijo, ki je bila močno

statistično značilna, smo ugotovili med vsebnostjo SM v substratu in v ličinkah ($r = 0,6652$, $p = 0,0086$) ter vsebnostjo pepela ($r = 0,7432$, $p = 0,0006$).

Ličinke *H. illucens* vsebujejo v vseh fazah življenjskega cikla visoko raven esencialnih maščobnih kislin, vključno z linolno (18: 2, ω-6) in α-linolensko kislino (18: 3, ω-3) (Lui in sod., 2017), kar smo potrdili tudi v naši raziskavi. Ličinke, gojene na PT, so vsebovale največji delež nasičenih maščobnih kislih (NMK, $75,17 \pm 1,17\%$ v SM), ličinke, gojene na GO in PO, pa $67,72 \pm 0,59\%$ in $54,15 \pm 3,45\%$. Delež NMK v substratih je bil, v primerjavi z vrednostmi v ličinkah, manjši, delež VNMK pa večji. Največ VNMK so vsebovale ličinke, gojene na PO ($26,37 \pm 4,93\%$ v SM). Podobno vsebnost VNMK so vsebovale ličinke, gojene na PT in GO ($14,26 \pm 0,93\%$ in $15,21 \pm 0,18\%$). V ličinkah pa se je med poskusom povečeval predvsem delež lavrinske kisline (največ v ličinkah PT 51,94 % v SM).

Vsebnost Ca je bila največja v ličinkah, gojenih na GO (2,08 %), po dodatku Ca pa je vsebnost Ca dosegla največjo vrednost v ličinkah, gojenih na PO in PT (skoraj 8 %). Ličinke *H. illucens* naj bi vsebovale še enkrat toliko Ca kot druge vrste insektov (6,6-9,3 % v SS, v primerjavi z drugimi, ki imajo vrednosti pod 1%) (Wang in Shelomi, 2017), česar v naši raziskavi nismo potrdili. Vrednosti blizu 8 % Ca na SS smo v ličinkah dosegli šele po dodajanju Ca.

Med poskusom se je še zviševala vrednost Fe, česar ne znamo pojasniti. Verjetna razloga je v razmerju Fe do vseh drugih elementov, kajti zelo močno korelacijo smo ugotovili med vsebnostjo As in Ca v ličinkah, As in Co, As in Fe, Ca in Co, Co in Fe, Cu in Mg, Cu in Mn ter Cu in Zn.

Vrednost Zn se je za približno 20 % začetne vrednosti zmanjšala le pri ličinkah, gojenih na PO. Vrednosti težkih kovin (As, Cd in Pb) so ostajale zanemarljivo nizke.

Elementi, pri katerih smo ugotovil zelo močno korelacijo med vsebnostjo v ličinkah in v substratu so As, Ca, Cd, Mg, Mn in Zn.

Pri začetnem vzorčenju substratov smo ugotovili, da GO, PT in PO ne vsebujejo salmonel, enterobakterije pa smo potrdili v vseh treh substratih in kasneje pri vseh njihovih vzorčenjih. V

PO in PT smo ugotovili *Cronobacter spp.*, *Klebisella pneumoniae* in *Klebsiella variicola*; posebej v PO pa še *Acinetobacter baumannii*, v PT pa *Enterobacter cloacae*, *Enterobacter bugandensis*, *Enterobacter asburiae* in *Klebsiella variicola*. V GO smo potrdili druge vrste enterobakterij, in sicer *Citrobacter amalonaticus* ter *Proteus mirabilis*.

Vsi vzorci ličink so bili negativni na *Salmonella spp.*, vsebovali pa so enterobakterije. Z metodo MALDI-TOF smo v ličinkah, ki so rastle na PO, našli bakterije *Enterobacter xiangfangensis*, *Klebsiella aerogenes*, *Klebsiella pneumoniae*, *Klebsiella variicola* in *Serratia marcescens*; v ličinkah, ki so rastle na GO *Proteus mirabilis* in *Providencia rettgeri* ter v ličinkah, raslih na PT bakterije *Alcaligenes faecalis*, *Citrobacter amalonaticus*, *Klebsiella oxytoca*, *Klebsiella pneumoniae*, *Morganella morganii*, *Providencia rettgeri* in *Providencia stuartii*. Raznolikost in hranilna sestava substrata sta po našem mnenju vzrok, zakaj smo determinirali različne vrste enterobakterij. PO in PT sta namreč posamični krmili, zaradi česar ličinke niso imele med razvojem takšne pestrosti surovin. Posledično tudi črevesna mikrobiota ni bila zelo raznolika, kajti poznano je, da črevesna mikrobiota izkorišča del hranil tudi za svojo rast in razvoj (Bogataj, 2018).

Bakterijo *E. coli* smo ugotavljali samo pri zadnjem vzorčenju in jo potrdili v vseh vzorcih, vendar jo je bilo številčno več v PT in PO kot GO. Našteli smo manj kot 100 cfu/g bakterij, v PO in PT pa več kot 190.000 cfu/g.

Vse navedeno nakazuje, da so bile v našem poskusu najbolj primeren substrat za gojenje ličinke *H. illucens* PT. Uporabili smo tudi GO in potrdili, da ličinke *H. illucens* hitro in dobro rastejo ter predelujejo substrat. V prihodnosti je potrebno nadaljevati raziskave o najbolj primernem substratu za gojenje *H. illucens*, s katerim bi po eni strani pripomogli k razbremenjevanju okolja in trajnostnemu gospodarstvu, po drugi strani pa živalim (in ljudem) zagotovili kakovosten in varen alternativen vir beljakovin.

8 SUMMARY

There are currently around 7.2 billion people living on this planet and scientist predict that the probability of population increasing to 9.6 or 12.3 billion by the year 2100 is around 80% (Gerland et al., 2014). As the world population is growing, the need to find new resources and new ways to grow food is increasing. However, current agriculture methods are earth destructive, and there is a need for more sustainable solutions and regenerative agricultural approaches which will produce enough food and feed. Consequently, new practices have tested the viability and applicability of various plants and by-products to reach these goals. Insects and algae represent an alternative source of protein, which triggered current research (EFSA, 2015). Due to their comparable nutritional value, insects could replace currently known plant and animal proteins. The most significant advantage in rearing insects is that they could grow on lower quality substrates (such as organic waste), but in the end larvae would still be rich in protein (van Huis et al., 2013).

In the past few years, the EU has shown a growing interest in insects in food and feed. However, before they can safely enter our food chain, we need to consider critical risks and threats to human and animal health and conduct thorough research. Moreover, the regulations for insect rearing should impose the health and welfare of insects in the same way as it is considered for other farm animals (EFSA, 2015).

In certain places around the world, insects have been consumed for generations, however, it is still predominantly considered a taboo. However, due to fast growth and the scarcity of resources and space, insects represent a valuable solution for a more sustainable future (van Huis et al., 2013). Black Soldier Fly (*H. illucens*) is one of the prospective insect species that could be a potential new protein source in food and feed. It successfully grows on different organic substrates, converting them into a nutritionally valuable source (Bogataj, 2018). The life cycle of *H. illucens* lasts for approximately 45–50 days and is divided into four stages: an adult fly, that no longer eats (as it has no mouth), eggs, larvae and pupal stage (Bogataj, 2018). For the use in food, the larvae phase is most useful. They can grow successfully at temperatures around 30 °C and relative humidity between 60 and 70 % (Wang and Shelomi, 2017).

In our study, we reared *H. illucens* for 34 days (between 21st of July until 24th of August 2020) in a natural environment. The average air temperature was $23.4^{\circ}\text{C} \pm 3.8^{\circ}\text{C}$ and relative humidity $82.9\% \pm 11.4\%$. We reared Black Soldier Fly larvae on three different substrates: Kitchen waste (KW), brewers' grains (SG) and wheat bran (WB). Based on Regulation (EC) No 1069/2009 insect larvae are considered livestock, which means that the substrates on which they are reared fall into the same category as a non-ruminant feed (Regulation (EC) No 767/2009).

KW is banned as feed for livestock. Nevertheless, we wanted to explore the aspect of waste composting by Black Solider Fly larvae and furthermore understand its role in the circular economy. We collected five samples of larvae during the experiment (on day 16, 20, 24 and 34 of the experiment) and four samples of the substrates (before the experiment and then on day 20, 24 and 34). We analysed them for analytical constituents (crude protein-CP, crude fat-EE, moisture, crude ash and crude fibre-CF), the concentration of 14 different elements (As, Ca, Cd, Co, Cu, Fe, K, Na, Mg, Mn, P, Pb, Se and Zn) as well as for the content of different fatty acids. On day 20 of the experiment, we started adding Ca to the substrates.

We proved that in summertime, *H. illucens* can grow at natural temperatures and humidity. Larvae reared on WB grew poorly and gained only $0.036\text{ g} \pm 0.010\text{ g}$, while larvae grown on KW and SG gained $0.271\text{ g} \pm 0.031\text{ g}$ and $0.147\text{ g} \pm 0.041\text{ g}$, respectively. As larvae reared on KW gained the highest mass by the 4th sampling already, we believe that their rearing could be shortened. On the contrary, we believe the reason for the poor growth of larvae reared on WB is attributed to the low moisture content of the substrate (which dropped to less than 10 % by the end of the experiment) and the high crude fibre content (16 % DM). Furthermore, by rearing larvae in open boxes exposed to uncontrolled air, we expected higher dryness by conducting our experiment in the summer months due to prolonged exposure to the sun. Moreover, we took the samples in the afternoon when the dryness was higher, which affected our results. If we were to repeat the experiment, we would monitor the moisture content in the substrate more closely. Nutrient balance also had a great influence on the growth rate, particularly the ratio between protein and carbohydrates (Gold et al., 2018), which was highest in WB (1:3).

Crude protein content was comparable among all larvae (ranging from 41 % to 43 % DM), whereas crude fat was highest in larvae reared on KW (36,7 %), and lowest on larvae reared on WB (3,6 %). Based on the literature review (Gold et al., 2018), crude fat does not affect the development of larvae when they are not present in excess in the substrate. The larval stage reared on KW was prolonged due to the high fat content in the substrate, making the digestion more difficult. The highest correlation, which was statistically very typical, was found between crude fat content in the substrate and the larvae ($r = 0,6652$, $p = 0,0086$) as well as the ash content in the substrate and the larvae ($r = 0,7432$, $p = 0,0006$).

H. illucens larvae contain high level of essential fatty acids throughout their lifespan, including linoleic acid (18: 2, ω -6) and alpha-linolenic acid (18: 3, ω -3) (Lui et al., 2017), which we also confirmed. Larvae reared on SG contained the highest concentration of saturated fatty acids ($75.17\% \pm 1.17\%$ in DM), whereas larvae reared on KW and WB contained $67.72\% \pm 0.59\%$ and $54.15\% \pm 3.45\%$, respectively. The fraction of saturated fatty acids in the substrate was lower than in larvae, while the polyunsaturated fatty acids were higher. The highest content of polyunsaturated fatty acids was found in larvae reared on WB ($26.37 \pm 4.93\%$ DM). Similar content was found in SG and KW ($14.26\% \pm 0.93\%$ and $15.21\% \pm 0.18\%$, respectively). Lauric acid had the highest rise during larval growth (with the highest content in SG of 51.94 % DM).

Ca content was highest in larvae reared on KW (2.08 %), but after addition, it was highest in larvae reared on WB and SG (almost 8 %). *H. illucens* are known to contain at least twice as much Ca as other insects (6.6–9.3 % DM, compared to some other species that contain even less than 1%) (Wang and Shelomi, 2017), but which we did not confirm in our research. Concentrations close to 8% were only found after adding Ca to the substrates.

During rearing, the Fe content also increased, which remained unexplained. The probability is in Fe ratio to other elements, as we noticed a high correlation between As in Ca in larvae, As and Co, As and Fe, Ca in Co, Co and Fe, Cu and Mg, Cu and Mn, and Cu and Zn. Zn content decreased by about 20 % only in larvae reared on WB. Heavy metal content (As, Cd and Pb) remained negligibly low. Elements for which we noticed a high correlation between the larvae and the substrate were As, Ca, Cd, Mg, Mn and Zn.

After the first sampling, we found that neither KW, SG nor WB contained traces of *Salmonella* spp., whereas *Enterobacteriaceae* were detected in all three substrates even in the later sampling. In WB and SG we found *Cronobacter* sp., *Klebsiella pneumoniae* in *Klebsiella variicola*; in WB specifically *Acinetobacter baumannii* and in SG *Enetrobacter cloacae*, *Enetrobacter bugandensis*, *Enetrobacter asburiae* and *Klebsiella variicola*. We found different species in KW, namely *Citrobacter amalonaticus* and *Proteus mirabilis*.

All samples of larvae were also negative for *Salmonella* spp., but contained *Enterobacteriaceae*. In larvae reared on WB, we determined *Enterobacter xiangfangensis*, *Klebsiella aerogenes*, *Klebsiella pneumonia*, *Klebsiella variicola* and *Serratia marcescens* by MALDI-TOF; in larvae reared on KW *Proteus mirabilis* and *Providencia rettgeri*; and in larvae reared on SG *Alcaligenes faecalis*, *Citrobacter amalonaticus*, *Klebsiella oxytoca*, *Klebsiella pneumoniae*, *Morganella morganii*, *Providencia rettgeri* and *Providencia stuartii*.

We believe that the different nutritional values of the substrates influenced why we identified different species of *Enterobacteriaceae*. SG and WB are feed materials, so the larvae did not have as much nutrient diversity during growth. Consequently, the gut microbiota might not have been very diverse, since it is known that the gut microbiota uses the same nutrients for its own growth (Bogataj, 2018).

We searched for *E. coli* in the last sampling and finally confirmed it in every sample, but the numbers were much higher in SG and WB than in KW. It was less than 100 cfu/g, whereas in SG and WB, we found more than 190000 cfu/g.

In conclusion, our results show that the most suitable substrate for rearing Black Soldier Fly larvae is SG. We used KW and proved that *H. illucens* could grow efficiently and quickly while composting the substrate properly. In the future, we would continue to research the most suitable substrate for rearing *H. illucens*, contributing to a more sustainable economy and providing animals (and humans) with a safe and high-quality alternative protein source.

9 ZAHVALE

Srčna hvala mentorici, izr. prof. dr. Bredi Jakovac Strajn, za vse spodbude med pisanjem tega dela, izkazano zaupanje, prijaznost in predvsem potrpežljivost, ki mi jo je namenila. Zahvaljujem se ji za čas, toplino in odprtost za vsa moja vprašanja. Zahvala velja tudi somentorici, doc. dr. Urški Jamnikar Ciglenečki, za znanstvene in akademske nasvete, vodenje v pravo smer in neverjetno hitro odzivnost ne glede na čas. Z njuno pomočjo je raziskovalna naloga v takšni obliki.

Velika zahvala gre podjetju Larvero d.o.o., kjer so mi Edo Duvelek, Aleš Kokol in Matic Markovič predstavili črno bojevniško muho kot nepogrešljivo prihodnost ter mi pomagali pri zbiranju vzorcev. Hvala za zanimivo raziskavo.

Zahvaljujem se doc.dr. Stanki Vadnjal, dr. vet. med., za pomoč pri interpretaciji rezultatov mikrobioloških analiz in prijaznost. Hvala tudi vsem drugim na Inštitutu za varno hrano, krmo in okolje, ki so sodelovali pri izvedbi mikrobioloških analiz.

Zahvaljujem se asist. dr. Katarini Pavšič Vrtač za analizo elementov, Poloni Koren in Ireni Indihar za izvajanje Weendske analize. Zahvaljujem se doc. dr. Zlatki Bajc za določanje maščobnih kislin. Brez njih Prešernove naloge ne bi uspeli dokončati.

Zahvaljujem se mag. Brigit Greč Smole za pregled literature ter slovenistki Ireni Šinkovec za lektoriranje Prešernove naloge.

Zahvaljujem se tudi svoji psički Echo, ki me je potrpežljivo čakala in ljubeznivo spodbujala, ter vsem bližnjim, ki so mi nesebično stali ob strani.

10 LITERATURA

1. Alexander P, Brown C, Arneth A, Finnigan J, Moran D, Rounsevell MDA. Losses, inefficiencies and waste in the global food system. *Agric Syst* 2017; 153: 190–200.
2. Ankamah-Yeboah I, Jacobsen JB, Olsen SB. Innovating out of the fishmeal trap: the role of insect-based fish feed in consumers' preferences for fish attributes. *Br Food J* 2018; 120: 2395–410.
3. Biancarosa I, Liland NS, Biemans D, et al. Uptake of heavy metals and arsenic in black soldier fly (*Hermetia illucens*) larvae grown on seaweed-enriched media. *J Sci Food Agric* 2018; 98: 2176–83.
4. BoccazzI IV, Ottoboni M, Martin E, et al. A survey of the mycobiota associated with larvae of the black soldier fly (*Hermetia illucens*) reared for feed production. *Plos One* 2017; 12(8): e0182533. doi:10.1371/journal.pone.0182533
5. Bogataj T. Use of the black soldier fly (*Hermetia illucens*) for protein production from organic wastes and its microbiome. Ljubljana : Univerza v Ljubljani, Biotehniška fakulteta, 2018. Magistrsko delo
6. Braeckman B, Smagghe G, Brutsaert N, Cornelis R, Raes H. Cadmium uptake and defense mechanism in insect cells. *Environ Res* 1999; 80(3): 231–43.
7. Diener S, Zurbrügg C, Tockner K. Bioaccumulation of heavy metals in the black soldier fly, *Hermetia illucens* and effects on its life cycle. *J Insects Food Feed* 2015; 1(4): 261–70.
8. European Food Safety Authority. Appropriateness to set a group health-based guidance value for zearalenone and its modified forms. *EFSA J* 2016; 14: e04425. doi: 10.2903/j.efsa.2016.4425
9. European Food Safety Authority. Risk profile related to the production and consumption of insects as food and feed. *EFSA J* 2015; 13(10): e4257. doi: 10.2903/j.efsa.2015.4257
10. Erickson MC, Islam M, Sheppard C, Liao J, Doyle MP. Reduction of *Escherichia coli* O157:H7 and *Salmonella enterica* serovar *Enteritidis* in chicken manure by larvae of the black soldier fly. *J Food Prot* 2004; 67(4): 685–90.
11. Gerland P, Raftery AE, Ševčíková H, et al. World population stabilization unlikely this century. *Science* 2014; 346: 234–37.
12. Gintenreiter S, Ortel J, Nopp HJ. Bioaccumulation of cadmium, lead, copper, and zinc in successive developmental stages of *Lymantria dispar* L. (Lymantriidae, Lepid): a life cycle study. *Arch Environ Contam Toxicol* 1993; 25: 55–61.

13. Gold M, Tombberlin JK, Diener S, Zurbrügg C, Mathys A. Decomposition of biowaste macronutrients, micorbes and chemicals in black soldier fly larvae: a review. *Waste Manag* 2018; 82: 302–18.
14. ISO 6579-1:2017. Microbiology of the food chain - Horizontal method for the detection, enumeration and serotyping of *Salmonella* - Part 1: detection of *Salmonella* spp. France : Association française de normalisation, 2017: 50 str.
15. ISO 16649-2: Microbiology of food and animal feeding stuffs - Horizontal method for the enumeration of beta-glucuronidase-positive *Escherichia coli* - Part 2: colony-count technique at 44 degrees C using 5-bromo-4-chloro-3-indolyl beta-D-glucuronide. France : Association française de normalisation, 2001: 8 str.
16. ISO 21528-2: Microbiology of the food chain - Horizontal method for the detection and enumeration of *Enterobacteriaceae* – Part 2: colony-count technique. France : Association française de normalisation, 2017: 15 str.
17. Jeon H, Park S, Choi J, et al. The intestinal bacterial community in the food waste-reducing larvae of *Hermetia illucens*. *Curr Microbiol* 2011; 62: 1390–9.
18. Jongen W. Measuring microbiological contamination in fruit and vegetables. In: Pla M, Rodriguez-Lazaro D, Badosa E, Montesinos E, eds. Improving the safety of fresh fruit and vegetables. Cambridge : Woodhead Publishing, 2005: 89–134.
19. Khan S.H. Recent advances in role of insects as alternative protein source in poultry nutrition. *J Appl Anim Res* 2018; 46: 1144–57.
20. Klammsteiner T, Walter A, Bogataj T, et al. The core gut microbiome of black soldier fly (*Hermetia illucens*) larvae raised on low-bioburden diets. *Front Microbiol* 2020; 11: e993. doi:10.3389/fmicb.2020.00993
21. Lalander C, Senecal J, Gros Calvo M, et al. Fate of pharmaceuticals and pesticides in fly larvae composting. *Sci Total Environ* 2016; 565: 279–86.
22. Lee KM, Herrman TJ, Post L. Evaluation of selected nutrients and contaminants in distillers grains from ethanol production in Texas. *Food Prot* 2016; 79(9): 1562–71.
23. Lindqvist L, Block M. Losses of Cd, Hg, and Zn during metamorphosis in the beetle *Tenebrio molitor* (Coleoptera: Tenebrionidae). *Bull Environ Contam Toxicol* 1997; 58: 67–70.

24. Liu X, Chen X, Wang H, et al. Dynamic changes of nutrient composition throughout the entire life cycle of black soldier fly. *Plos One* 2017; 12(8): e0182601. doi: 10.1371/journal.pone.0182601
25. Mancuso T, Baldi L, Gasco L. An empirical study on consumer acceptance of farmed fish fed on insect meals: the Italian case. *Aquacult Int* 2016; 24: 1489–507.
26. Maryanski M, Kramarz P, Laskowski R, Niklinska M. Decreased energetic reserves, morphological changes and accumulation of metals in carabid beetles (*Poecilus cupreus* L.) exposed to zinc- or cadmium-contaminated food. *Comp Ecotoxicol* 2002; 11: 127–39.
27. Newton L, Sheppard C, Watson D, Burtle G, Dove R. Using the black soldier fly, *Hermetia illucens*, as a value-added tool for the management of swine manure. Report of project for Animal and Poultry Waste Management Center. Raleigh: North Carolina State University, 2005: 17 str.
28. Nyakeri EM, Ogola HJO, Ayieko MA, Amimo FA. Valorisation of organic waste material: growth performance of wild black solider fly (*Hermetia illucens*) reared on different organic wastes. *J Insects Food Feed* 2017; 3(3): 193–202.
29. Poret S, Bazoche P. What do trout eat: acceptance of insects in animal feed. In: 11èmes Journées de Recherche en Sciences Sociales. Lyon, 2017: 14 str.
30. R Core Team. R: A language and environment for statistical computing. Vienna : R Foundation for Statistical Computing, 2019. <https://www.R-project.org/> (15. 4. 2021)
31. Schrögel P, Wätjen W. Insects for food and feed-safety aspects related to mycotoxins and metals. *Foods* 2019; 8(8): e288. doi:10.3390/foods8080288
32. Shumo M, Osuga IM, Khamis FM, et al. The nutritive value of black soldier fly larvae reared on common organic waste streams in Kenya. *Sci Rep* 2019; 9: e10110. doi: 10.1038/s41598-019-46603-z
33. Skřivanová E, Marounek M, Benda V, Brezina P. Susceptibility of *Escherichia coli*, *Salmonella* sp. and *Clostridium perfringens* to organic acids and monolaurin. *Vet Med Czech* 2006; 51: 81–8.
34. Smet JD, Vandeweyer D, Van Moll L, Lachi D, Van Campenhout L. Dynamics of *Salmonella* spp. inoculated during rearing of black soldier fly larvae (*Hermetia illucens*) on chicken feed. *bioRxiv* 2021; e439665. doi:10.1101/2021.04.13.439665

35. Smet JD, Wynants E, Cos P, Van Campenhout L. Microbial community dynamics during rearing of black soldier fly larvae (*Hermetia illucens*) and impact on exploitation potential. *Appl Environ Microbiol* 2018; 84(9): e02722–17. doi:10.1128/AEM.02722-17
36. Sogari G, Amato M, Biasato I, Chiesa S, Gasco L. The potential role of insects as feed: a multi-perspective review. *Animals* 2019; 9(4): e119. doi:10.3390/ani9040119
37. Spranghers T, Ottoboni M, Klootwijk C, et al. Nutritional composition of black soldier fly (*Hermetia illucens*) prepupae reared on different organic waste substrates. *J Sci Food Agric* 2017; 97(8): 2594–600.
38. Tretola M, Ottoboni M, Luciano A, Rossi L, Baldi A, Pinotti L. Former food products have no detrimental effects on diet digestibility, growth performance and selected plasma variables in post-weaning piglets. *It J Animal Sci* 2019; 18(1): e987–996. doi: 10.1080/1828051X.2019.1607784
39. Tscherner M, Simon A. Influence of different growing substrates and processing on the nutrient composition of black soldier fly larvae destined for animal feed. *J Insect Food Feed* 2015; 1(4): 249–59.
40. Uredba (ES) št. 1069/2009 Evropskega parlamenta in Sveta z dne 21. oktobra 2009 o določitvi zdravstvenih pravil za živalske stranske proizvode in pridobljene proizvode, ki niso namenjeni prehrani ljudi, ter razveljavitvi Uredbe (ES) št. 1774/2002 (Uredba o živalskih stranskih proizvodih). *Off J Eur Union* 2009; L300: e1–33. <https://eur-lex.europa.eu/legal-content/SL/TXT/PDF/?uri=CELEX:32009R1069&from=EN>
41. Uredba (ES) št. 178/2002 Evropskega Parlamenta in Sveta z dne 28. januarja 2002 o določitvi splošnih načel in zahtevah živilske zakonodaje, ustanovitvi Evropske agencije za varnost hrane in postopkih, ki zadevajo varnost hrane. *Off J Eur Union* 2002; L31: e1–24. <https://eur-lex.europa.eu/LexUriServ/LexUriServ.do?uri=CONSLEG:2002R0178:20060428:SL:PDF>
42. Uredba (ES) št. 767/2009 Evropskega parlamenta in Sveta z dne 13. julija 2009 o dajanju krme v promet in njeni uporabi, spremembi Uredbe (ES) št. 1831/2003 Evropskega parlamenta in Sveta in razveljavitvi Direktive Sveta 79/373/EGS, Direktive Komisije 80/511/EGS, direktiv Sveta 82/471/EGS, 83/228/EGS, 93/74/EGS, 93/113/ES in 96/25/ES ter Odločbe Komisije 2004/217/ES (Besedilo velja za EGP). *Off J Eur Union* 2009; L229:

- 1–28. <https://eur-lex.europa.eu/legal-content/SL/TXT/PDF/?uri=CELEX:02009R0767-20100901&from=EN>
43. Uredba (EU) 2015/2283 Evropskega parlamenta in Sveta z dne 25. novembra 2015 o novih živilih, spremembi Uredbe (EU) št. 1169/2011 Evropskega parlamenta in Sveta in razveljavitvi Uredbe (ES) št. 258/97 Evropskega parlamenta in Sveta ter Uredbe Komisije (ES) št. 1852/2001 (Besedilo velja za EGP). Off J Eur Union 2015; L327: 1–22. <https://eur-lex.europa.eu/legal-content/SL/TXT/PDF/?uri=CELEX:32015R2283&from=DE>
44. Uredba Evropskega parlamenta in Sveta (ES) št. 999/2001 z dne 22. maja 2001 o določitvi predpisov za preprečevanje, nadzor in izkoreninjenje nekaterih transmisivnih spongiformnih encefalopatijs. Off J Eur Union 2001; L147: 1–40. <https://eur-lex.europa.eu/eli/reg/2001/999/oj>
45. Uredba Komisije (ES) št. 152/2009, z dne 27. januarja 2009, o določitvi metod vzročenja in analitskih metod za uradni nadzor krme. Off J Eur Union 2009; L54: 1–130. <https://eur-lex.europa.eu/legal-content/sl/TXT/?uri=CELEX%3A32009R0152>
46. Uredba Komisije (EU) št. 142/2011 z dne 25. februarja 2011 o izvajanju Uredbe (ES) št. 1069/2009 Evropskega parlamenta in Sveta o določitvi zdravstvenih pravil za živalske stranske proizvode in pridobljene proizvode, ki niso namenjeni prehrani ljudi, ter o izvajanju Direktive Sveta 97/78/ES glede nekaterih vzorcev in predmetov, ki so izvzeti iz veterinarskih pregledov na meji v skladu z navedeno direktivo. Off J Eur Union 2011; L54: 1–254. <https://eur-lex.europa.eu/legal-content/SL/TXT/PDF/?uri=CELEX:32011R0142&from=en>
47. Uredba Komisije (EU) št. 68/2013 z dne 16. januarja 2013 o katalogu posamičnih krmil (Besedilo velja za EGP). Off J Eur Union 2013; L29: 1–64. <https://eur-lex.europa.eu/legal-content/sl/TXT/?uri=CELEX:32013R0068>
48. van Huis A, van Itterbeeck J, Klunder H, et al. Edible insects: future prospects for food and feed security. Rome : Food and Agriculture Organization of the United Nations, 2013: 201 str. (FAO forestry paper, No. 171) <http://www.fao.org/docrep/018/i3253e/i3253e.pdf>
49. Verbeke W, Spranghers T, De Clercq P, De Smet S, Sas B, Eeckhout M. Insects in animal feed: acceptance and its determinants among farmers, agriculture sector stakeholders and citizens. Anim Feed Sci Technol 2015; 204: 72–87.
50. Volk N. Barvni vid bojevniške muhe (*Hermetia illucens*). Ljubljana : Univerza v Ljubljani, Biotehniška fakulteta, 2018. Magistrsko delo

51. Wang YS, Shelomi M. Review of black soldier fly (*Hermetia illucens*) as animal feed and human food. Foods 2017; 6(19): e91. doi:10.3390/foods6100091
52. Zheng L, Crippen TL, Singh B, et al. A survey of bacterial diversity from successive life stages of black soldier fly (Diptera: *Stratiomyidae*) by using 16S rDNA pyrosequencing. J Med Entomol 2013; 50(3): 647–58.

11 PRILOGE

PRILOGA 1

1.1 Podatki hranilna vrednost ličinke in substrat (% na SS)

datum	time	posoda	st	st_vzorec	ca_dodan	vzorec_vrsta	vлага	SB	SM	SV	pepel
28.07.2020	1	0	1	PN 2020/1	ne	pšenični otrobi (PO)	58,6	18,429952	2,2537198	16,00773	7,5404831
28.07.2020	1	0	2	PN 2020/2	ne	gosp. odpadki (GO)	71,4	29,211189	21,124476	10,72727	6,980979
28.07.2020	1	0	3	PN 2020/3	ne	pivske tropine (PT)	82	31,02	5,8906667	9,4	4,8775556
6.08.2020	1	11	4	PN 2020/4	ne	ličinke PO					
6.08.2020	1	17	5	PN 2020/5	ne	ličinke PO					
6.08.2020	1	6	6	PN 2020/6	ne	ličinke GO	63,9	33,387258	48,432133	5,873684	7,934626
6.08.2020	1	10	7	PN 2020/7	ne	ličinke GO	65,5	32,310145	45,275362	7,1	8,3244928
6.08.2020	1	9	8	PN 2020/8	ne	ličinke PT	76,3	56,64557	23,734177	9,377637	7,0675105
6.08.2020	1	13	9	PN 2020/9	ne	ličinke PT	74,9	54,589641	19,370518	9,219124	6,8262948
10.08.2020	2	11	10	PN 2020/10	ne	substrat PO	29,7	21,924324	0,8116216	22,24054	9,5918919
10.08.2020	2	17	11	PN 2020/11	ne	substrat PO	23,6	21,600131	0,8218586	18,8606	9,7674738
10.08.2020	2	6	12	PN 2020/12	ne	substrat GO	43,5	20,189735	7,4166372	21,32283	17,305487
10.08.2020	2	10	13	PN 2020/13	ne	substrat GO	42,8	18,98514	6,9372727	21,96119	18,266783
10.08.2020	2	9	14	PN 2020/14	ne	substrat PT	55,1	16,05167	1,2090869	31,89488	5,7640089
10.08.2020	2	13	15	PN 2020/15	ne	substrat PT	49,4	16,831818	1,0245455	29,79545	5,9590909
10.08.2020	2	11	16	PN 2020/16	ne	ličinke PO	74,2	63,729845	5,8355039	11,07868	11,188372
10.08.2020	2	17	17	PN 2020/17	ne	ličinke PO	74,8	63,402778	5,6746032	10,80357	11,56746
10.08.2020	2	6	18	PN 2020/18	ne	ličinke GO	60,3	34,512594	48,21461	16,17456	7,8194207
10.08.2020	2	10	19	PN 2020/19	ne	ličinke GO	61,7	34,533681	48,388512	8,571384	7,92
10.08.2020	2	9	20	PN 2020/20	ne	ličinke PT	69,4	50,717647	24,035294	11,11765	6,8823529
10.08.2020	2	13	21	PN 2020/21	ne	ličinke PT	71,4	54,494755	26,554196	10,34441	6,9211538
14.08.2020	3	11	22	PN 2020/22	ne	ličinke PO	71,7	60,185159	4,0644523	13,73428	11,277739
14.08.2020	3	17	23	PN 2020/23	ne	ličinke PO	74,3	64,369261	4,8536965	12,24981	10,851479
14.08.2020	3	6	24	PN 2020/24	ne	ličinke GO	59,5	34,955062	49,556543	6,172444	8,3958519
14.08.2020	3	10	25	PN 2020/25	ne	ličinke GO	61	33,435385	50,207179	7,347128	8,6455897
14.08.2020	3	9	26	PN 2020/26	ne	ličinke PT	68,4	50,371519	31,824684	7,998323	6,3227848
14.08.2020	3	13	27	PN 2020/27	ne	ličinke PT	67,9	41,004984	28,894704	11,4729	5,8320561
14.08.2020	3	11	28	PN 2020/28	da	ličinke PO+Ca	72,1	55,61147	4,3039427	12,34552	16,196416
14.08.2020	3	17	29	PN 2020/29	da	ličinke PO+Ca	63,8	45,073757	7,2381215	14,36657	15,024586
14.08.2020	3	6	30	PN 2020/30	da	ličinke GO+Ca	59,7	30,052357	45,452854	5,967692	15,72134
14.08.2020	3	10	31	PN 2020/31	da	ličinke GO+Ca	58,3	30,702638	46,730456	6,452758	16,235971
14.08.2020	3	9	32	PN 2020/32	da	ličinke PT+Ca	67,8	40,757764	25,024845	8,552795	19,639752
14.08.2020	3	13	33	PN 2020/33	da	ličinke PT+Ca	68,8	39,980769	23,903846	8,768269	17,769231
14.08.2020	3	11	34	PN 2020/34	ne	substrat PO	30,4	21,889655	0,7613793	18,82299	12,583908
14.08.2020	3	10	35	PN 2020/35	ne	substrat GO	12,3	21,877081	9,0020525	17,5854	17,48073
14.08.2020	3	10	36	PN 2020/36	ne	substrat GO	43,9	18,624955	7,3662745	10,56809	35,052585
14.08.2020	3	9	37	PN 2020/37	ne	substrat PT	49,7	16,818489	0,8254473	31,77972	5,9535388
14.08.2020	3	9	38	PN 2020/38	ne	substrat PT	50,5	14,349293	1,1355556	29,00828	19,201212
18.08.2020	4	11	39	PN 2020/39	ne	ličinke PO	67,7	51,986068	4,6600619	14,28793	10,111455
18.08.2020	4	17	40	PN 2020/40	ne	ličinke PO	68,8	54,542308	4,7292308	12,71538	10,707692
18.08.2020	4	6	41	PN 2020/41	ne	ličinke GO	59,3	38,072727	45,381818	6,861818	7,8436364
18.08.2020	4	10	42	PN 2020/42	ne	ličinke GO	58,9	38,381022	47,399513	7,22528	7,3406326
18.08.2020	4	9	43	PN 2020/43	ne	ličinke PT	66,1	43,046018	30,410619	9,840619	5,7715929
18.08.2020	4	13	44	PN 2020/44	ne	ličinke PT	64,7	46,760907	34,422663	7,143739	5,184136
18.08.2020	4	11	45	PN 2020/45	da	ličinke PO+Ca	63,1	39,655285	3,2682927	12,41951	24,403252
18.08.2020	4	17	46	PN 2020/46	da	ličinke PO+Ca	57,2	38,351636	2,2598131	12,92874	19,556075
18.08.2020	4	6	47	PN 2020/47	da	ličinke GO+Ca	59,2	32,911029	37,011765	6,308824	17,664706
18.08.2020	4	10	48	PN 2020/48	da	ličinke GO+Ca	56,8	31,490278	40,619167	7,570833	18,213889
18.08.2020	4	9	49	PN 2020/49	da	ličinke PT+Ca	66,1	40,910914	24,639528	7,426726	21,850147
18.08.2020	4	13	50	PN 2020/50	da	ličinke PT+Ca	67,5	41,864923	24,839077	8,046462	20,757538
24.08.2020	5	11	51	PN 2020/51	ne	ličinke PO	55,6	52,96036	3,645045		10,077477
24.08.2020	5	17	52	PN 2020/52	ne	ličinke PO	63,2	56,958696	4,4967391	13,27609	11,027717
24.08.2020	5	6	53	PN 2020/53	ne	ličinke GO	59,7	45,559801	39,851613	8,985112	8,3508685
24.08.2020	5	10	54	PN 2020/54	ne	ličinke GO	57	45,456744	41,49	7,826279	8,458814
24.08.2020	5	9	55	PN 2020/56	ne	ličinke PT	64,5	47,530141	30,741972	9,037268	5,8867606
24.08.2020	5	13	56	PN 2020/57	ne	ličinke PT	62,2	48,253968	29,404762	11,30952	5,9060847
24.08.2020	5	11	57	PN 2020/59	da	ličinke PO+Ca	67,1	47,795745	3,5846809	10,45532	30,085714
24.08.2020	5	17	58	PN 2020/60	da	ličinke PO+Ca	56,4	52,288073	4,200367	11,8	30,744954
24.08.2020	5	6	59	PN 2020/61	da	ličinke GO+Ca	55,9	38,247619	30,620862	8,195918	19,237642
24.08.2020	5	10	60	PN 2020/62	da	ličinke GO+Ca	54,8	36,929204	34,743363	6,212389	18,061947
24.08.2020	5	9	61	PN 2020/64	da	ličinke PT+Ca	61,9	37,59685	21,188976	8,475591	26,948031
24.08.2020	5	13	62	PN 2020/65	da	ličinke PT+Ca	60,2	39,394975	24,936181	8,884824	22,526382
24.08.2020	5	11	63	PN 2020/67	ne	substrat PO	13,8	21,785383	0,7227378	17,86195	9,0548724
24.08.2020	5	17	64	PN 2020/68	ne	substrat PO	11,5	21,839096	0,6831186	19,35503	8,8701921
24.08.2020	5	11	65	PN 2020/69	da	substrat PO+Ca	17	20,288193	0,5019759	17,88289	16,418795
24.08.2020	5	17	66	PN 2020/70	da	substrat PO+Ca	12,2	19,796128	0,8291572	16,89408	15,028474
24.08.2020	5	6	67	PN 2020/71	ne	substrat GO	26,6	24,64891	12,994823	15,16063	15,470027
24.08.2020	5	10	68	PN 2020/72	ne	substrat GO	24	32,432895	15,596711	13,63421	15,596711
24.08.2020	5	6	69	PN 2020/73	da	substrat GO+Ca	21,6	20,025	17,675128	7,866964	39,232653
24.08.2020	5	10	70	PN 2020/74	da	substrat GO+Ca	24,5	19,603974	15,064106	8,254305	36,834834
24.08.2020	5	9	71	PN 2020/75	ne	substrat PT	57,6	19,120047	0,5015094	32,18019	6,7599292
24.08.2020	5	13	72	PN 2020/76	ne	substrat PT	67,8	18,264596	0,3149068	28,97143	6,9279503
24.08.2020	5	9	73	PN 2020/77	da	substrat PT+Ca	39,6	12,810596	0,4545695	22,9351	34,815894
24.08.2020	5	13	74	PN 2020/78	da	substrat PT+Ca	54,1	12,678431	0,2909804	26,5	27,954902

1.2 Podatki vsebnost makroelementi (% na SS)

datum	time	posoda	st	st_vzorec	ca_dodan	vzorec_vrsta	Na	Mg	P	K	Ca
28.07.2020	1	0	1	PN 2020/1	ne	pšenični otrobi (PO)	0,010851	0,663333	1,528449	1,601499	0,1380588
28.07.2020	1	0	2	PN 2020/2	ne	gosp. odpadki (GO)	0,913595	0,125532	0,362559	0,915638	0,9306782
28.07.2020	1	0	3	PN 2020/3	ne	pivske tropine (PT)	0,016936	0,2072	0,697502	0,142487	0,2685246
6.08.2020	1	11	4	PN 2020/4	ne	ličinke PO					
6.08.2020	1	17	5	PN 2020/5	ne	ličinke PO					
6.08.2020	1	6	6	PN 2020/6	ne	ličinke GO	0,188785	0,213547	0,624479	1,332659	1,791484
6.08.2020	1	10	7	PN 2020/7	ne	ličinke GO	0,346076	0,21619	0,660968	1,599426	1,6194812
6.08.2020	1	9	8	PN 2020/8	ne	ličinke PT	0,04231	0,369344	1,232333	1,136026	0,8518673
6.08.2020	1	13	9	PN 2020/9	ne	ličinke PT	0,043214	0,391952	1,323111	1,295096	0,8886205
10.08.2020	2	11	10	PN 2020/10	ne	substrat PO	0,015433	0,905213	2,083245	2,31473	0,1609911
10.08.2020	2	17	11	PN 2020/11	ne	substrat PO	0,015067	0,878258	2,069048	2,342027	0,1601111
10.08.2020	2	6	12	PN 2020/12	ne	substrat GO	3,965942	0,14968	0,749832	1,888509	0,7746975
10.08.2020	2	10	13	PN 2020/13	ne	substrat GO	4,002456	0,186785	0,794961	2,011455	0,695415
10.08.2020	2	9	14	PN 2020/14	ne	substrat PT	0,013142	0,310458	0,859678	0,038625	0,108416
10.08.2020	2	13	15	PN 2020/15	ne	substrat PT	0,01301	0,391518	1,013115	0,053048	0,1258657
10.08.2020	2	11	16	PN 2020/16	ne	ličinke PO	0,043157	1,015957	2,211676	2,199756	0,5334199
10.08.2020	2	17	17	PN 2020/17	ne	ličinke PO	0,032599	1,046853	2,187746	2,151298	0,5377486
10.08.2020	2	6	18	PN 2020/18	ne	ličinke GO	0,285058	0,17901	0,543422	1,089245	1,8476693
10.08.2020	2	10	19	PN 2020/19	ne	ličinke GO	0,274079	0,178146	0,539681	1,072125	1,8054684
10.08.2020	2	9	20	PN 2020/20	ne	ličinke PT	0,041135	0,417288	1,218938	0,780352	1,0237128
10.08.2020	2	13	21	PN 2020/21	ne	ličinke PT	0,041748	0,380614	1,150333	0,927908	1,0214413
14.08.2020	3	11	22	PN 2020/22	ne	ličinke PO	0,026695	0,976547	2,086868	2,175757	0,5225054
14.08.2020	3	17	23	PN 2020/23	ne	ličinke PO	0,035082	1,037302	2,152706	2,142619	0,5523752
14.08.2020	3	6	24	PN 2020/24	ne	ličinke GO	0,142627	0,190646	0,511565	0,961975	2,2064243
14.08.2020	3	10	25	PN 2020/25	ne	ličinke GO	0,238673	0,189508	0,511474	1,001727	2,1661595
14.08.2020	3	9	26	PN 2020/26	ne	ličinke PT	0,040135	0,317183	0,931835	0,678737	1,1567946
14.08.2020	3	13	27	PN 2020/27	ne	ličinke PT	0,035204	0,31789	0,910278	0,616024	0,995096
14.08.2020	3	11	28	PN 2020/28	da	ličinke PO+Ca	0,027559	0,963215	2,159776	2,086713	2,8032779
14.08.2020	3	17	29	PN 2020/29	da	ličinke PO+Ca	0,036098	0,737089	1,710538	1,703234	2,4348602
14.08.2020	3	6	30	PN 2020/30	da	ličinke GO+Ca	0,1425	0,200507	0,469171	0,810357	4,9627115
14.08.2020	3	10	31	PN 2020/31	da	ličinke GO+Ca	0,163093	0,209448	0,513687	0,841104	5,2486857
14.08.2020	3	9	32	PN 2020/32	da	ličinke PT+Ca	0,051597	0,387338	1,009742	0,59391	6,0235741
14.08.2020	3	13	33	PN 2020/33	da	ličinke PT+Ca	0,042383	0,430523	1,166569	0,631416	5,9901822
14.08.2020	3	11	34	PN 2020/34	ne	substrat PO	0,013567	0,856521	1,977434	2,117801	1,4645374
14.08.2020	3	10	35	PN 2020/35	ne	substrat GO	3,484272	0,14272	0,946931	1,856042	1,2046337
14.08.2020	3	10	36	PN 2020/36	ne	substrat GO	2,223346	0,18776	0,659404	1,297771	9,4862538
14.08.2020	3	9	37	PN 2020/37	ne	substrat PT	0,012315	0,312143	0,845106	0,040754	0,1713336
14.08.2020	3	9	38	PN 2020/38	ne	substrat PT	0,094581	0,287308	0,692749	0,100528	4,8759434
18.08.2020	4	11	39	PN 2020/39	ne	ličinke PO	0,03003	0,935022	1,936878	1,98033	0,4660925
18.08.2020	4	17	40	PN 2020/40	ne	ličinke PO	0,04001	0,154902	2,073859	2,010777	0,5295701
18.08.2020	4	6	41	PN 2020/41	ne	ličinke GO	0,156749	0,185794	0,507858	0,833498	1,9756145
18.08.2020	4	10	42	PN 2020/42	ne	ličinke GO	0,170335	0,171105	0,47606	0,852815	1,7560419
18.08.2020	4	9	43	PN 2020/43	ne	ličinke PT	0,042219	0,285891	0,831311	0,60966	1,0154115
18.08.2020	4	13	44	PN 2020/44	ne	ličinke PT	0,044884	0,236894	0,723214	0,698742	0,9811422
18.08.2020	4	11	45	PN 2020/45	da	ličinke PO+Ca	0,024864	0,796713	1,719183	1,678004	6,7614025
18.08.2020	4	17	46	PN 2020/46	da	ličinke PO+Ca	0,027587	0,779902	1,714814	1,634806	4,9588925
18.08.2020	4	6	47	PN 2020/47	da	ličinke GO+Ca	0,187923	0,207322	0,46672	0,799697	5,8024174
18.08.2020	4	10	48	PN 2020/48	da	ličinke GO+Ca	0,316688	0,205462	0,507975	0,860908	5,6028578
18.08.2020	4	9	49	PN 2020/49	da	ličinke PT+Ca	0,073177	0,373385	0,91397	0,640302	6,5877021
18.08.2020	4	13	50	PN 2020/50	da	ličinke PT+Ca	0,039054	0,386022	1,018524	0,593399	6,3842387
24.08.2020	5	11	51	PN 2020/51	ne	ličinke PO	0,024291	0,812814	1,734412	1,764343	0,4083124
24.08.2020	5	17	52	PN 2020/52	ne	ličinke PO	0,045744	1,172316	2,274212	2,111452	0,6971833
24.08.2020	5	6	53	PN 2020/53	ne	ličinke GO	0,160454	0,205196	0,505566	0,815942	2,1513201
24.08.2020	5	10	54	PN 2020/54	ne	ličinke GO	0,185467	0,195639	0,498147	0,800334	2,0166134
24.08.2020	5	9	55	PN 2020/56	ne	ličinke PT	0,046803	0,314447	0,782924	0,651905	1,1443808
24.08.2020	5	13	56	PN 2020/57	ne	ličinke PT	0,050056	0,294372	0,748942	0,637675	1,1730075
24.08.2020	5	11	57	PN 2020/59	da	ličinke PO+Ca	0,030182	0,771681	1,590222	1,448301	8,7727894
24.08.2020	5	17	58	PN 2020/60	da	ličinke PO+Ca	0,037437	0,769856	1,592659	1,458823	7,0260058
24.08.2020	5	6	59	PN 2020/61	da	ličinke GO+Ca	0,252779	0,232575	0,505536	0,849265	5,8901481
24.08.2020	5	10	60	PN 2020/62	da	ličinke GO+Ca	0,203142	0,236017	0,487311	0,787191	6,2776471
24.08.2020	5	9	61	PN 2020/64	da	ličinke PT+Ca	0,064415	0,389662	0,841869	0,589836	8,3604964
24.08.2020	5	13	62	PN 2020/65	da	ličinke PT+Ca	0,045841	0,370045	0,807444	0,598828	7,4387656
24.08.2020	5	11	63	PN 2020/67	ne	substrat PO	0,011912	0,785934	1,864601	2,083495	0,16682
24.08.2020	5	17	64	PN 2020/68	ne	substrat PO	0,013877	0,776436	1,840205	2,077689	0,1719881
24.08.2020	5	11	65	PN 2020/69	da	substrat PO+Ca	0,012124	0,807163	1,863881	1,961984	3,6330893
24.08.2020	5	17	66	PN 2020/70	da	substrat PO+Ca	0,013045	0,738299	1,733651	1,795874	2,8887152
24.08.2020	5	6	67	PN 2020/71	ne	substrat GO	3,282543	0,103844	0,745905	1,82405	0,7839028
24.08.2020	5	10	68	PN 2020/72	ne	substrat GO	3,254876	0,110889	0,751761	1,875853	0,6832738
24.08.2020	5	6	69	PN 2020/73	da	substrat GO+Ca	1,938929	0,195967	0,660121	1,225797	11,450009
24.08.2020	5	10	70	PN 2020/74	da	substrat GO+Ca	2,171471	0,165756	0,598239	1,248481	10,083456
24.08.2020	5	9	71	PN 2020/75	ne	substrat PT	0,01349	0,306665	0,963135	0,086515	0,1644401
24.08.2020	5	13	72	PN 2020/76	ne	substrat PT	0,012053	0,369567	1,122091	0,111167	0,1693028
24.08.2020	5	9	73	PN 2020/77	da	substrat PT+Ca	0,018193	0,299657	0,718002	0,080251	7,4966224
24.08.2020	5	13	74	PN 2020/78	da	substrat PT+Ca	0,011938	0,463032	0,962121	0,085959	12,816647

1.3 Podatki mikroelementi in toksični elementi (% na SS)

datum	time	posoda	st	st_vzorec	ca_dodan	vzorec_vrsta	Mn	Fe	Co	Cu	Zn	Cd	Pb	As	Se
28.07.2020	1	0	1	PN 2020/1	ne	pšenični otrobi (PO)	146,82563	171,2436338	0,0324553	17,6276169	94,1537156	0,117833	0,2194816	0,0264988	0,1822069
28.07.2020	1	0	2	PN 2020/2	ne	gosp. odpadki (GO)	9,922219	170,0325538	0,0607025	8,78233401	22,3353536	0,06341	0,4409231	0,1040357	0,2658855
28.07.2020	1	0	3	PN 2020/3	ne	pivske tropine (PT)	31,647137	119,5328022	0,0346911	23,9774678	60,5768482	0,0094	0,5236725	0,0197757	0,1552138
6.08.2020	1	11	4	PN 2020/4	ne	ličinke PO									
6.08.2020	1	17	5	PN 2020/5	ne	ličinke GO	26,21349	251,0206537	0,082594	12,2715793	42,6678951	0,1527233	0,4577403	0,1054527	0,2485361
6.08.2020	1	6	6	PN 2020/6	ne	ličinke PT	26,226176	268,8817333	0,09581	11,8745442	39,3668555	0,147828	0,5723346	0,1356667	0,2657688
6.08.2020	1	10	7	PN 2020/7	ne	ličinke PT	123,35601	205,8955696	0,0403297	13,9020148	153,679747	0,073234	0,1696407	0,0326741	0,2064259
6.08.2020	1	13	9	PN 2020/9	ne	ličinke PT	131,8229	232,9178406	0,0400065	16,60851	168,820693	0,080169	0,1870791	0,0351445	0,2213659
10.08.2020	2	11	10	PN 2020/10	ne	substrat PO	190,02297	228,1431486	0,0626022	26,8304295	118,068705	0,1345888	0,3669102	0,0107057	0,1804829
10.08.2020	2	17	11	PN 2020/11	ne	substrat PO	188,17223	228,0653508	0,0639286	25,7404967	119,549876	0,129943	0,3384666	0,0288178	0,2042485
10.08.2020	2	6	12	PN 2020/12	ne	substrat GO	6,504658	278,3835791	0,1912928	14,3524702	15,6802131	0,029596	0,6594632	0,1813013	0,4443171
10.08.2020	2	10	13	PN 2020/13	ne	substrat GO	7,163063	232,2916942	0,1935511	13,7411877	0,024089	0,5937043	0,1909247	0,5238905	
10.08.2020	2	9	14	PN 2020/14	ne	substrat PT	25,900548	167,2932187	0,0515532	18,9239929	81,8898478	0,017504	0,3228228	0,0251113	0,1747507
10.08.2020	2	13	15	PN 2020/15	ne	substrat PT	26,552078	174,7500273	0,0447771	19,1162409	81,9922923	0,017148	0,3139648	0,0211095	0,1217611
10.08.2020	2	11	16	PN 2020/16	ne	ličinke PO	278,47419	244,3741585	0,0337957	14,904586	22,9516184	0,070797	0,1885708	0,0308285	0,3278365
10.08.2020	2	17	17	PN 2020/17	ne	ličinke PO	288,6806	261,47	0,0303711	17,8000079	218,943433	0,072042	0,1839922	0,0354419	0,2970530
10.08.2020	2	6	18	PN 2020/18	ne	ličinke GO	17,223824	211,9863484	0,0647135	7,1526806	34,8970236	0,124107	0,074217	0,2409201	
10.08.2020	2	10	19	PN 2020/19	ne	ličinke GO	16,748856	208,8546392	0,0604986	7,06626949	33,591666	0,118072	0,337451	0,0951189	0,2225353
10.08.2020	2	9	20	PN 2020/20	ne	ličinke PT	112,98081	210,5219647	0,029542	15,5869835	132,282529	0,051949	0,2951809	0,0276794	0,1978292
10.08.2020	2	13	21	PN 2020/21	ne	ličinke PT	126,08337	224,8817255	0,0304617	15,9003858	147,381972	0,065571	0,1944151	0,0396277	0,2396204
14.08.2020	3	11	22	PN 2020/22	ne	ličinke PO	262,35738	217,0495689	0,0310239	18,2113592	204,578735	0,0634809	0,161993	0,0428074	0,308843
14.08.2020	3	17	23	PN 2020/23	ne	ličinke PO	277,97155	221,9946724	0,0218181	17,9548634	21,865909	0,071227	0,1797217	0,0357964	0,3295177
14.08.2020	3	6	24	PN 2020/24	ne	ličinke GO	17,804903	233,4252326	0,0528408	7,7066387	39,0993184	0,138831	0,3449393	0,0909011	0,2854959
14.08.2020	3	10	25	PN 2020/25	ne	ličinke GO	17,99329	219,6344464	0,0550976	7,26996496	35,5690383	0,147807	0,3692482	0,0856209	0,2183553
14.08.2020	3	9	26	PN 2020/26	ne	ličinke PT	121,97084	162,4464627	0,0151128	10,8272842	91,2340754	0,060259	0,1897151	0,0372703	0,2232697
14.08.2020	3	13	27	PN 2020/27	ne	ličinke PT	113,85512	163,7813439	0,0205417	12,0060682	88,1315264	0,056728	0,1889134	0,0342462	0,1923182
14.08.2020	3	11	28	PN 2020/28	da	ličinke PO+Ca	285,85235	413,2646867	0,0809721	203,291861	0,698735	0,2871767	0,5358884	0,3402404	
14.08.2020	3	17	29	PN 2020/29	da	ličinke PO+Ca	214,34162	370,0780262	0,0663135	20,295502	156,788131	0,382893	0,367625	0,4073625	0,3421718
14.08.2020	3	6	30	PN 2020/30	da	ličinke GO+Ca	22,710812	486,1651124	0,1171402	10,4057678	30,7703364	0,173825	0,4901507	0,5467187	0,2572913
14.08.2020	3	10	31	PN 2020/31	da	ličinke GO+Ca	19,964157	529,529319	0,1352142	11,260999	31,8705063	0,153303	0,5577807	0,7058653	0,2446653
14.08.2020	3	9	32	PN 2020/32	da	ličinke PT+Ca	119,20791	632,5867888	0,0451836	13,6922435	67,7995168	0,108222	0,3200521	0,1093192	0,1921348
14.08.2020	3	13	33	PN 2020/33	da	ličinke PT+Ca	18,86769	67,615192	0,0140168	15,013551	86,1334058	0,103561	0,3322117	0,10809573	0,2473521
14.08.2020	3	11	34	PN 2020/34	ne	substrat PO	189,64446	358,1122207	0,0949121	33,7228009	113,462966	0,150394	0,5340755	0,3239359	0,1911389
14.08.2020	3	10	35	PN 2020/35	ne	substrat GO	4,580528	331,2377425	0,0271393	20,152518	24,4862212	0,023032	0,7252345	0,1974012	0,4141212
14.08.2020	3	10	36	PN 2020/36	ne	substrat GO	13,053645	1095,204929	0,0377554	9,0616058	19,9647803	0,123961	0,6702955	2,386155	0,2526542
14.08.2020	3	9	37	PN 2020/37	ne	substrat PT	26,747176	168,011134	0,0440837	16,8848034	88,3064467	0,020795	0,2484792	0,0370043	0,120786
14.08.2020	3	9	38	PN 2020/38	ne	substrat PT	27,672353	617,2148083	0,0383576	24,919947	71,6632181	0,079505	0,5489418	1,102873	0,0981111
18.08.2020	4	11	39	PN 2020/39	ne	ličinke PO	249,70293	204,8086223	0,0140449	20,9837203	188,826259	0,0578079	0,3081113	0,0647408	0,4241188
18.08.2020	4	17	40	PN 2020/40	ne	ličinke PO	267,94952	207,813084	0,0329829	18,5921341	138,221141	0,048128	0,3974539	1,10835	0,2812739
18.08.2020	4	6	41	PN 2020/41	ne	ličinke GO	20,399073	216,9905045	0,0324694	10,3796967	38,2735964	0,173444	0,4553731	0,2429843	0,3497008
18.08.2020	4	10	42	PN 2020/42	ne	ličinke GO	20,498559	212,9619238	0,0359926	10,3434914	39,6055443	0,180797	0,7256888	0,2039451	0,3246333
18.08.2020	4	9	43	PN 2020/43	ne	ličinke PT	127,38345	194,6201478	0,0140236	17,3291274	20,6395727	0,066579	0,6395727	0,0614948	
18.08.2020	4	13	44	PN 2020/44	ne	ličinke PT	131,3686	166,1686657	0,0144262	12,6307948	81,5480038	0,069172	0,2294212	0,0417426	0,2456378
18.08.2020	4	11	45	PN 2020/45	da	ličinke PO+Ca	224,67965	760,6396699	0,1862322	18,5532151	141,188065	0,052566	0,3910777	1,4019897	0,3252813
18.08.2020	4	17	46	PN 2020/46	da	ličinke PO	202,47741	207,8130848	0,0329829	18,5921341	138,221141	0,048128	0,3974539	1,10835	0,2812739
18.08.2020	4	6	47	PN 2020/47	da	ličinke G+Ca	22,915508	576,2766463	0,0452759	11,5150645	30,3525049	0,212662	0,4587508	0,8767437	0,2669504
18.08.2020	4	10	48	PN 2020/48	da	ličinke GO+Ca	20,831631	576,1739917	0,0505025	10,098587	32,4240358	0,212581	0,5317747	1,2381187	0,2793737
18.08.2020	4	9	49	PN 2020/49	da	ličinke PT+Ca	107,87531	71,62542254	0,1643185	14,742434	73,945166	0,156345	0,4301884	1,278315	0,2008407
18.08.2020	4	13	50	PN 2020/50	da	ličinke PT+Ca	105,50658	694,9514256	0,1586396	15,7713328	84,109196	0,138324	0,5230748	1,340174	0,2171169
24.08.2020	5	11	51	PN 2020/51	ne	ličinke PO	209,63512	191,1343694	0,004	21,5065269	126,4130248	0,485296	0,4360149	0,0194018	0,2358939
24.08.2020	5	17	52	PN 2020/52	ne	ličinke PO	264,39863	249,828762	0,0204288	19,8911328	20,7045047	0,7008333	0,4033092	0,0410932	0,2304833
24.08.2020	5	6	53	PN 2020/53	ne	ličinke GO	24,416756	255,08060605	0,0404979	11,6371572	48,6217267	0,223146	0,4374231	0,1843228	0,2244138
24.08.2020	5	10	54	PN 2020/54	ne	ličinke GO	25,085454	646,529663	0,0369084	16,9688251	46,3468709	0,232508	0,4504512	0,178644	0,2090965
24.08.2020	5	9	55	PN 2020/55	ne	ličinke PT+Ca	156,33939	198,8819163	0,013356	17,3985716	118,523492	0,083522	0,3171252	0,0290035	0,1464318
24.08.2020	5	13	56	PN 2020/57	ne	ličinke PT	145,7065	176,0366336							

1.4 Podatki fizikalnih lastnosti (mm)

datum	time	posoda	st	st_vzorec	ca_dodan	vzorec_vrsta	dolzina	sirina	masa
28.07.2020	1	0	1	PN 2020/1	ne	pšenični otrobi (PO)			
28.07.2020	1	0	2	PN 2020/2	ne	gosp. odpadki (GO)			
28.07.2020	1	0	3	PN 2020/3	ne	pivske tropine (PT)			
6.08.2020	1	11	4	PN 2020/4	ne	ličinke PO	8,9	2,6	0,0
6.08.2020	1	17	5	PN 2020/5	ne	ličinke PO	7,4	2,2	0,0
6.08.2020	1	6	6	PN 2020/6	ne	ličinke GO	14,4	3,7	0,1
6.08.2020	1	10	7	PN 2020/7	ne	ličinke GO	11,6	3,0	0,0
6.08.2020	1	9	8	PN 2020/8	ne	ličinke PT	8,3	2,8	0,1
6.08.2020	1	13	9	PN 2020/9	ne	ličinke PT	10,8	3,0	0,0
10.08.2020	2	11	10	PN 2020/10	ne	substrat PO			
10.08.2020	2	17	11	PN 2020/11	ne	substrat PO			
10.08.2020	2	6	12	PN 2020/12	ne	substrat GO			
10.08.2020	2	10	13	PN 2020/13	ne	substrat GO			
10.08.2020	2	9	14	PN 2020/14	ne	substrat PT			
10.08.2020	2	13	15	PN 2020/15	ne	substrat PT			
10.08.2020	2	11	16	PN 2020/16	ne	ličinke PO	9,3	3,1	0,0
10.08.2020	2	17	17	PN 2020/17	ne	ličinke PO	8,6	3,0	0,0
10.08.2020	2	6	18	PN 2020/18	ne	ličinke GO	18,6	4,9	0,2
10.08.2020	2	10	19	PN 2020/19	ne	ličinke GO	18,9	5,4	0,2
10.08.2020	2	9	20	PN 2020/20	ne	ličinke PT	12,1	3,6	0,1
10.08.2020	2	13	21	PN 2020/21	ne	ličinke PT	12,1	3,5	0,1
14.08.2020	3	11	22	PN 2020/22	ne	ličinke PO	10,7	3,3	0,0
14.08.2020	3	17	23	PN 2020/23	ne	ličinke PO	9,2	2,9	0,0
14.08.2020	3	6	24	PN 2020/24	ne	ličinke GO	21,0	5,2	0,2
14.08.2020	3	10	25	PN 2020/25	ne	ličinke GO	21,3	5,4	0,2
14.08.2020	3	9	26	PN 2020/26	ne	ličinke PT	12,8	3,5	0,1
14.08.2020	3	13	27	PN 2020/27	ne	ličinke PT	15,6	4,3	0,1
14.08.2020	3	11	28	PN 2020/28	da	ličinke PO+Ca	9,3	3,1	0,0
14.08.2020	3	17	29	PN 2020/29	da	ličinke PO+Ca	10,1	2,8	0,0
14.08.2020	3	6	30	PN 2020/30	da	ličinke GO+Ca	19,5	4,9	0,2
14.08.2020	3	10	31	PN 2020/31	da	ličinke GO+Ca	20,1	5,3	0,2
14.08.2020	3	9	32	PN 2020/32	da	ličinke PT+Ca	12,1	4,3	0,1
14.08.2020	3	13	33	PN 2020/33	da	ličinke PT+Ca	15,6	4,0	0,1
14.08.2020	3	11	34	PN 2020/34	ne	substrat PO			
14.08.2020	3	10	35	PN 2020/35	ne	substrat GO			
14.08.2020	3	10	36	PN 2020/36	ne	substrat GO			
14.08.2020	3	9	37	PN 2020/37	ne	substrat PT			
14.08.2020	3	9	38	PN 2020/38	ne	substrat PT			
18.08.2020	4	11	39	PN 2020/39	ne	ličinke PO	10,5	3,4	0,0
18.08.2020	4	17	40	PN 2020/40	ne	ličinke PO	8,8	3,1	0,0
18.08.2020	4	6	41	PN 2020/41	ne	ličinke GO	22,1	5,4	0,2
18.08.2020	4	10	42	PN 2020/42	ne	ličinke GO	22,0	5,7	0,3
18.08.2020	4	9	43	PN 2020/43	ne	ličinke PT	16,0	4,3	0,1
18.08.2020	4	13	44	PN 2020/44	ne	ličinke PT	17,5	4,3	0,2
18.08.2020	4	11	45	PN 2020/45	da	ličinke PO+Ca	10,3	3,4	0,1
18.08.2020	4	17	46	PN 2020/46	da	ličinke PO+Ca	8,9	2,9	0,0
18.08.2020	4	6	47	PN 2020/47	da	ličinke GO+Ca	21,6	5,5	0,3
18.08.2020	4	10	48	PN 2020/48	da	ličinke GO+Ca	21,6	5,7	0,3
18.08.2020	4	9	49	PN 2020/49	da	ličinke PT+Ca	15,6	4,3	0,1
18.08.2020	4	13	50	PN 2020/50	da	ličinke PT+Ca	14,5	3,8	0,1
24.08.2020	5	11	51	PN 2020/51	ne	ličinke PO	8,9	3,0	0,0
24.08.2020	5	17	52	PN 2020/52	ne	ličinke PO	9,0	3,1	0,0
24.08.2020	5	6	53	PN 2020/53	ne	ličinke GO	19,2	5,5	0,2
24.08.2020	5	10	54	PN 2020/54	ne	ličinke GO	20,6	5,7	0,2
24.08.2020	5	9	55	PN 2020/56	ne	ličinke PT	16,0	4,2	0,1
24.08.2020	5	13	56	PN 2020/57	ne	ličinke PT	18,2	4,7	0,2
24.08.2020	5	11	57	PN 2020/59	da	ličinke PO+Ca	9,2	3,0	0,0
24.08.2020	5	17	58	PN 2020/60	da	ličinke PO+Ca	8,7	3,1	0,0
24.08.2020	5	6	59	PN 2020/61	da	ličinke GO+Ca	20,4	5,8	0,3
24.08.2020	5	10	60	PN 2020/62	da	ličinke GO+Ca	19,7	5,5	0,2
24.08.2020	5	9	61	PN 2020/64	da	ličinke PT+Ca	16,1	3,7	0,1
24.08.2020	5	13	62	PN 2020/65	da	ličinke PT+Ca	16,2	4,2	0,1
24.08.2020	5	11	63	PN 2020/67	ne	substrat PO			
24.08.2020	5	17	64	PN 2020/68	ne	substrat PO			
24.08.2020	5	11	65	PN 2020/69	da	substrat PO+Ca			
24.08.2020	5	17	66	PN 2020/70	da	substrat PO+Ca			
24.08.2020	5	6	67	PN 2020/71	ne	substrat GO			
24.08.2020	5	10	68	PN 2020/72	ne	substrat GO			
24.08.2020	5	6	69	PN 2020/73	da	substrat GO+Ca			
24.08.2020	5	10	70	PN 2020/74	da	substrat GO+Ca			
24.08.2020	5	9	71	PN 2020/75	ne	substrat PT			
24.08.2020	5	13	72	PN 2020/76	ne	substrat PT			
24.08.2020	5	9	73	PN 2020/77	da	substrat PT+Ca			
24.08.2020	5	13	74	PN 2020/78	da	substrat PT+Ca			

1.5 Vsebnost MK C:10 do C:20

time	posoda	st_vzorec	ca_dodan	vzorec_vrstva	C10.0	unC10.12	C12.0	C14.0	unC14	C14.1	C15.0	C16.0	sumC16.1	C17.0	C17.1	C18.0	sumC18.1	C18.2n6c	C20.0		
1	0 PN 2020/1	ne		pšenični otrobi (PO)																	
1	0 PN 2020/2	ne		gosp. odpadki (GO)																	
1	0 PN 2020/3	ne		pivske tropine (PT)																	
1	11 PN 2020/4	ne		ličinke PO																	
1	17 PN 2020/5	ne		ličinke PO																	
1	6 PN 2020/6	ne		ličinke GO	0,546261	0	21,302841	5,201196	0	0,125385	0,128032	15,408613	2,357775	0,122745	0,256837	3,084274	26,501754	22,673607	0,199404		
1	10 PN 2020/7	ne		ličinke GO	0,557863	0	21,69956	5,232717	0	0,124092	0,122339	15,206155	2,287273	0,125896	0,251098	3,345049	26,209639	22,377156	0,220356		
1	9 PN 2020/8	ne		ličinke PT	0,592912	0	25,193726	6,07478	0	0,086925	0,241828	17,613777	2,310042	0,235419	0,199057	3,20116	26,94621	25,919317	0		
1	13 PN 2020/9	ne		ličinke PT	0,586776	0	24,433588	5,970149	0	0,08635	0,234911	17,817639	2,441271	0,245885	0,211185	3,323947	13,034132	25,67743	0		
2	11 PN 2020/10	ne		substrat PO	0	0	0,3531996	0,298047	0	0	0	13,89545	0	0	0	1,376267	19,585975	58,366935	0		
2	17 PN 2020/11	ne		substrat PO	0	0	0	0	0	0	0	0,14056412	0	0	0	1,383729	19,919046	58,536571	0		
2	6 PN 2020/12	ne		substrat GO	0	0	1,5434898	1,11265	0	0	0	12,872539	1,117926	0	0	5,103139	34,781498	37,213952	0		
2	10 PN 2020/13	ne		substrat GO	0	0	0,4811837	0,911425	0	0	0	11,92497	1,117042	0	0	4,889191	34,117032	38,936392	0,533515		
2	9 PN 2020/14	ne		substrat PT	0	0	1,281718	0,921957	0	0	0	18,421584	0	0	0	2,14882	16,68653	52,351847	0		
2	13 PN 2020/15	ne		substrat PT	0	0	3,1707602	1,47134	0	0	0	19,445634	1,079372	0	0	2,422726	15,542339	49,771767	0		
2	11 PN 2020/16	ne		ličinke PO	0,436818	1,056039	15,502831	5,208084	0,815512	0,862998	0,38504	19,970528	6,974467	0,202871	0,900542	6,009532	18,680746	20,743556	0,191374		
2	17 PN 2020/17	ne		ličinke PO	0,408738	0,921956	16,198416	5,3	1,2	0,991106	0,305329	10,47204	5,130016	0,14356	0,667872	6,063194	17,780708	22,662602	0,216255		
2	6 PN 2020/18	ne		ličinke GO	0,584024	0	25,265263	5,383234	0,301117	0,126286	0,122829	15,629128	2,58127	0,114876	0,36037	2,793431	23,906667	21,152764	0,145101		
2	10 PN 2020/19	ne		ličinke GO	0,6252376	0	24,882929	5,360509	0,281801	0,127354	0,124059	15,491156	2,586689	0,11656	0,313459	2,795063	24,292169	21,391379	0		
2	9 PN 2020/20	ne		ličinke PT	0,777521	0	29,472495	6,423955	0	0,109014	0,240065	17,003622	2,806542	0,210151	0,198678	2,682812	10,409811	27,725575	0		
2	13 PN 2020/21	ne		ličinke PT	0,755166	0	29,137409	6,419751	0	0,140305	0	17,192321	2,942301	0,192626	0,185118	2,839354	10,07579	22,601934	0		
3	11 PN 2020/22	ne		ličinke PO	0,493685	1,19583	19,454322	5,68109	1,238879	0,754414	0,325268	18,652425	5,414974	0,330076	0,936168	4,601266	17,452592	21,140757	0		
3	17 PN 2020/23	ne		ličinke PO	0,577053	0,96874	22,677001	6,413091	0,905051	0,583836	0,262316	18,723208	4,633031	0,334178	0,740998	4,828876	15,874646	20,39097	0		
3	6 PN 2020/24	ne		ličinke GO	0,654837	0	32,918373	5,322365	0,428512	0,087458	0,087014	14,995948	2,64297	0	0,331501	9,05165	20,188429	19,741479	0		
3	10 PN 2020/25	ne		ličinke GO	0,658592	0	32,322614	5,241119	0,411052	0,089284	0,097032	14,984662	2,506707	0	0,32395	3,884965	20,633463	20,070238	0		
3	9 PN 2020/26	ne		ličinke PT																	
3	13 PN 2020/27	ne		ličinke PT	0,749881	0	39,490466	8,313984	0	0,139641	0,192951	14,453626	2,804693	0,15294	0,146335	2,035638	8,255085	17,272882	0,053704		
3	11 PN 2020/28	da		ličinke PO+Ca	0,471367	1,003752	21,451234	5,790227	1,159334	0,67695	0,287649	17,480252	5,032886	0,306646	0,684764	4,252577	17,812792	21,196609	0		
3	17 PN 2020/29	da		ličinke PO+Ca	0,460867	0	24,984772	6,101907	0,678189	0,389821	0	15,554552	2,845376	0	0	2,739077	16,91041	26,753705	0		
3	6 PN 2020/30	da		ličinke GO+Ca	0,662128	0	33,466189	5,375081	0,420738	0	0	15,195724	2,685776	0	0	1,867003	20,217524	18,80636	0		
3	10 PN 2020/31	da		ličinke GO+Ca	0,61387	0	30,561038	5,24364	0,421124	0	0	15,802834	2,679791	0	0	2,080053	21,1555631	19,317055	0		
3	9 PN 2020/32	da		ličinke PT+Ca	0,806495	0	39,446377	8,329921	0	0	0,193659	14,931876	2,895437	0,140127	0	2,171196	8,7152528	16,766918	0		
3	13 PN 2020/33	da		ličinke PT+Ca	0,846884	0	39,959999	8,303468	0	0	0	14,665764	2,880459	0	0	2,201965	8,2007619	16,965751	0		
3	11 PN 2020/34	ne		substrat PO	0	0	0	0	0	0	0	15,454116	0	0	0	0	21,369226	6,3054045	0		
3	10 PN 2020/35	ne		substrat GO	0	0	1,277814	1,141362	0	0	0	15,311319	1,491602	0	0	5,577989	35,145134	34,285474	0,414597		
3	10 PN 2020/36	ne		substrat GO	0	0	2,0418613	1,767375	0	0	0	16,183064	1,11003	0	0	6,612086	34,47063	33,323369	0,822296		
3	9 PN 2020/37	ne		substrat PT	0	0	1,6457923	0,74272	0	0	0	22,297719	0	0	0	1,944702	14,299432	54,279925	0		
3	9 PN 2020/38	ne		substrat PT	0	0	9,1307515	0,423675	0	0	0	22,88601	0,785787	0	0	2,476453	17,003755	41,681187	0		
4	11 PN 2020/39	ne		ličinke PO	0,627433	0	31,489206	5,395907	0,400225	0,014743	0,096175	16,009295	2,76108	0	0	2,003144	21,250542	18,313362	0		
4	17 PN 2020/40	ne		ličinke PO	0,654745	0	7,62359	23,577073	6,343214	0	0,452297	0	17,611539	4,606013	0,316434	0,832782	4,171759	15,314609	23,559894	0	
4	6 PN 2020/41	ne		ličinke GO	0,680613	0	37,717684	5,612218	0,479719	0	0	14,923972	2,66219	0	0	1,575021	18,470946	17,213693	0		
4	10 PN 2020/42	ne		ličinke GO	0,696593	0	37,813269	5,643777	0,470154	0	0	15,126256	2,579672	0	0	1,595291	18,561312	16,926604	0		
4	9 PN 2020/43	ne		ličinke PT	0,724426	0	45,312456	9,003098	0	0	0	13,412817	2,805477	0	0	1,540156	7,7096344	15,084883	0		
4	13 PN 2020/44	ne		ličinke PT																	
4	11 PN 2020/45	da		ličinke PO+Ca	0,448015	0,690261	20,308939	5,14031	0	0	0	16,208569	2,700035	0	0	0	3,146879	17,202634	31,820548	0	
4	17 PN 2020/46	da		ličinke PO+Ca	0,701886	0	39,856875	5,840011	0,459222	0	0	0	15,073141	2,602596	0	0	0	3,995642	17,029901	15,646113	0
4	10 PN 2020/48	da		ličinke GO+Ca																	
4	9 PN 2020/49	da		ličinke PT+Ca	0,768973	0	47,926567	9,462714	0	0	0	13,878852	2,682174	0	0	0	1,488151	6,6491092	13,040618	0	
4	13 PN 2020/50	da		ličinke PT+Ca																	
5	11 PN 2020/51	ne		ličinke PO	0,651309	0	26,045612	5,845781	0	0	0	15,433262	2,7159	0	0	0	3,55651	15,293187	28,251479	0	
5	17 PN 2020/52	ne		ličinke PO	0,705618	1,589939	26,684792	6,894899	0	0	0	15,323266	3,013464	0	0	0	3,704858	15,496725	21,381546	0	
5	6 PN 2020/53	ne		ličinke GO	0,790764	0	46,297283	6,193399	0,372785	0	0	0	13,643699	2,01104	0	0	1,217877	14,24748	14,400521	0	
5	10 PN 2020/54	ne		ličinke GO	0,828382	0	45,1516217	6,059919	0,338884	0	0	0	13,680009	2,069609	0	0	0	1,21395	14,695351	14,670225	0
5	9 PN 2020/55	ne		ličinke PT	0,988548	0	50,950284	9,206607	0	0	0	11,961429	2,540813	0	0	0	1,234113	6,1501818	13,160011	0	
5	13 PN 2020/57	ne		ličinke PT	0,765454	0															

1.6 Vsebnost MK C:20 do C:22

PRILOGA 2: IZRAČUNI KORELACIJ

2.1 Hranilne vrednosti (SB, SM, SV, pepel, vlaga)

Spearman correlations:		pepel_L	pepel_S	SB_L	SB_S	SM_L	SM_S	SV_L	SV_S	vлаг_а_L	vлаг_а
ga_S		1.0000	0.7432	-0.1330	-0.1426	-0.3538	-0.0968	-0.0961	-0.2821	-0.3874	-0.
pepel_L	1.0000	0.7432	-0.1330	-0.1426	-0.3538	-0.0968	-0.0961	-0.2821	-0.3874	-0.	6050
pepel_S	0.7432	1.0000	-0.5732	-0.2863	0.2206	0.1522	-0.3505	-0.2494	-0.7202	-0.	5238
SB_L	-0.1330	-0.5732	1.0000	0.1518	-0.7901	-0.5287	0.6964	0.2469	0.6274	-0.	1019
SB_S	-0.1426	-0.2863	0.1518	1.0000	0.0482	0.4848	-0.0195	-0.6517	0.1703	-0.	0633
SM_L	-0.3538	0.2206	-0.7901	0.0482	1.0000	0.6652	-0.6444	-0.1488	-0.4441	0.	2185
SM_S	-0.0968	0.1522	-0.5287	0.4848	0.6652	1.0000	-0.5605	-0.6558	-0.3235	0.	0216
SV_L	-0.0961	-0.3505	0.6964	-0.0195	-0.6444	-0.5605	1.0000	0.3779	0.3552	-0.	1522
SV_S	-0.2821	-0.2494	0.2469	-0.6517	-0.1488	-0.6558	0.3779	1.0000	0.2996	0.	1605
vлаг_а_L	-0.3874	-0.7202	0.6274	0.1703	-0.4441	-0.3235	0.3552	0.2996	1.0000	0.	4384
vлаг_а_S	-0.6050	-0.5238	-0.1019	-0.0633	0.2185	0.0216	-0.1522	0.1605	0.4384	1.	0000

Number of observations: 26

Pairwise two-sided p-values:

	pepel_L	pepel_S	SB_L	SB_S	SM_L	SM_S	SV_L	SV_S	vлагा_L	vлагा_S
pepel_L	<.0001	0.5172	0.4871	0.0762	0.6381	0.6406	0.1626	0.0506	0.0011	
pepel_S	<.0001	0.0022	0.1561	0.2789	0.4578	0.0791	0.2192	<.0001	0.0060	
SB_L	0.5172	0.0022		0.4590	<.0001	0.0055	<.0001	0.2240	0.0006	0.6203
SB_S	0.4871	0.1561	0.4590		0.8150	0.0121	0.9247	0.0003	0.4055	0.7587
SM_L	0.0762	0.2789	<.0001	0.8150		0.0002	0.0004	0.4683	0.0230	0.2835
SM_S	0.6381	0.4578	0.0055	0.0121	0.0002		0.0029	0.0003	0.1069	0.9168
SV_L	0.6406	0.0791	<.0001	0.9247	0.0004	0.0029		0.0570	0.0750	0.4580
SV_S	0.1626	0.2192	0.2240	0.0003	0.4683	0.0003	0.0570		0.1370	0.4336
vлагा_L	0.0506	<.0001	0.0006	0.4055	0.0230	0.1069	0.0750	0.1370		0.0251
vлагा_S	0.0011	0.0060	0.6203	0.7587	0.2835	0.9168	0.4580	0.4336	0.0251	

Adjusted p-values (Holm's method)

2.2. Elementi

Adjusted p-values (Holm's method)

P_S	As_L	As_S	Ca_L	Ca_S	Cd_L	Cd_S	Co_L	Co_S	Cu_L	Cu_S	Fe_L	Fe_S	K_L	K_S	Mg_L	Mg_S	Mn_L	Mn_S	Na_L	Na_S	P_L			
Pb_L	<.0001	<.0001	<.0001	1.0000	0.4774	<.0001	0.0012	1.0000	1.0000	<.0001	0.0036	1.0000	1.0000	1.0000	1.0000	1.0000	1.0000	1.0000	1.0000	1.0000	1.0000			
As_L	1.0000	1.0000	1.0000	1.0000	1.0000	1.0000	1.0000	1.0000	1.0000	1.0000	1.0000	1.0000	1.0000	1.0000	1.0000	1.0000	1.0000	1.0000	1.0000	1.0000	1.0000			
As_S	<.0001	<.0001	<.0001	1.0000	1.0000	0.0009	<.0001	1.0000	1.0000	0.0141	<.0001	1.0000	1.0000	1.0000	1.0000	1.0000	1.0000	1.0000	1.0000	1.0000	1.0000			
Ca_L	<.0001	<.0001	<.0001	1.0000	1.0000	0.4735	1.0000																	
Ca_S	<.0001	<.0001	<.0001	1.0000	1.0000	<.0001	0.0039	1.0000	1.0000	0.0044	0.0096	1.0000	1.0000	1.0000	1.0000	1.0000	1.0000	1.0000	1.0000	1.0000	1.0000			
Cd_L	1.0000	1.0000	1.0000	1.0000	1.0000	1.0000	1.0000	1.0000	1.0000	0.0022	0.0030	1.0000	1.0000	1.0000	1.0000	1.0000	1.0000	1.0000	1.0000	1.0000	1.0000			
Cd_S	1.0000	1.0000	1.0000	1.0000	1.0000	1.0000	1.0000	1.0000	1.0000	0.4485	0.9766	0.8052	0.0011	1.0000	1.0000	1.0000	1.0000	1.0000	1.0000	1.0000	1.0000			
Cs_L	0.4774	1.0000	1.0000	1.0000	1.0000	<.0001	1.0000	0.7379	1.0000	1.0000	0.0210	0.0110	1.0000	1.0000	1.0000	1.0000	1.0000	1.0000	1.0000	1.0000	1.0000			
Cs_S	<.0001	<.0001	<.0001	1.0000	1.0000	<.0001	0.0005	1.0000	1.0000	0.0282	<.0001	1.0000	1.0000	1.0000	1.0000	1.0000	1.0000	1.0000	1.0000	1.0000	1.0000			
Co_L	1.0000	1.0000	1.0000	1.0000	1.0000	1.0000	1.0000	1.0000	1.0000	0.0196	<.0001	0.0424	1.0000	1.0000	1.0000	1.0000	1.0000	1.0000	1.0000	1.0000	1.0000			
Co_S	<.0001	<.0001	<.0001	1.0000	1.0000	1.0000	1.0000	0.7379	0.0196	1.0000	1.0000	0.0282	<.0001	1.0000	1.0000	1.0000	1.0000	1.0000	1.0000	1.0000	1.0000			
Cu_L	1.0000	1.0000	1.0000	1.0000	1.0000	1.0000	1.0000	1.0000	1.0000	0.9141	1.0000													
Cu_S	1.0000	1.0000	1.0000	1.0000	1.0000	1.0000	1.0000	1.0000	1.0000	0.1540	1.0000	1.0000	1.0000	1.0000	1.0000	1.0000	0.0023	<.0001	0.0043	0.0348	0.0383	0.0018		
Fe_L	0.0332	1.0000	1.0000	1.0000	1.0000	1.0000	1.0000	1.0000	1.0000	0.0332	1.0000	1.0000	1.0000	1.0000	1.0000	1.0000	1.0000	1.0000	1.0000	1.0000	1.0000			
Fe_S	0.1481	1.0000	1.0000	1.0000	1.0000	1.0000	1.0000	1.0000	1.0000	0.0384	0.0137	1.0000	1.0000	1.0000	1.0000	1.0000	1.0000	0.0545	0.2705	0.0303	0.0551	0.8489	1.0000	0.0287
Fe_L	<.0001	0.0141	0.0044	0.0022	0.4485	0.0210	<.0001	0.0282	1.0000	1.0000	0.0069	1.0000	1.0000	1.0000	1.0000	1.0000	1.0000	1.0000	1.0000	1.0000	1.0000	1.0000		
Fe_S	1.0000	1.0000	1.0000	1.0000	1.0000	1.0000	1.0000	1.0000	1.0000	0.0036	<.0001	0.0096	0.0030	0.9766	0.0110	0.0424	<.0001	1.0000	1.0000	1.0000	1.0000	1.0000	1.0000	
K_L	1.0000	1.0000	1.0000	1.0000	1.0000	1.0000	1.0000	1.0000	1.0000	1.0000	1.0000	1.0000	1.0000	1.0000	1.0000	1.0000	1.0000	1.0000	1.0000	1.0000	1.0000	1.0000		
K_S	1.0000	1.0000	1.0000	1.0000	1.0000	1.0000	1.0000	1.0000	1.0000	1.0000	1.0000	1.0000	1.0000	1.0000	1.0000	1.0000	0.0027	1.0000	1.0000	1.0000	1.0000	1.0000	1.0000	
Mg_L	1.0000	1.0000	1.0000	1.0000	1.0000	1.0000	1.0000	1.0000	1.0000	0.0001	0.0545	1.0000	1.0000	1.0000	1.0000	1.0000	<.0001	<.0001	<.0001	0.0002	0.0611	<.0001		
Mg_S	1.0000	1.0000	1.0000	1.0000	1.0000	1.0000	1.0000	1.0000	1.0000	0.0023	0.2705	1.0000	1.0000	1.0000	1.0000	1.0000	<.0001	<.0001	<.0001	<.0001	0.0007	<.0001		
Mn_L	1.0000	1.0000	1.0000	1.0000	1.0000	1.0000	1.0000	1.0000	1.0000	0.0015	0.0303	1.0000	1.0000	1.0000	1.0000	1.0000	<.0001	<.0001	<.0001	<.0001	0.0082	<.0001		
Mn_S	1.0000	1.0000	1.0000	1.0000	1.0000	1.0000	1.0000	1.0000	1.0000	0.0073	0.8427	<.0001	<.0001	1.0000	1.0000	1.0000	<.0001	<.0001	<.0001	<.0001	0.0002	0.0309	<.0001	

Na_L 1.0000 1.0000 1.0000 1.0000 1.0000 1.0000 1.0000 1.0000 0.0348 0.8489 1.0000 1.0000 1.0000 0.0002 <.0001 <.0001 0.0002 0.0006 <.0001
 0.0082 1.0000 0.5673 1.0000 1.0000 <.0001 0.0004
 Na_S 1.0000 1.0000 1.0000 1.0000 1.0000 1.0000 1.0000 1.0000 0.0383 1.0000 1.0000 1.0000 1.0000 0.0611 0.0007 0.0082 0.0309 0.0006 0.1364
 0.2212 1.0000 0.0050 1.0000 0.1027 0.0621 0.0012
 P_L 1.0000 1.0000 1.0000 1.0000 1.0000 1.0000 1.0000 1.0000 0.0018 0.0287 1.0000 1.0000 0.7741 1.0000 <.0001 <.0001 <.0001 <.0001 <.0001 0.1364
 0.0196 0.7252 1.0000 1.0000 1.0000 <.0001 0.0006
 P_S 1.0000 1.0000 1.0000 1.0000 1.0000 1.0000 1.0000 1.0000 0.0332 0.1481 1.0000 1.0000 1.0000 0.0600 <.0001 0.0015 0.0373 0.0082 0.2212 0.0196
 1.0000 1.0000 1.0000 0.0043 <.0001
 Pb_L 1.0000 1.0000 1.0000 1.0000 1.0000 1.0000 1.0000 1.0000 1.0000 1.0000 1.0000 1.0000 1.0000 1.0000 1.0000 1.0000 1.0000 1.0000 0.7252
 1.0000 1.0000 1.0000 0.4739 1.0000
 Pb_S 1.0000 1.0000 1.0000 1.0000 1.0000 1.0000 1.0000 1.0000 1.0000 1.0000 1.0000 1.0000 1.0000 1.0000 1.0000 1.0000 1.0000 0.5673 0.0050 1.0000
 1.0000 1.0000 1.0000 1.0000 1.0000 1.0000
 Se_L 1.0000 1.0000 1.0000 1.0000 1.0000 1.0000 1.0000 1.0000 0.0032 1.0000 1.0000 1.0000 1.0000 1.0000 1.0000 1.0000 1.0000 1.0000 1.0000 1.0000
 1.0000 1.0000 1.0000 1.0000 1.0000 1.0000
 Se_S 1.0000 1.0000 1.0000 1.0000 1.0000 1.0000 1.0000 1.0000 0.3929 1.0000 1.0000 1.0000 0.8427 1.0000 0.1027 1.0000
 1.0000 1.0000 1.0000 1.0000 1.0000 1.0000
 Zn_L 1.0000 0.4735 1.0000 1.0000 1.0000 1.0000 0.9141 <.0001 0.0084 1.0000 1.0000 1.0000 1.0000 <.0001 <.0001 <.0001 <.0001 <.0001 0.0621 <.0001
 0.0043 0.4739 1.0000 1.0000 1.0000 <.0001
 Zn_S 1.0000 1.0000 1.0000 1.0000 1.0000 1.0000 1.0000 <.0001 0.0137 1.0000 1.0000 1.0000 1.0000 <.0001 <.0001 <.0001 <.0001 0.0004 0.0012 0.0006
 <.0001 1.0000 1.0000 1.0000 <.0001

2.3 Maščobne kisline

Spearman correlations:

Number of observations: 15

Adjusted p-values (Holm's method)

Adjusted p-values (Holm-B method)								
	ENMK_L	ENMK_S	NMK_L	NMK_S	omega.3_VNMK_L	omega.3_VNMK_S	omega.6_VNMK_L	omega.6_VNMK_S
ENMK_S		1.0000	0.0003	0.3214	1.0000	1.0000	1.0000	1.0000
ENMK_L	1.0000	1.0000						
ENMK_S		1.0000		1.0000	1.0000	0.0217	1.0000	1.0000
ENMK_L		1.0000	0.3745					0.5490
NMK_L		0.0003	1.0000		0.0570	1.0000	1.0000	0.9892
NMK_S		1.0000	1.0000					1.0000
NMK_L			0.3214	1.0000	0.0570	1.0000	1.0000	0.6097
NMK_S			0.3666	0.1032				0.1162
omega.3_VNMK_L	1.0000	0.0217	1.0000	1.0000		1.0000	0.2720	0.1766
omega.3_VNMK_S		0.1592	0.2488					
omega.3_VNMK_S	1.0000	1.0000	1.0000	1.0000	1.0000	1.0000	1.0000	1.0000
omega.6_VNMK_L	1.0000	1.0000	0.9892	0.6097	0.2720			0.8718
omega.6_VNMK_L		<.0001	0.8750			1.0000		
omega.6_VNMK_S	1.0000	0.5490	1.0000	0.1162	0.1766		0.8718	
omega.6_VNMK_S		0.2962	<.0001					
VNMK_L		1.0000	1.0000	1.0000	0.3666	0.1592	1.0000	<.0001
VNMK_L			0.3818					0.2962
VNMK_S		1.0000	0.3745	1.0000	0.1032	0.2488	1.0000	0.8750
VNMK_S			0.3818					<.0001

Spearman correlations:

	C12.0_L	C12.0_S	C14.0_L	C14.0_S	C16.0_L	C16.0_S	C18.0_L	C18.0_S	C18.2n6c_L	C18.2n6c_S	C18.3n3_L	C18.3n3_S	C23.0_L	C23.0_S
C12.0_L	1.0000	0.5233	0.5714	0.8315	-0.8821	0.7429	-0.8893	0.5464	-0.6929	-0.62				
14	-0.2536	-0.0036	-0.5337	0.0852										
C12.0_S	0.5233	1.0000	0.3943	0.7770	-0.3871	0.6057	-0.5305	0.4373	-0.2903	-0.43				
37	0.2975	0.1254	-0.6572	0.1380										
C14.0_L	0.5714	0.3943	1.0000	0.4086	-0.5179	0.6857	-0.2964	-0.1393	-0.1429	0.07				
86	-0.4179	0.3929	-0.1084	0.0949										
C14.0_S	0.8315	0.7770	0.4086	1.0000	-0.7025	0.7169	-0.8746	0.6953	-0.7276	-0.75				
99	-0.1649	0.1362	-0.8173	0.2274										
C16.0_L	-0.8821	-0.3871	-0.5179	-0.7025	1.0000	-0.4464	0.8000	-0.4500	0.6536	0.58				
21	0.3214	0.0214	0.4019	-0.0349										
C16.0_S	0.7429	0.6057	0.6857	0.7169	-0.4464	1.0000	-0.5750	0.2250	-0.4214	-0.24				
29	0.2607	0.2000	-0.4401	0.0910										
C18.0_L	-0.8893	-0.5305	-0.2964	-0.8746	0.8000	-0.5750	1.0000	-0.8000	0.7107	0.86				
79	0.4571	0.0393	0.7718	-0.3157										
C18.0_S	0.5464	0.4373	-0.1393	0.6953	-0.4500	0.2250	-0.8000	1.0000	-0.4786	-0.97				
50	-0.5857	-0.1393	-0.8186	0.4474										
C18.2n6c_L	-0.6929	-0.2903	-0.1429	-0.7276	0.6536	-0.4214	0.7107	-0.4786	1.0000	0.60				
36	0.5679	0.2286	0.4550	0.1666										
C18.2n6c_S	-0.6214	-0.4337	0.0786	-0.7599	0.5821	-0.2429	0.8679	-0.9750	0.6036	1.00				
00	0.6250	0.1071	0.8228	-0.4203										
C18.3n3_L	-0.2536	0.2975	0.4179	-0.1649	0.3214	0.2607	0.4571	-0.5857	0.5679	0.62				
50	1.0000	0.5107	0.2020	-0.0368										
C18.3n3_S	-0.0036	0.1254	0.3929	0.1362	0.0214	0.2000	0.0393	-0.1393	0.2286	0.10				
71	0.5107	1.0000	-0.2551	0.5307										
C23.0_L	-0.5337	-0.6572	-0.1084	-0.8173	0.4019	-0.4401	0.7718	-0.8186	0.4550	0.82				
28	0.2020	-0.2551	1.0000	-0.6054										
C23.0_S	0.0852	0.1380	0.0949	0.2274	-0.0349	0.0910	-0.3157	0.4474	0.1666	-0.42				
03	-0.0368	0.5307	-0.6054	1.0000										

Number of observations: 15

Adjusted p-values (Holm's method)

	C12.0_L	C12.0_S	C14.0_L	C14.0_S	C16.0_L	C16.0_S	C18.0_L	C18.0_S	C18.2n6c_L	C18.2n6c_S	C18.3n3_L	C18.3n3_S	C23.0_L	C23.0_S
C12.0_L	1.0000	1.0000	1.0000	0.0105	0.0012	0.1162	0.0008	1.0000	0.2975	0.8845				
1	0.0000	1.0000	1.0000	1.0000										
C12.0_S	1.0000	1.0000	1.0000	0.0524	1.0000	1.0000	1.0000	1.0000	1.0000	1.0000				
1	0.0000	1.0000	0.5354	1.0000										
C14.0_L	1.0000	1.0000	1.0000	1.0000	1.0000	0.3341	1.0000	1.0000	1.0000	1.0000				
1	0.0000	1.0000	1.0000	1.0000										
C14.0_S	0.0105	0.0524	1.0000		0.2551	0.1976	0.0018	0.2881	0.1602	0.0789				
1	0.0000	1.0000	0.0165	1.0000										
C16.0_L	0.0012	1.0000	1.0000	0.2551		1.0000	0.0281	1.0000	0.5597	1.0000				
1	0.0000	1.0000	1.0000	1.0000										
C16.0_S	0.1162	1.0000	0.3341	0.1976	1.0000		1.0000	1.0000	1.0000	1.0000				
1	0.0000	1.0000	1.0000	1.0000										
C18.0_L	0.0008	1.0000	1.0000	0.0018	0.0281	1.0000		0.0281	0.2204	0.0024				
1	0.0000	1.0000	0.0592	1.0000										
C18.0_S	1.0000	1.0000	1.0000	0.2881	1.0000	1.0000	0.0281		1.0000	<.0001				
1	0.0000	1.0000	0.0160	1.0000										
C18.2n6c_L	0.2975	1.0000	1.0000	0.1602	0.5597	1.0000	0.2204	1.0000		1.0000				
1	0.0000	1.0000	1.0000	1.0000										
C18.2n6c_S	0.8845	1.0000	1.0000	0.0789	1.0000	1.0000	0.0024	<.0001	1.0000					
0	0.8527	1.0000	0.0140	1.0000										
C18.3n3_L	1.0000	1.0000	1.0000	1.0000	1.0000	1.0000	1.0000	1.0000	1.0000	0.8527				
1	0.0000	1.0000	1.0000	1.0000										
C18.3n3_S	1.0000	1.0000	1.0000	1.0000	1.0000	1.0000	1.0000	1.0000	1.0000	1.0000				
1	0.0000	1.0000	1.0000	1.0000										
C23.0_L	1.0000	0.5354	1.0000	0.0165	1.0000	1.0000	0.0592	0.0160	1.0000	0.0140				
1	0.0000	1.0000	1.0000	1.0000										
C23.0_S	1.0000	1.0000	1.0000	1.0000	1.0000	1.0000	1.0000	1.0000	1.0000	1.0000				
1	0.0000	1.0000	1.0000	1.0000										

>

PRILOGA 3: MIKROBIOLOŠKE PREISKAVE

11.1 Rezultati mikrobioloških preiskav substrata: pšenični otrobi

ŠT. VZORCA	IZVOR VZORCA	DATUM ODVZEMA	ENTEROBakterije (v 1g)	SALMONELE (v 25g)	E. COLI (cfu/g)
08/03/4008	ORIG. EMB.	26/ 7/ 20	najdeno	ni najdeno	/
PN 10	POSODA 11	9/ 8/ 20	najdeno	ni najdeno	/
			* <i>Klebsiella pneumoniae</i>		
			* <i>Cronobacter sp.</i>		
			* <i>Acinetobacter baumannii</i>		
PN 11	POSODA 17	9/ 8/ 20	najdeno		/
			* <i>Klebsiella pneumoniae</i>		
			* <i>Cronobacter sp.</i>		
			* <i>Klebsiella variicola</i>		
PN 67	POSODA 11 A	23/ 8/ 20	/	ni najdeno	1100000
PN 69	POSODA 11 B	23/ 8/ 20	/	ni najdeno	790000
PN 68	POSODA 17 A	23/ 8/ 20	/	ni najdeno	860000
PN 70	POSODA 17 B	23/ 8/ 20	/	ni najdeno	770000

Legenda: ORIG. EMB. = originalna embalaža; / = analize nismo izvajali; * = determinirano z MALDI-TOF; A = brez dodanega Ca; B = dodan Ca.

11.2 Rezultati mikrobioloških preiskav ličink, gojenih na pšeničnih otrobih

ŠT. VZORCA	IZVOR VZORCA	DATUM ODVZEMA	ENTEROBakterije (v 1g)	SALMONELE (v 25g)	E. COLI (cfu/g)
PN 4	POSODA 11	5/ 8/ 20	najdeno	ni najdeno	/
PN 5	POSODA 17	5/ 8/ 20	najdeno	ni najdeno	/
PN 16	POSODA 11	9/ 8/ 20	najdeno	ni najdeno	/
			* <i>Serratia marcescens</i>		
			* <i>Enetrobacter xiangfangensis</i>		
			* <i>Klebsiella aerogenes</i>		
			* <i>Klebsiella pneumoniae</i>		
			* <i>Klebsiella variicola</i>		
PN 17	POSODA 17	9/ 8/ 20	najdeno	ni najdeno	/
			* <i>Klebsiella pneumoniae</i>		
			* <i>Klebsiella pneumoniae</i>		
			* <i>Klebsiella pneumoniae</i>		
			* <i>Klebsiella variicola</i>		
			* <i>Klebsiella pneumoniae</i>		
PN 22	POSODA 11 A	13/ 8/ 20	-	-	/
PN 28	POSODA 11 B	13/ 8/ 20	-	-	/
PN 23	POSODA 17 A	13/ 8/ 20	-	-	/
PN 29	POSODA 17 B	13/ 8/ 20	-	-	/
PN 39	POSODA 11 A	17/ 8/ 20	-	-	/
PN 45	POSODA 11 B	17/ 8/ 20	-	-	/

PN 40	POSODA 17 A	17/ 8/ 20	-	-	/
PN 46	POSODA 17 B	17/ 8/ 20	-	-	/
PN 51	POSODA 11 A	23/ 8/ 20	-	-	/
PN 59	POSODA 11 B	23/ 8/ 20	-	-	/
PN 52	POSODA 17 A	23/ 8/ 20	-	-	/
PN 60	POSODA 17 B	23/ 8/ 20	-	-	/

Legenda: / = analize nismo izvajali; - = ni bilo dovolj vzorca za analizo; * = determinirano z MALDI-TOF; A = brez dodanega Ca; B = dodan Ca.

11.3 Rezultati mikrobioloških preiskav substrata: gospodinjski odpadki

ŠT. VZORCA	IZVOR VZORCA	DATUM ODVZEMA	ENTEROBAKTERIJE (v 10g)	SALMONELE (v 25g)	E. COLI (cfu/g)
PN 2	ORIG. EMB.	26/ 7/ 20	najdeno	ni najdeno	/
PN 12	POSODA 6	9/ 8/ 20	najdeno		/
			* <i>Proteus mirabilis</i>		
PN 13	POSODA 10	9/ 8/ 20	najdeno	ni najdeno	/
			* <i>Proteus mirabilis</i>		
			* <i>Proteus mirabilis</i>		
			* <i>Citrobacter amalonaticus</i>		
			* <i>Proteus mirabilis</i>		
			* <i>Proteus mirabilis</i>		
PN 71	POSODA 6 A	23/ 8/ 20	/	ni najdeno	< 100
PN 73	POSODA 6 B	23/ 8/ 20	/	ni najdeno	< 100
PN 72	POSODA 10 A	23/ 8/ 20	/	ni najdeno	< 100
PN 74	POSODA 10 B	23/ 8/ 20	/	ni najdeno	< 100

Legenda: ORIG. EMB. = originalna embalaža; / = analize nismo izvajali; * = determinirano z MALDI-TOF; A = brez dodanega Ca; B = dodan Ca.

11.4 Rezultati mikrobioloških preiskav ličink, gojenih na gospodinjskih odpadkih

ŠT. VZORCA	IZVOR VZORCA	DATUM ODVZEMA	ENTEROBAKTERIJE (v 10g)	SALMONELE (v 25g)	E. COLI (cfu/g)
PN 6	POSODA 6	5/ 8/ 20	najdeno	ni najdeno	/
PN 7	POSODA 10	5/ 8/ 20	* <i>Providencia rettgeri</i>	ni najdeno	/
			* <i>Proteus mirabilis</i>		
			* <i>Providencia rettgeri</i>		
			* <i>Providencia rettgeri</i>		
PN 18	POSODA 6	9/ 8/ 20	najdeno	ni najdeno	/
			* <i>Proteus mirabilis</i>		
PN 19	POSODA 10	9/ 8/ 20	najdeno	ni najdeno	/
			* <i>Proteus mirabilis</i>		
PN 24	POSODA 6 A	13/ 8/ 20	najdeno	ni najdeno	/
PN 30	POSODA 6 B	13/ 8/ 20	najdeno	ni najdeno	/

PN 25	POSODA 10 A	13/ 8/ 20	najdeno	ni najdeno	/
PN 31	POSODA 10 B	13/ 8/ 20	najdeno	ni najdeno	/
PN 41	POSODA 6 A	17/ 8/ 20	najdeno	ni najdeno	/
PN 47	POSODA 6 B	17/ 8/ 20	najdeno	ni najdeno	/
PN 42	POSODA 10 A	17/ 8/ 20	najdeno	ni najdeno	/
PN 48	POSODA 10 B	17/ 8/ 20	najdeno	ni najdeno	/
PN 53	POSODA 6 A	23/ 8/ 20	najdeno	ni najdeno	/
PN 61	POSODA 6 B	23/ 8/ 20	najdeno	ni najdeno	/
PN 54	POSODA 10 A	23/ 8/ 20	najdeno	ni najdeno	/
PN 62	POSODA 10 B	23/ 8/ 20	najdeno	ni najdeno	/

Legenda: / = analize nismo izvajali; * = determinirano z MALDI-TOF; A = brez dodanega Ca; B = dodan Ca.

11.5 Rezultati mikrobioloških preiskav substrata: pivske tropine

ŠT: VZORCA	IZVOR VZORCA	DATUM ODVZEMA	ENTEROBAKTERIJE (v 10g)	SALMONELE (v 25g)	E. COLI (cfu/g)
PN 3	ORIG. EMB.	26/ 7/ 20	najdeno	ni najdeno	/
PN 14	POSODA 9	9/ 8/ 20	najdeno	ni najdeno	/
			* <i>Klebsiella pneumoniae</i>		
			* <i>Enetrobacter cloacae</i>		
			* <i>Klebsiella pneumoniae</i>		
			* <i>Cronobacter sp.</i>		
			* <i>Klebsiella variicola</i>		
PN 15	POSODA 13	9/ 8/ 20	najdeno	ni najdeno	/
			* <i>Enetrobacter bugandensis</i>		
			* <i>Enetrobacter asburiae</i>		
			* <i>Enetrobacter asburiae</i>		
			* <i>Enetrobacter asburiae</i>		
			* <i>Enetrobacter asburiae</i>		
PN 75	POSODA 9 A	23/ 8/ 20	/	ni najdeno	> 1500000
PN 77	POSODA 9 B	23/ 8/ 20	/	ni najdeno	800000
PN 76	POSODA 13 A	23/ 8/ 20	/	ni najdeno	770000
PN 78	POSODA 13 B	23/ 8/ 20	/	ni najdeno	190000

Legenda: ORIG. EMB. = originalna embalaža; / = analize nismo izvajali; * = determinirano z MALDI-TOF; A = brez dodanega Ca; B = dodan Ca.

11.6 Rezultati mikrobioloških preiskav ličink, gojenih na pivskih tropinah

ŠT: VZORCA	IZVOR VZORCA	DATUM ODVZEMA	ENTEROBAKTERIJE (v 10g)	SALMONELE (v 25g)	E. COLI (cfu/g)
PN 8	POSODA 9	5/ 8/ 20	najdeno	ni najdeno	/
			* <i>Citrobacter amalonaticus</i>		
			* <i>Klebsiella pneumoniae</i>		
			* <i>Citrobacter amalonaticus</i>		

			<i>*Citrobacter amalonaticus</i>		
PN 9	POSODA 13	5/ 8/ 20	najdeno	ni najdeno	/
			<i>*Klebsiella pneumoniae</i>		
			<i>*Klebsiella pneumoniae</i>		
			<i>*Klebsiella pneumoniae</i>		
			<i>*Klebsiella pneumoniae</i>		
PN 20	POSODA 9	9/ 8/ 20	najdeno	ni najdeno	/
			<i>*Klebsiella pneumoniae</i>		
			<i>*Klebsiella oxytoca</i>		
			<i>*Morganella manganii</i>		
			<i>*Providencia stuartii</i>		
			<i>*Morganella manganii</i>		
PN 21	POSODA 13	9/ 8/ 20	najdeno	ni najdeno	/
			<i>*Citrobacter amalonaticus</i>		
			<i>*Alcaligenes faecalis</i>		
			<i>*Morganella manganii</i>		
			<i>*Providencia rettgeri</i>		
			<i>*Morganella manganii</i>		
PN 26	POSODA 9 A	13/ 8/ 20	najdeno	ni najdeno	/
PN 32	POSODA 9 B	13/ 8/ 20	najdeno	ni najdeno	/
PN 27	POSODA 13 A	13/ 8/ 20	najdeno	ni najdeno	/
PN 33	POSODA 13 B	13/ 8/ 20	najdeno	ni najdeno	/
PN 43	POSODA 9 A	17/ 8/ 20	najdeno	ni najdeno	/
PN 49	POSODA 9 B	17/ 8/ 20	najdeno	ni najdeno	/
PN 44	POSODA 13 A	17/ 8/ 20	najdeno	ni najdeno	/
PN 50	POSODA 13 B	17/ 8/ 20	najdeno	ni najdeno	/
PN 56	POSODA 9 A	23/ 8/ 20	najdeno	ni najdeno	/
PN 64	POSODA 9 B	23/ 8/ 20	najdeno	ni najdeno	/
PN 57	POSODA 13 A	23/ 8/ 20	najdeno	ni najdeno	/
PN 65	POSODA 13 B	23/ 8/ 20	najdeno	ni najdeno	/

Legenda: / = analize nismo izvajali; * = determinirano z MALDI-TOF; A = brez dodanega Ca; B = dodan Ca.